

МИНИСТЕРСТВО ГЕОЛОГИИ СССР
ОБЪЕДИНЕНИЕ «АЭРОГЕОЛОГИЯ»

Уч. № 062

127
Экз. №

ГОСУДАРСТВЕННАЯ ГЕОЛОГИЧЕСКАЯ КАРТА СССР

МАСШТАБА 1:200 000

СЕРИЯ ПРИОХОТСКАЯ

Лист О-54-XV, XVI, XXI
(р. Уerekан, устье рек Гыры, Энкан)

Объяснительная записка

Составители: А.А. Рузевер, И.Ф. Ухина, М.А. Шлосберг

Редактор А.И. Красный

Утверждено Научно-редакционным советом Мингео СССР при ВСЕГЕИ
7 декабря 1979 г., протокол № 33

МОСКВА 1986

О Г Л А В Л Е Н И Е

	Стр.
Введение	5
Геологическая изученность	7
Стратиграфия	10
Инtrузивные образования	37
Тектоника	60
Геоморфология	70
Полезные ископаемые	78
Подземные воды	86
Оценка перспектив района	89
Литература	92
Приложения	95

ВВЕДЕНИЕ

Площадь листа 0-54-ХУ,ХVI,XXI расположена на побережье Охотского моря и относится к Аяно-Майскому и Охотскому районам Хабаровского края. Она представляет собой обширное таежное нагорье, расчлененное реками Улья, Унчэ, Кекра, Гырбы, Мана и др. (бассейн Охотского моря). Водоразделом рек Улья и Унчэ служит хребет Ульинский, вытянутый в северо-восточном направлении. Абсолютные высоты водоразделов обычно 700-1000 м, с отдельными вершинами до 1181-1435 м; превышения составляют 600-1000 м. Крупные реки обладают широкими - от 1 до 3 км - плоскими днищами с меандрирующими и дробящимися на рукава руслами шириной 30-50 м. По берегам развиты широкие галечниковые косы, которые в малую воду пригодны для посадки вертолета. Глубина на плесах достигает 2-3 м, на перекатах - 0,5-1 м. Скорость течения на перекатах в межень равна 2,1 м/с. Глубина более мелких рек района колеблется от 0,3 до 1 м, форма долин обычно V-образная. В верховьях ручьи имеют каньонообразные долины, часто с водопадами. Скорость течения мелких водотоков достигает 4 м/с. Абсолютные отметки днищ от 0 до 277 м. Температура воды - +4...+8°C. Во время весенних паводков, а также в периоды затяжных летних дождей вода в основных реках района поднимается на 1-3 м, редко - до 5 м. Спад воды до меженного уровня происходит в течение 3-10 суток. Реки замерзают в начале - середине ноября, освобождаются от льда в мае. По рекам Улья и Унчэ, несмотря на перекаты, возможен сплав на резиновой надувной лодке. Остальные реки района для сплава непригодны.

Побережье Охотского моря представляет собой узкую прерывистую полосу галечного пляжа шириной до 50-200 м. Вдоль всего побережья тянется скальный хребет, высота которого колеблется от 200 до 1000 м. Крутymi склонами хребет обрывается к морскому пляжу, а местами - прямо к морю (мысы Низкий, Плюсский, Ханягда, Энкан). Море в прибрежной полосе имеет пологое дно с глубинами

до 125 м. Средняя высота прилива около 3 м. Температура воды в зимние месяцы около 4°C, в летние месяцы поднимается до 12-13°C.

Климат района умеренно континентальный. Среднегодовое количество осадков колеблется в пределах 800-1000 мм в год. Летние месяцы июнь - август. Среднемесячная летняя температура около +22°C, максимальная температура +35°C. Летом выпадает 80% всех осадков. Самые дождливые месяцы - июль, август. Из-за годовых осадков. Самые дождливые месяцы - июль, август. Из-за близости моря для летнего и осенне-зимнего периода характерны туманы - около 30 дней за лето. Зимние месяцы - ноябрь - апрель. Среднемесячная зимняя температура -20°C. Самый холодный месяц - январь, со средней температурой -27...-30°C. С ноября по март господствуют устойчивые северо-западные ветры, достигающие скорости 40 м/с. Снегопады, метели - 40-50 дней в году - вызваны проходящими циклонами тихоокеанского фронта. Весна сухая, прохладная с заморозками. Осень (сентябрь - октябрь) дождливая и холодная. На глубине от 0,4 до 2,5 м развита многолетняя мерзлота. Глубина оттаивания зависит от экспозиции склона и меняется от 0,2 до 2 м.

Растительность бедная. Относительно крупный лес, пригодный для строительства (толщина деревьев 0,2-0,3 м, высота до 10-12 м), есть только на отдельных участках в долинах крупных рек. Кроме лиственницы здесь растет тополь, ива, осина, береза. На остальной части территории до высоты 500-600 м растут редкие тонкостенные (0,1-0,15 м) лиственницы высотой 5-10 м в окружении гусевильных (0,1-0,15 м) кустарников из карликовой бересклети, шиловника, кустарникового подлеска из карликовой бересклети, шиловника, смородины, жимолости и рододендрона. На уровне 500-800 м склоны покрыты труднопроходимыми зарослями кедрового стланника, выше 900 м наблюдаются редкие стелющиеся кустарники стланника и лишайники. Животный мир обычный для северо-востока - медведи, лоси, олени, снежные бараны, реже - волк, лиса, горностай, соболь, заяц. Реки обильны морской рыбой: мальма, горбуша, кумжа, кета, кижуч, нерка, из пресноводных - хариус.

Обнаженность района удовлетворительная. В подавляющем большинстве обнажения представляют собой элювиально-делювиальные развалы. Коренные скальные выходы отмечаются на водоразделах и подножьях склонов, реже - на крутых склонах.

Дешифрируемость аэрофотоматериалов удовлетворительная. Дешифруются главным образом разрывная тектоника, границы четвертичных отложений, участками залегание слоистых толщ. По разному фототону отчленяются поля интрузивных (иногда субвулканических) и собственно эфузивных образований. Дешифрирование космических снимков "ЕРТЦ" масштаба 1:1 000 000 с увеличением их до масштаба 1:100 000 позволило уточнить внутреннюю структуру вулканов.

ческого поля выявить региональныемагмаконтролирующие зоны и ряд кольцевых структур.

В экономическом отношении район не освоен. Пути сообщения, кроме временных троп, отсутствуют. В единственном поселке Кекра (ранее пос.Энкэн), расположенному в устье р.Кекра, проживает около 30 человек, обслуживающих телефонную линию, проходящую вдоль побережья, соединяющую Чумикан - Аян - Охотск - Магадан. В поселке есть метеостанция, почта и посадочная площадка для вертолета. Ближайший крупный населенный пункт - г.Охотск, расположен в 250 км к северо-востоку от северной границы района.

ГЕОЛОГИЧЕСКАЯ ИЗУЧЕННОСТЬ

Первые сведения по геологическому строению района относятся к 1944-1945 гг. В указанные годы на рассматриваемой площади геологическими партиями Охотского РайГРУ, работавшими под руководством К.Т.Злобина, В.А.Куцаенко и Т.П.Вронко были проведены геолого-рекогносцировочные работы масштаба 1:500 000 на глазомерной топооснове.

К.Т.Злобин /15/ проводил работы на территории, ограниченной с северо-запада р.Улья, с юго-запада - р.Унчэ, с северо-востока водоразделом рек Гыры и Улья и юго-востока - побережьем моря. На незначительной по площади (20 км²) территории (в бассейне рек Гыры и Кулюкли) К.Т.Злобиным выделены песчано-глинистые сланцы верхнего триаса (флористически не охарактеризованы), а на остальной территории нерасчлененные эфузивы нижнего мела, верхнего мела и палеогена. Интрузивные породы, представленные кварцевыми диоритами и диоритами, он относит к проявлениям альпийской складчатости. Перспективы на полезные ископаемые даны отрицательные.

На южной части территории (южнее р.Унчэ) в 1945 г. проводились работы под руководством В.А.Куцаенко /18/. Здесь им выделяется аналогичный комплекс пород плюс гранитоидные интрузии вдоль побережья. Району дается положительная оценка на поиски золота в связи с кварц-сульфидными жилами.

Т.П.Вронко /9/ проводил геологические исследования к северу от р.Улья и далее за пределами северной границы района работ. На указанной территории выделяется тот же комплекс эфузивных и интрузивных пород в аналогичной интерпретации. Исключение составляет более широкое по площади поле развития покровов третичных вулканитов, представленных в основном кислыми породами и приуроченных к наиболее крупным положительным формам рельефа.

Из полезных ископаемых отмечается знаковое содержание золота в аллювии и протолочках пиритизированных пород. Общая оценка района на золото - отрицательная.

В 1958 г. под руководством Е.Г.Херувимовой /24/ территория была покрыта аэромагнитной съемкой масштаба 1:200 000. Качественная интерпретация магнитного поля Δ Та показывает, что отрицательным значениям магнитного поля интенсивностью 750 гамм соответствуют поля развития вулканогенно-осадочных пород и области интенсивных гидротермальных изменений. Положительные значения магнитного поля интенсивностью до 2000 гамм наблюдаются обычно в области развития вулканических образований субвулканической и жерловой фации.

В 1973-1976 гг. на площади трапеций 0-54, Р-54 была проведена гравиметрическая съемка масштаба 1:1 000 000 /25/, по данному которой изученная территория пересекается двумя зонами региональных разломов, имеющих северо-восточное и северо-западное направления.

В 1957 г. Г.Н.Чертовских и В.Т.Шейкашова при проведении тематических исследований, связанных с подготовкой к изданию геологической карты масштаба 1:1 000 000 листа 0-54, разработали схему стратиграфии вулканогенных образований Ульинского прогиба, опубликованную в 1962 г. /7/. По этой схеме в основании вулканогенных образований прогиба залегает толща палеотипных вулканитов преимущественно среднего состава позднеюрского-раннемелового возраста. Выше были выделены образования позднего мела и палеогена. К ним относились (снизу вверх): дальнинская свита кварц-полевошпатовых песчаников с пачками алевролитов; учуликанская свита андезитов, андезито-базальтов, их туфов и вулканических брекчий и базальных конгломератов; амкинская свита, представленная липаритами, дацитами, их туфами, туфоловавами, туфогенными песчаниками и алевролитами; хетанинская свита - андезиты, андезито-базальты, изредка их туфы, в верхах дациты. Палеогено-андезито-базальты, изредка их туфы, в верхах дациты. Палеогено-андезито-базальты были подразделены на уракскую свиту (стекловатые вулканиты) и хакаринскую свиту (балилариты, трахиты, их туфы и туфоловавы) и хакаринскую свиту (базальты и андезито-базальты).

С 1962 г. на территории листа 0-54 начинаются планомерные геологосъемочные работы масштаба 1:200 000, проводимые СВГУ^х/ и объединением "Аэрогеология". По сопредельной территории издаются государственные геологические карты листов 0-54-X (В.Ф.Кар-

пичев /17/, 0-54-IX (Р.Б.Умитбаев /21/), 0-54-XX (И.Н.Егоров /14/), 0-54-XIV (Н.С.Шпак /26/). Вулканогенные образования на этих листах расчленены на нижне- и верхнемеловые и палеогеновые с отнесением их к учуликанской, магейской, амкинской, хетанин-ской, уракской и хакаринской свитам. Установлена перспективность этих площадей на золото.

В 1972-1977 гг. проводится геологическая съемка и издаются геологические карты листов 0-54-III (В.В.Громов /11/) и 0-54-УШ (А.Н.Ивлев /16/). В результате этих работ и тематических палеоботанических исследований Е.Л.Лебедева (ГИН АН СССР) /19/ была уточнена стратиграфическая схема района, в частности установлены стратотипы еманринской (нижнемеловой) и амкинской (нижне-верхнемеловой) свит и возраст хакаринской (верхнемеловой-нижнепалеогеновой) свиты. В состав амкинской свиты вошли отложения, ранее отнесенные к хетанинской и уракской свитам.

В 1974-1978 гг. А.А.Раузером /20/ проводится геологическая съемка масштаба 1:200 000 на территории листов 0-54-XV, XVI, XXI. Произведена дальнейшая детализация стратиграфической схемы: меловые вулканиты расчленены на еманринскую (нижний мел), амкинскую (нижний - верхний мел) и хакаринскую (верхний мел - нижний палеоген) свиты, с подразделением амкинской свиты на три толщи. Авторами были положительно оценены перспективы территории на коренное и россыпное золото, полиметаллы и выявлен ряд рудопроявлений золота, в частности рудопроявление Турка, Кекра и Гыры /20/. Последнее оценено как перспективное В.Н.Фроловым после детальных работ на участке /23/. В 1975 г. вдоль побережья Охотского моря начинает поисково-ревизионные работы Хабаровское геологическое управление. Цель работ - изучение прибрежно-морских россыпей и выявление коренных источников золота /10, 13/. На исследованной территории ими было обследовано известное /13/ рудопроявление Кекра и даны рекомендации по поискам прибрежно-морских россыпей.

Государственная геологическая карта листа 0-54-XV, XVI, XXI масштаба 1:200 000 и объяснительная записка к ним подготовлены А.А.Раузером, И.Ф.Ухиной, М.А.Шлосбергом и составлены по материалам геологической съемки /20/ с использованием результатов тематических /19/ и поисковых /23/ работ. Сведения по полезным ископаемым даны по состоянию на 1 мая 1979 г. Геологическая карта связана с соседними с запада и севера изданными листами. Несоответствия в индексации отложений объясняются изменениями в сводной легенде серии и детализацией стратифицируемых отложений амкинской свиты.

х/ с 1980 г. - СВГПО.

Аналитические исследования (минералогический, золотометрический, палинологический, гидрохимический анализ) проведены в лабораториях экспедиции. Спектральный, частично золотометрический, пробирный и силикатный анализы выполнялись в лаборатории ДВГУ в Хабаровске, исследования стройматериалов - опытным заводом РОСНИИМС. Абсолютный возраст пород определялся в лаборатории объединения "Аэрогеология" В.М.Комаровой. Флора из меловых отложений определена Е.Л.Лебедевым (ГИН АН СССР).

СТРАТИГРАФИЯ

Стратифицированные толщи в районе представлены вулканогенными образованиями мелового и позднемелового - палеогенового возраста, а также рыхлыми аллювиальными, морскими и ледниково-возрастными четвертичными отложениями.

МЕЛОВАЯ СИСТЕМА

Образования мелового возраста подразделяются на две свиты: еманринскую, имеющую раннемеловой возраст (альбский) и амкинскую свиту ранне-позднемелового возраста (альбский-сеноманский).

Нижний отдел

Альбский ярус

Еманринская свита (K_1^{em}). Отложения свиты представлены континентальными вулканогенными и осадочно-вулканогенными породами среднего и основного состава: андезито-базальтами, андезитами, их туфами и лавобрекчиями, туффитами и туфоалевролитами. Они занимают около 10% территории и развиты преимущественно в центральной, восточной и юго-восточной частях района. Залегают они в основании разреза меловых отложений и вскрываются по долинам крупных водотоков (реки Унчэ, Итыма, Солону, Кулукли) и в нижнем течении их притоков. Нижняя граница свиты в районе нигде не вскрыта эрозией, верхняя - проводится в основании согласно налегающей толщи конгломератов и туффитов амкинской свиты.

В центральной и восточной частях территории в составе отложений свиты преобладают эфузивные и эфузивно-пирокластические образования собственно эфузивной фации: лавы среднего, реже основного состава, их туфы, переслаивающиеся с маломощными горизонтами туффитов; на юго-востоке преимущественно развиты туфо-

генно-осадочные породы. В среднем течении р.Унчэ в обнажении от уреза воды наблюдаются (снизу вверх):

I. Крупнообломочные туфы андезитов с отдельными вулканическими бомбами и лапиллями того же состава	
темно-серые	8 м
2. Лавобрекции андезитов вишнево-серого цвета	2 "
3. Андезиты темно-серые, афировые	4 "
4. Туфы среднеобломочные зеленовато-серые	2 "
5. Туффиты среднеобломочные серые грубополосчатые	2 "
6. Андезиты серые, афировые и мелкопорфировые	6 "
7. Туфы андезитов среднеобломочные зеленовато-серые	2 "
8. Туфы средне-крупнообломочные темно-серые	20 "
9. Андезиты зеленовато-серые порфировые	10-15"
10. Туффиты тонкослоистые мелкообломочные	25-30"
11. Туфы андезитов мелкообломочные зеленовато-серые	30-40"
12. Андезиты темно-серые афировые	5-10"

Общая мощность 141 м.

В нижнем течении р.Унчэ разрез этих отложений несколько меняется: здесь вскрыта грубослоистая толща среднеобломочных туфов андезитов серо-зеленого цвета общей мощностью около 200 м, на которой залегает покров лав и лавобрекций андезитов темно-серого и фиолетово-серого цвета мощностью до 50 м. На размытой поверхности андезитов залегают тонкослоистые туффиты нижней толщи амкинской свиты. Общая мощность вскрытых эрозией отложений еманринской свиты 250 м. На северо-востоке района, близ побережья Охотского моря, севернее р.Урекан, разрез отложений свиты следующий (снизу вверх):

I. Туфы андезитов темно-серые крупнообломочные с бомбами (слегка окатанными), лапиллями андезито-базальтов и андезитов	4 м
2. Андезито-базальты вишнево-серые афировые	3 "
3. Туфы андезитов среднеобломочные зеленовато-серые	5 "
4. Туффиты мелкообломочные темно-серые тонкослоистые	0,5"
5. Лавобрекции андезитов с зоной окисленных пористых шлаковидных пород вишнево-красного цвета в кровле пласта	6 "

6. Толща туфов андезитов мелко-среднеобломочных с маломощными прослойками туффитов мелкообломочных	110-120м
7. Туффиты среднего состава серые, зеленовато-серые с прослойками туфов	70 "
8. Андезиты зеленовато-серые и темно-серые, почти черные афировые и порфировые	30-40 "
9. Туфы андезитов мелко-среднеобломочные зелено-серые, темно-серые	60-70 "
Общая мощность	320,5 м.

На юго-востоке района (среднее течение р.Солону) в составе отложений еманринской свиты явно преобладают туфогенно-осадочные породы. Они представлены 420-метровой пачкой тонкослоистых туффитов зеленовато-серого цвета мелко-среднеобломочной, реже крупнообломочной структуры, с редкими маломощными прослойками туфов андезитов серого цвета и темно-зеленых, почти черных туфааргиллитов. Мощность прослоев меняется от 0,1 до 20-50 см. Представление о характере переслаивающихся пород дает фрагмент разреза, состоятельный по скальным обнажениям в средней части склона (снизу вверх):

1. Туффиты среднеобломочные зеленовато-серые	0,3м
2. Туффиты мелкообломочные серые	0,05"
3. Туффиты среднеобломочные зеленовато-серые	0,4"
4. Туфаалевролиты темно-серые	0,04"
5. Туффиты мелкообломочные фиолетово-серые гематитизированные	0,2"
6. Туффиты среднеобломочные серые	0,35"
7. Туфы андезитов мелкообломочные серые	0,5"
8. Туффиты мелкообломочные зеленовато-серые	0,3"

Анализ разрезов позволяет в общих чертах установить палеогеографические особенности вулканизма и характер осадконакоплений в это время. В центральной и восточной частях района в разрезах присутствуют бомбовые туфы, лавы и туфоловы андезитов и андезито-базальтов, что свидетельствует о близости центра извержений. Южнее и восточнее преимущественно развиты туфы среднего состава, которые к югу (р.Солону) сменяются тонкослоистыми туффитами, вероятно, озерного типа. Растительные остатки в этих отложениях чрезвычайно редки и очень плохой сохранности.

Максимальная видимая мощность отложений еманринской свиты 420 м.

Андезиты массивные порфировые, реже афировые. Количество вкрапленников не превышает 40%, в среднем составляя 20-25%, размером 2,5-3 мм. Представлены они плагиоклазом

(An₄₀₋₅₀ - 70-90%), моноклинным пироксеном (до 10%) и обыкновенной роговой обманкой (до 20%). Основная масса имеет пилотакситовую, интерсертальную структуру и отличается большой степенью вторичных изменений типа хлоритизации, эпидотизации, серicitизации и карбонатизации. Андезито-базальты отличаются более основным составом плагиоклаза во вкрапленниках - An₅₀₋₆₀ и присутствием ромбического пироксена - 10-15%. Пироксены, ромбический и моноклинный, характеризуются бледной, почти бесцветной окраской и слабым плеохроизмом. Они обычно интенсивно замещены эпидот-хлоритовым агрегатом, реже - вторичной роговой обманкой актинолит-тремолитового ряда. Туфы андезито-базальтов, часто темно-серые и андезито-базальтов, весьма разнообразны по размерности обломков. В составе обломков, которые составляют до 90% породы, преобладает основной плагиоклаз, реже пироксен и роговая обманка, обломки пород представлены андезитами и андезито-базальтами, тождественными породам лавовых покровов. Цементируются они мелкообломочной массой, замещаемой гидрослюдисто-карбонатным или эпидот-хлоритовым агрегатом, часто с большой примесью рудных минералов (гематит, магнетит). В отличие от туфов, в даубах и ях обломочный материал сцементирован лавой андезитового состава. Туффиты серо-зеленого, серого, табачно-зеленого и вишневого цвета отличаются от туфов тонкослоистой, реже грубослоистой текстурой и большим количеством цементрующего материала - до 40-60% породы. В составе обломков, помимо перечисленных выше пород, встречаются единичные обломки гранитов и гранит-порфиров. Цементирующая масса криптокристаллическая, хлорит-серicitовая и эпидот-карбонат-хлоритовая. Цемент базального и регенерационного типа. Туфаалевролиты имеют грубослоистую (до массивной) текстуру, размер обломков не превышает 0,1 мм.

В целом для пород свиты, по сравнению с более молодыми вулканогенными образованиями, характерна большая степень перекристаллизации и гидротермальных изменений.

Возрастное положение свиты определяется тем, что она перекрывается отложениями амкинской свиты позднеальбского-сеноманского возраста. По стратиграфическому положению, составу и особенностям строения отложения коррелируются с образованиями еманринской свиты, флористически охарактеризованными на смежных территориях /II, 16/.

Нижний - верхний отдељ

Альбский - сеноманский ярусы

Амкинская свита. Отложения этой свиты занимают около 60% территории. По литологическому составу и последовательности формирования свита подразделяется на три толщи: нижнюю, среднюю и верхнюю.

Нижняя толща ($K_{1-2}^{2m_1}$). Отложения толщи амкинской свиты развиты преимущественно в центральной, западной и северной частях района и сложены вулканогенно-осадочными породами - туфитами, туфопесчаниками, туфогравелитами, туфоконгломератами, туфоалевролитами, реже наблюдаются туфы среднего и кислого состава и аргиллиты с прослоями углистых туфлитов. Они залегают на размытой поверхности отложений еманринской свиты и перекрываются вулканическими основного и кислого состава средней и верхней толщ амкинской свиты. Туфоконгломераты, на отдельных участках залегающие в основании разреза нижней толщи, содержат гальку и обломки андезитов и андезито-базальтов по составу и облику идентичных вулканикам еманринской свиты.

Наиболее полный разрез наблюдался в верховье р.Унчэ, где от уреза воды и выше обнажаются (снизу вверх):

- I. Туфоконгломераты светло-серые и зеленовато-серые, галька средней, реже хорошей окатанности, представленная андезитами и их туфами 8 м
2. Туффиты мелко- и среднеобломочные зеленовато-серые, тонкопереслаивающиеся 23 "
3. Туффиты крупно- и среднеобломочные грубосложные серые, зеленовато-серые 40 "
4. Аргиллиты светлые зеленовато-серые тонкосложные с отпечатками *Cephalotaxopsis heterophylla* Holl. и *Elatooladus* sp. 40 "
5. Туффиты среднеобломочные с прослоями туфоалевролитов, серые, зеленовато-серые 30 "
6. Туфы андезитов мелко-среднеобломочные серо-зеленые 20 "
7. Туфогравелиты и крупнообломочные туффиты с отпечатками обугленной древесины 25 "
8. Туффиты средне-мелкообломочные светло-серые 30 "
9. Туфоалевролиты черные углистые 0,5-1"
10. Туффиты мелкообломочные зеленовато-серые 20 "
- II. Туфопесчаники белые и кремовые 2-5 "

12. Туфоалевролиты кремового цвета	15-20м
13. Туфоалевролиты углистые темно-серые тонкоплитчатые	10 "
14. Туффиты мелкообломочные светло-серые	20-30"
15. Туфоалевролиты и туфоаргиллиты тонкопереслаивающиеся розовато-серые, кремовые	4 "
16. Туффиты мелкообломочные зеленовато-серые с маломощными (до 10 см) прослоями темно-серых аргиллитов, с отпечатками трав и стеблей	70 "
17. Туффиты мелкообломочные белые и кремовые с отпечатками стеблей и трав	30 "
18. Туфоконгломераты валунно-галечные	4 "
19. Туффиты мелко-среднеобломочные зеленовато-серые с прослоями черных углистых туфлитов	30 "
20. Туфопесчаники	10 "

Суммарная мощность 450 м.

Разрезы отложений нижней толщи наблюдаются и на всей юго-западной части территории, хотя порядок чередования пластов, их мощность и вещественный состав изменяется в широких пределах и ни один из выделенных слоев не может служить маркирующим горизонтом. На востоке территории (нижнее течение р.Унчэ) на туфах и лавах еманринской свиты без видимого несогласия залегают тонкоплитчатые зеленовато-серые туфоалевролиты и туфоаргиллиты с растительным детритусом плохой сохранности. Они переслаиваются с маломощными прослоями туфов андезитового состава, туфогравелитов и туфопесчаников. Мощность отложений здесь 220 м. Аналогичный разрез наблюдался несколько севернее (левый борт р.Урекан). К северу и северо-востоку от верховьев р.Урекан в разрезе толщи появляются (на севере территории явно преобладают) туфы и туффиты кислого и умеренно-кислого состава. Видимая мощность отложений здесь 250-300 м.

Максимальная мощность отложений нижней толщи 450 м.

Туффиты среднего, кислого и умеренно-кислого состава, обычно светлоокрашенные, иногда содержащие большое количество обуглившегося растительного материала с тонкоплитчатой и плитчатой отдельностью, параллельно- и косослоистые, иногда массивные. Около 50-60% породы составляет обломочный материал, состоящий из угловатых, иногда слабоокатанных обломков минералов и пород. В мелкообломочных разностях преобладают обломки плагиоклаза различной основности (An_{20-50}) и различной степени изменения, в меньшем количестве (до 10%) встречаются обломки цветных минералов - пироксен, роговая обманка, биотит. В средне- и круп-

нообломочных разностях до 30% породы составляют обломки андезитов, туфогенно-осадочных пород и фельзитов. Цемент туффитов базальный или типа соприкосновения представляет собой серую или буровато-серую слабополяризующую массу, часто значительно серизированную и хлоритизированную. Туфопесчаники, туфалевролиты и аргиллиты отличаются от туффитов только большей степенью окатанности и сортировки кластического материала. Состав обломочного материала аналогичен таковому в туффитах. Туфалевролиты имеют обычно темно-серый, почти черный цвет, реже зеленовато-серый и содержат в большом количестве обугленный растительный детритус. Углистые туфы встречаются в виде маломощных (до 15 м) прослоев, обычно быстро выклинивающихся по простиранию. Туфоконгломераты мелко- и среднегалечные, реже валунные и туфогравелиты имеют различную окраску, в большой мере зависящую, вероятно, от характера и степени наложенных гидротермальных изменений. Наиболее распространены пестроокрашенные туфоконгломераты и туфогравелиты, цвет которых в одном пласте меняется от светло-зеленого до фиолетово-бурого. Реже наблюдаются туфоконгломераты темного, зеленовато-серого цвета. В светлоокрашенных туфоконгломератах цемент аргилизирован и слабо хлоритизирован или гематитизирован, темноокрашенные породы имеют хлорит-эпидотовый цемент. Обломочный материал размером от 0,1 до 10-15 см, составляет до 70% породы и в большинстве своем представлен эфузивными и вулканогенно-осадочными породами среднего и кислого состава. Форма обломков полууглловатая, угловатая, реже наблюдается галька хорошей окатанности. От 5 до 20% обломочного материала составляют гальки и валуны экзотического состава (граниты, гранит-порфиры, фельзиты, липариты, кремнистые породы, реже - гранито-гнейсы предположительно архейского возраста. Цемент типа соприкосновения, базальный, иногда регенерационный, по составу гидрослюдистый, участками халцедоновый или карбонатный, хлорит-эпидотовый, хлорито-глинистый. Туфы липаритового и дацитового состава - это светлые, серовато-розовые, зеленовато-серые породы с хорошо различимыми обломками кристаллов полевых шпатов, листочками биотита, единичными обломками зерен пироксена и угловатыми обломками эфузивов кислого и среднего состава. Обломочный материал погружен в микрофельзитовую массу, обычно интенсивно измененную процессами перекристаллизации и гидротермального изменения. Количество обломков минералов и пород колеблется от 20 до 80% от общего объема породы. От описанных ранее туффитов кислого состава эти

породы отличает присутствие в составе обломков вулканического стекла бурого и красновато-бурового цвета, липаритов, дацитов и несколько меньшая окатанность обломков. Основная масса пород повсеместно изменена: серизитизирована, хлоритизирована, часто окварцована с образованием линз, прожилков и гнезд кварца с аллотриоморфозернистой структурой. Туфы андезитового состава по облику, составу, структурным и текстурным особенностям сходны с одноименными породами емандинской свиты.

Средняя толща (K_{1-2}^{am}). Отложения толщи распространены в южной (бассейн р.Кекра), центральной (междуречье Улья и Унчэ) и северной частях района и в сумме обнажены на 19-20% территории. В составе толщи выделяются и картируются вулканиты собственно эфузивной и жерловой фаций среднего состава, часто повышенной щелочности (андезиты, андезито-базальты, трахиандезиты, андезито-дациты, трахидациты, их туфы, лавовые и вулканические брекчи), а также вулканогенно-осадочные образования - туффиты, туфоконгломераты, туфопесчаники, туфогравелиты, туфалевролиты, аргиллиты. Эти отложения согласно налегают на вулканогенно-осадочные породы нижней толщи амкинской свиты. В основании разреза обычно залегают лавы андезитового состава или их туфы, в верхах разреза преобладают вулканогенно-осадочные породы - туффиты, туфогравелиты. Отложения средней толщи перекрываются эфузивами кислого состава верхней толщи амкинской свиты, реже на их размытой поверхности сохраняются реликты покровов андезито-базальтов хакаринской свиты.

Вулканогенные образования средней толщи отличаются значительной фациальной изменчивостью. Наблюданная в частных разрезах определенная последовательность напластования в большинстве случаев отражает только ход эволюции и особенности строения отдельных, пространственно разобщенных вулканических центров извержения. Один из наиболее крупных центров извержения расположен на северо-востоке района, в бассейне рек Мана и Гыры. Фациальный анализ отложений толщи позволяет предположить существование здесь крупного щитовидного вулкана площадью более 150 км². В центральной части его, вероятно, существовал кальдерообразный прогиб, заполненный тонкослоистыми туффитами. Мощность пачки туффитов меняется от 40 м на крыльях прогиба до 300 м в его центральной части. Во внешнем кольце преобладают лавовые образования. Для андезитовых покровов характерно многоярусное строение, выражющееся в чередовании многочисленных лавовых потоков различной мощности от нескольких метров до 50-80 м.

На отдельных участках (верховье р.Маны) число потоков достигает первых десятков. В верхней части потоков иногда наблюдаются шлаковые зоны и миндалекаменные текстуры, окраска фиолетовая. Фрагменты подобной вулканоструктуры отмечаются в верховьях рек Урекан и Наундакан, где сохранились реликты покровов и округлые неккообразные тела, сложенные лавовыми и вулканическими брекчиями и черными стекловатыми породами андезитового и трахиандезитового состава, среди полей лав и туфов среднего состава.

Большое поле вулканогенных и вулканогенно-осадочных образований средней толщи картируется на юго-западе района (реки Кекра, Кивангра). Вулканогенные отложения представляют собой сложный горизонт, состоящий из обезглавленных эрозией вершин вулканов центрального типа и эфузивно-пирокластических и вулканогенно-осадочных образований, заполняющих пространство между ними. Собственно жерловые и прижерловые образования представлены лавами и лавовыми и вулканическими брекчиями андезитового и андезито-базальтового состава темно-серого, фиолетово-серого, почти черного цвета. Они прерывают и перекрывают вулканогенно-осадочные образования нижней толщи амкинской свиты и, в свою очередь, прорваны субвулканическими телами среднего и кислого состава.

Разрез отложений, составленный в междуречье Кивангра и Онганда, следующий (снизу вверх):

I. Туфоконгломераты зеленовато-серые с галькой и валунами андезитов хорошей окатанности	15 м
2. Туфы андезитов крупнообломочные серые и фиолетово-серые	5 "
3. Андезиты фиолетово-серые мелкопорфировые	3 "
4. Туфы андезитов среднеобломочные вишнево-серые	13 "
5. Туффиты среднеобломочные серые	10 "
6. Туфогравелиты пестрые	8 "
7. Туффиты мелкообломочные темно-серые	10 "
8. Туфы андезитов среднеобломочные зеленовато-серые	6 "
9. Туфопесчаники, туфогравелиты	12 "
10. Андезиты фиолетовые, в верхней части шлаковые корки	10 "
II. Туфы андезитов среднеобломочные фиолетово-серые	20 "
12. Туффиты разнообломочные зеленовато-серые	30 "
13. Туфы андезитов с маломощными прослойками лав андезитов фиолетово-серые	50 "

14. Туфоконгломераты, туффиты крупнообломочные пестрые	30 м
15. Туфопесчаники светлые	20 "
16. Туфоконгломераты крупногалечные, валунные (в составе валунов и гальки преобладают эфузивы среднего состава и туфогенно-осадочные породы, единичные валуны измененных гранитоидов, галька средней и хорошей окатанности)	100 "
17. Туфогравелиты фиолетово-серые	3 "
18. Андезиты темно-серые порфировые	5 "
19. Туфоконгломераты с прослойями туфогравелитов и туфопесчаников	30 "
20. Туфопесчаники, туфогравелиты пестрые с примазками голубовато-зеленого хлорита (?)	35 "
21. Туфы андезитов фиолетово-серые	20 "
22. Туффиты мелкообломочные темно-серые	20 "
23. Туфы андезитов фиолетово-серые	20 "
24. Туффиты разнообломочные	20 "
25. Лавобрекции андезитов темно-серые	20 "
26. Туффиты с прослойями туфов серые, зеленовато-серые	20 "
27. Андезиты и их лавобрекции темно-серые, почти черные	50 "
Общая мощность 585 м.	

Представление о характере переслаивающихся пород дает детальный разрез туфогенно-осадочных пород, который наблюдался в коренных обнажениях по р.Кивангра (снизу вверх):

I. Туффиты среднеобломочные зеленовато-серые (в обломках только андезиты)	0,2 м
2. Туффиты мелко-среднеобломочные фиолетово-серые	0,12"
3. Туфоалевролиты вишнево-серые	0,07"
4. Туффиты крупнообломочные вишнево-зелено-серые (обломки андезитов и их туфов угловатые и полуокатанные). В цементе примазки голубовато-зеленого хлорита	0,9 "
5. Туффиты среднеобломочные зеленовато-серые	0,15"
6. Туфоалевролиты вишнево-серые с конкрециевидными стяжениями	0,2 "
7. Туффиты крупнообломочные пестрые	0,15"
8. Туфы андезитов мелкообломочные фиолетово-серые	0,8 "

9. Туфоалевролиты темно-серые	0,4 м
10. Туффиты среднеобломочные фиолетово-серые	0,2 "
11. Туфы мелкообломочные темно-серые	0,12"
12. Туффиты мелкообломочные фиолетово-серые (далее по делению)	0,07"
13. Андезиты серые и фиолетово-серые	20 "
14. Туффиты мелкообломочные темно-серые	20 "
15. Туфы андезитов среднеобломочные	20 "
16. Андезито-базальты порфировые фиолетово-се- рые	20 "
17. Туфы андезитов среднеобломочные серые	20 "
18. Туффиты среднеобломочные фиолетово-серые	20 "
19. Туфоконгломераты с прослойками туфогравелитов серые	30 "
20. Туффиты разнообломочные пестрые	20 "
21. Туфы андезитов фиолетово-серые	30 "
22. Туффиты с прослойками туфов андезитов	20 "
23. Туфы андезитов с прослойками лав андезитов	20 "
Общая мощность 244 м.	

Аналогичные разрезы туфогенно-осадочных пород описаны в верховье р.Кекра, в 10 км к северо-востоку от описанного выше разреза, где наблюдаются переслаивающиеся зеленовато-серые и фиолетово-серые туффиты, туфоалевролиты и туфы андезитового состава.

Пестрые зеленовато-серые туффиты с примазками голубовато-зеленого хлорита (?) являются характерной особенностью, присущей только породам средней подсвиты амкинской свиты.

Отложения средней толщи амкинской свиты являются продуктом извержений центрального типа магмы андезитового состава, иногда несколько повышенной щелочности. Вулканогенно-осадочные образования толщи относятся к континентальным отложениям аллювиального и озерно-болотного типа. Наиболее крупные центры извержений контролируются региональными разломами северо-восточного направления. Максимальная мощность отложений, наблюдаемая вблизи от центров извержений, на северо-востоке района достигает 700 м, на северо-западе - 480 м, на юго-западе - 550 м. На остальной части территории мощность отложений средней толщи изменяется от 100 до 300 м.

Резкое преобладание андезитов, андезито-базальтов и их туфов в составе обломочного материала вулканогенно-осадочных отложений средней толщи и слабая окатанность обломков свидетельствует о том, что областью сноса были вулканические постройки андезитов того же возраста, транспортировка обломочного материала

была непродолжительной и области сноса располагались в непосредственной близости от областей аккумуляции.

Андезиты содержат вкрашенники (10-30%) размером 1-3 мм плагиоклаза (An_{30-50}) - 60-80%, моноклинного пироксена (диопсид-авгит, бледно-зеленый без заметного плеохроизма, $2V=+50\ldots 60^\circ$, $c:Ng=32\ldots 43^\circ$, двупреломление = 0,021-0,024) - 0-10%; роговой обманки обыкновенной ($2V=+73\ldots 75^\circ$; $c:Ng=13\ldots 20^\circ$) - 5-20%; биотита красновато-коричневого - 5-15% и рудного минерала - 5-10%. Текстура массивная или слабо флюидальная. Структура основной массы гиалопилитовая, пилотакситовая, интерсертальная. Вторичные изменения порфировых вкрашенников выражаются в сосудо-ритизации плагиоклаза, хлоритизации и эпидотизации цветных минералов. Основная масса замещается серицит-хлоритовым агрегатом. Андезито-базальты отличаются несколько большей основностью плагиоклаза (до An_{60}) и большим количеством цветных минералов во вкрашенниках (до 30%) и основной массе, иногда наблюдаются единичные зерна оливина (?), замещенные вторичным агрегатом серпентина и иддингсита. Трахиандезиты и трахидациты, в отличие от андезитов, содержат небольшое количество калиевого полевого шпата в основной массе, реже - во вкрашенниках. Структура основной массы обычно пилотакситовая, реже - витрофировая. Андезито-дациты отличаются более кислым составом плагиоклаза (An_{25-40}) и фельзитовой структурой основной массы.

В отличие от пород еманринской свиты части стекловатые структуры - гиалопилитовая в андезитах, витрофировая - в трахиандезитах. Особенны характерны стекловатые структуры для пород жерловой фации. Цветные минералы (роговая обманка, биотит) в этих образованиях всегда имеют широкую опацитовую кайму. Туфы андезитового состава почти не отличаются от аналогичных пород, описанных ранее в составе еманринской свиты.

Туффиты, туфоконгломераты и туфопесчаники отличаются от подобных образований еманринской свиты и нижней толщи амкинской свиты более темной окраской, обусловленной большим количеством темноцветных минералов (главным образом пироксена) в составе обломочного материала и большей степенью гематитизации. Степень окатанности обломочного материала в целом обычно ниже, исключением являются туфоконгломераты, развитые на юго-западе территории, где около 30% обломочного материала представлено галькой и валунами хорошей окатанности, в составе которых преобладают граниты, гранит-порфиры,

фельзиты и вулканогенно-осадочные породы. Туфограве-
лизы нередко имеют пеструю окраску, обусловленную присутствием голубовато-зеленого хлорита, медиистых окислов и фиолетовой гематитизации в цементирующей мелкообломочной массе. Обломки плохоокатанные, угловатые, состоят из андезитов и их туфов. Вулканические и лавовые брекции состоят из андезитов обычно темно-серого и зеленовато-серого цвета, состоят из несортированных остроугольных обломков андезитов размером от 0,1 до 1 м, сцементированных афировыми и келкопорфировыми андезитами (лавобрекции) или тонкообломочной массой (вулканические брекции). Туфоалевролиты и аргиллиты практически не отличны от аналогичных пород из нижней толщи.

Вторичные изменения в вулканогенных и вулканогенно-осадочных породах выражаются в серпентинизации, хлоритизации и эпидотизации минералов-вкрапленников и обломков и цементирующей массы. Особенно интенсивно эти процессы проявлены вблизи субвулканических интрузий. Но в целом вторичные изменения в образованиях средней толщи развиты значительно слабее, чем в нижележащих породах Емандинской свиты.

Верхняя толща (K_{1-2}^{am}). Вулканогенные образования верхней толщи Амгинской свиты распространены ограниченно, занимая в сумме менее 10% территории. Они развиты преимущественно на северо-востоке в междуречье Отында и Мана и в виде реликтов покровов наблюдается в северной и центральной частях районах, залегая на отложениях средней толщи Амгинской свиты. В левобережье р.Отында на их размытой поверхности залегают базальты Хакаринской свиты позднемелового-раннепалеогенового возраста. В составе свиты средней толщи Амгинской свиты преобладают вулканиты кислого и верхней толщи Амгинской свиты преобладают вулканиты кислого и умеренно-кислого состава, иногда повышенной щелочности: липари-ти, трахиличариты, липарито-дациты, трахидациты, дациты, витроподобные, их туфы, кислые и умеренно-кислые игнимбриты, вулканические и лавовые брекции, реже отмечаются туфиты. Максимальная мощность верхней толщи составляет 520 м.

Наиболее полный разрез отложений наблюдается в верховых р.Гырбы, в пределах Гырбинской кальдерообразной депрессии, имеющей площадь около 400 км²:

1. Дациты коричневые	10 м
2. Лавовые брекции дацитов	70 "
3. Липарито-дациты	20 "
4. Туфы дацитов розовато-серые среднеобломочные	30 "

5. Трахидациты сиреневые	20 м
6. Туфы липарито-дацитов светло-серые мелкообломочные	140 "
7. Трахиличариты флюидальные коричневатые и сиреневые	30 "
8. Туфы дацитов и трахидацитов темно-сиреневые мелкообломочные, переслаивающиеся с туфами и лавами липаритов	100 "
9. Лавовые брекции липарито-дацитов	8 "
10. Туфы липаритов бежевые	10 "
11. Туфиты светло-серые мелкообломочные	5 "
12. Трахиличариты сиреневые	15 "
13. Туфиты зеленовато-серые мелкообломочные	20 "
14. Игнимбриты коричневато-серые	42 "
Общая мощность	520 м.

В левобережье р.Турка наблюдался следующий разрез (снизу вверх):

1. Туфы дацитов кристаллокластические серые	10 м
2. Туфиты светло-серые мелко-среднеобломочные	5 "
3. Туфы дацитов серые, зеленовато-серые среднеобломочные	10 "
4. Игнимбриты светло-серые флюидальные с длинными вытянутыми флямме	50 "
5. Туфиты тонкоплитчатые светло-серые	5 "
6. Туфы дацитов зеленовато-серые литокристаллокластические	140 "
7. Игнимбриты светло-серые	60 "
8. Лавовые брекции дацитов темно-коричневого цвета	5 "
9. Дациты серые, коричневато-серые	75 "
Общая мощность	360 м.

Липариты макроскопически чрезвычайно разнообразны по цвету и структуре. Это белые, серые, бежевые и слабосиреневые породы порфировой или афировой структуры, иногда сферолитидные массивные или флюидальные. Количество вкрапленников в порфировых разностях колеблется от 5 до 20%. Вкрапленники представлены плагиоклазом (An_{25-35} - 60-80%), калиевым полевым шпатом (10-30%), биотитом (0-10%) и кварцем (0-10%). Вариации структур основной массы многочисленны (микрофельзитовая, микросферолитовая, микропойкилитовая структуры) и отражают степень вторичной перекристаллизации первично гомогенного стекла, состав кварца,

полевошпатовый. Вторичные изменения выражаются в серпентинизации и хлоритизации, местами отмечаются новообразования мелкозернистого аллотриоморфного агрегата кварца, реже - карбоната и эпидота. Сферолоидные липариты состоят из плотносцементированных сферолоидов размером от 1 до 10 см в диаметре, внутренние полости которых выполнены либо зональным агрегатом девитрифицированного стекла, либо щетками кварца, иногда аметистовидного. В промежутках между сферолоидами основная масса имеет микропойкилитовое или аллотриоморфозернистое строение. Витрофиры отличаются стекловатым обликом, окрашены в коричневые, кирпично-красные, зеленые и темно-коричневые цвета. В отличие от обсидиана и перidotита обычно содержат мелкие вкрапленники плагиоклаза, биотита, лита обычно содержит мелкие вкрапленники пироксена (до 20%) и буро-зеленой роговой обманки ($c:Ng=18-23^{\circ}$). Трахиляпартиты окрашены в сиреневые и коричневые тона и отличаются от липаритов большим содержанием калиевого полевого шпата в основной массе и во вкрапленниках (до 60%). Липарито-дациты и дациты отличаются от опицантов выше пород несколько большей основностью плагиоклаза во вкрапленниках - An_{40-45} и появлением биотита, иногда пироксена в количестве 5-20%. В трахидацитах нередко появляется базальтическая роговая обманка, интенсивно плеохроирующая в буроватых тонах с малым (до 15°) углом погасания ($n_g-n_p=0,030-0,040$) и буроватый биотит, изредка - гиперстен. Вулканические и лавовые брекчи и липарито-дациты содержат обломки и фенотитов, липарито-дацитов и дацит-паратитов, липарито-дацитов и дацит-паратитов с содержанием обломочного материала колеблется от 15 до 70%, в составе обломков преобладает плагиоклаз и обломки лав кислого состава, реже - обломки андезитов и осадочных пород и цветных минералов. Цемент мелкообломочный, обычно превращен в псевдохлорит-серпентитовый агрегат. В цементе иногда наблюдаются псевдофлюидальные текстуры. Особую группу пород составляют и глины бриты кислого и умеренно-кислого состава. Макроскопически это светло-серые, розовато-серые и коричневатые породы с многочисленными идиоморфными или оскольчатыми вкрапленниками плагио-

клиза и биотита в стекловатой или фельзитовой основной массе флюидальной текстуры с редкими тонкими изогнутыми фъяммеподобными выделениями стекловатого материала. Иногда в них наблюдаются округлые обломки андезитов и их туфов. Плагиоклаз обычно кислого состава - An_{20-30} , но встречается и более основного состава - до An_{40-50} . Биотит часто идиоморфен, коричневато-бурого цвета, часто с опацитовой каймой. Реже встречаются зерна моноклинного и ромбического пироксена. Строение основной массы неоднородно. Выделяются участки линейно-вытянутые в виде струй (ширина 1-2 мм) или линз (0,5x3 мм) с "равными" краями, сложенные тонкофлюидальными светло-бурым стеклом, иногда перекристаллизованным в фельзитовый агрегат, на фоне темно-бурового стекловатого или микрофельзитового базиса, постоянна мелкая вкрапленность рудного минерала (до 5%). Вторичные преобразования выражаются в развитии гнездообразных скоплений мелкочешуйчатого агрегата гидрослюд и хлоритизации минералов вкрапленников и основной массы. Нередко наблюдается вторичное окварцевание пород с образованием линзовидных прожилкообразных скоплений мелкомозаичного кварца.

Возраст амкинской свиты устанавливается на основании флористических остатков в нижней части нижнеамкинской толщи, которые по заключению Е.Л.Лебедева (19) имеют позднеальбский-сеноманский возраст.

Результаты определения абсолютного возраста из отложений свиты (109 - 58 \pm 5 млн. лет) согласуются с палеофитологическими данными (табл. I).

МЕЛОВАЯ СИСТЕМА, ВЕРХНИЙ ОТДЕЛ - ПАЛЕОГЕНОВАЯ СИСТЕМА, НИЖНИЙ ОТДЕЛ

Хакаринская свита ($K_2-P_1^{hh}$). Отложения хакаринской свиты занимают менее 1% территории и сохранились лишь в виде реликтов покровов базальтов и андезито-базальтов, бронирующих плоские вершины водоразделов на севере района и в междуречье Улья и Унчэ. Залегают они на размытой поверхности туфогенно-осадочных отложений средней толщи амкинской свиты. Верхняя граница неизвестна.

Базальты и андезито-базальты хакаринской свиты образуют сравнительно мощные потоки и покровы, которые переслаиваясь, создают картину многоярусного строения толщи. Мощность отдельных потоков колеблется от 10 до 40 м. Андезито-базальты часто имеют вертикальную столбчатую отдельность, образуя столбы 4-5-угольной формы с шириной граней от 0,2 до 0,8 м. Максимальная мощность свиты 100 м.

Базальты - это порфировые или афировые породы массивной текстуры. Порфировые вкрапленники, составляющие до 25% об-породы, представлены плагиоклазом, пироксеном, реже роговой обманкой. Зерна рудных минералов чаще в виде мелкой вкрапленности заключены в основной массе, но встречаются и более крупные (до 0,2 см) вкрапленники магнетита. Плагиоклаз № 58-62 (лабрадор) представлен идиоморфными кристаллами размером до 0,2 см, иногда слабо зонален. Пироксены (авгит) образуют мелкие таблицы (0,3-0,5 мм) характерного восьмиугольного сечения. Угол оптических осей $+53\ldots 58^\circ$; $c:Ng=42\ldots 48^\circ$, двупреломление - 0,025. Роговая обманка обыкновенная, зеленая, $2V=-73\ldots 75^\circ$; $c:Ng=13^\circ$. Из акцессорных минералов присутствуют алатит, магнетит, циркон. Основная масса состоит из микролитов плагиоклаза, пироксена, рудного минерала и стекла. Структура основной массы гиалопилитовая, интерсерпельная, вблизи вкрапленников часто пилотакситовая. Изредка встречаются стекловатые базальты с мелкими единичными вкрапленниками плагиоклаза на фоне черной, со стекловатым блеском основной массы. Вторичные изменения незначительны и выражаются в хлоритизации темноцветных минералов и серицитизации и пелитизации плагиоклазов-вкрапленников. Иногда наблюдаются новообразования карбонатов. Андезито-базальты отличаются только более кислым составом плагиоклаза во вкрапленниках № 52-58.

Возраст базальтов хакаринской свиты не имеет флористического обоснования. Однако их положение в структурах вулканогенного пояса - они венчают разрез меловых вулканитов, имеющих верхний возрастной предел 79-60 млн. лет, - не противоречит тому, чтобы они в соответствии со сводной легендой Приохотской серии, относились к верхнему мелу - палеогену, поскольку верхняя возрастная граница по определению абсолютного возраста не превышает 34 млн. лет (табл. I).

Петрохимическая характеристика вулканогенных образований

Для эфузивов еманринской свиты (№ 1-3) характерна нормальная щелочность ($a=8,9\ldots 12,5$), натрий несколько преобладает над калием (табл. 2). Высокое значение параметра "с" (5,4-9,4) указывает на значительное содержание извести в плагиоклазах. Содержание железа чуть больше, или равно магнию ($f=0,9\ldots 1,2$).

Таблица I

Абсолютный возраст покровных образований мелового времени

# пробн	Порода и место взятия проб	Индекс	K, %	Навеска, из которой определен Ar, г	% воздушного аргона	Ar^{40} , г/г	$\frac{Ar^{40}}{Ar^{36}}$	Возраст, млн. лет
I2	Андезиты стекловатые, р. Урекан	$K_{1-2} am_2$	4,55	70	30,0	34,4	0,0062	109 ± 6
I3	Дациты стекловатые, р. Унчэ	$K_{1-2} am_1$	4,48	70	23,7	18,0	0,0033	58 ± 5
I0	Андезито-базальты, р. Унчэ	K_2-Pk	2,2	70	0	365,5	0,0019	33,8

Состав эфузивов средней толщи амкинской свиты (№ 4-7) изменяется от андезито-базальтов до андезито-дацитов и трахиандезитов. Породы пересыщены глиноземом и в отличие от образований еманринской свиты обладают несколько повышенной щелочностью ($a=11,7\ldots 16$). В составе щелочей натрий обычно преобладает над калием, но иногда наблюдаются обратные взаимоотношения. В любом случае содержание калия в породах средней толщи и их субвулканических аналогах довольно высокое - от 2 до 4%. Высокое значение параметра "с" (до 6,5) указывает на значительное содержание извести в плагиоклазах анализируемых пород. Образования жерловой фации соответствуют по составу андезито-дацитам повышенной щелочности. Натрий в них резко преобладает над калием, железо над магнием (в цветной части). Они характеризуются устойчивым и относительно повышенным содержанием P_{2O_5} (-0,16-0,41) и большими потерями при прокаливании (до 3%).

Верхняя толща амкинской свиты представлена вулканитами умеренно-кислого и кислого состава и отличается повышенной щелочностью ("а"=13). Сумма окислов натрия и калия составляет около 8%, причем калий иногда преобладает. Повышенная щелочность выражается в появлении калиевого полевого шпата в основной массе,

Таблица 2

Химический состав вулканитов юманской, амгинской и хакаринской свит

№/п	SiO_2	TiO_2	Al_2O_3	Fe_2O_3	FeO	MnO	MgO	CaO	Na_2O	K_2O	P_2O_5	П.п.п.	SO_3	Сумма
1	46,98	1,00	17,77	4,39	5,02	0,19	3,52	9,51	2,02	2,44	0,52	6,15	Сл.	99,51
2	49,76	0,74	18,27	3,87	4,52	0,17	3,64	7,13	2,78	1,22	0,35	7,14	0,002	99,59
3	53,54	0,71	16,64	2,30	4,99	0,18	4,58	6,27	3,46	3,00	0,26	3,96	Сл.	99,89
4	52,86	0,57	17,61	4,31	3,52	0,34	4,58	7,08	2,66	3,68	0,16	2,27	0,03	99,67
5	55,32	0,61	17,97	3,21	3,73	0,4	2,99	7,08	3,54	3,28	0,17	1,45	0,03	99,78
6	62,00	0,53	18,24	1,61	2,65	0,1	1,37	5,04	3,82	2,90	0,16	1,82	Сл.	100,24
7	57,38	0,75	17,67	2,27	2,87	0,16	1,80	5,65	4,32	3,80	0,41	3,06	0,12	100,26
8	64,46	0,47	18,55	1,51	1,86	0,12	1,03	3,00	5,66	2,80	0,23	1,23	0,01	100,93
9	73,92	0,17	13,68	0,82	0,50	0,03	0,09	0,72	3,06	5,14	0,03	1,41	Сл.	99,57
10	48,84	0,96	18,33	6,19	3,44	0,18	4,84	9,59	3,24	2,16	0,39	1,47	0,01	99,64

Продолжение табл. 2

Числовые характеристики по А.Н. Завариному

№/п	a	b	c	s	a	f	p	c	a:c	Q	n	t	f
1	8,9	20,6	9,0	61,5	-	48,0	32,4	19,6	0,9	-3,8	55,1	1,7	20,8
2	9,0	16,2	9,4	65,4	-	54,6	43,5	1,9	1,0	3,4	77,4	1,1	23,2
3	12,5	17,8	5,4	69,3	-	40,2	45,4	14,4	2,5	-1,8	63,4	1	11,2
4	11,7	18,4	6,5	63,4	-	41,9	44,2	13,9	1,8	-3,1	52,4	0,8	20,9
5	13,0	15,3	5,9	65,8	-	45,7	34,5	19,8	2,2	-0,3	61,9	0,8	18,6
6	13,2	6,8	6,2	73,9	-	61,1	34,7	4,2	2,1	15,4	66,5	0,6	21,0
7	15,7	10,9	4,5	68,9	-	45,9	29,5	24,6	3,5	1,7	63,6	0,9	18,3
8	16,7	5,6	3,7	74,0	14,6	54,9	30,5	-	4,5	11,2	75,3	0,5	21,9
9	13,7	3,7	0,9	81,7	63,6	30,9	5,5	-	15,2	35,1	48,0	0,1	18,2
10	10,8	22,6	7,5	59,2	-	40,6	38,1	21,3	1,4	-10,6	70	1,4	24,7

П р и м е ч а н и е. 1-3 - вулканиты юманской свиты: 1-2 - андезито-базальты (1 - левый борт р.Кулгали в 8,0 км к СВ от вершины 868,0; 2 - левый борт р.Унчэ в 3,5 км к ЮВ от вершины 884,0); 3 - туф андезито-базальтов (водораздел рек Унчэ - Урекан в 8 км к СВ от вершины 597,0); 4-7 - вулканиты средней толщи амгинской свиты: 4 - андезито-базальты (правый борт р.Мана в 5 км к СВ от вершины 346,0); 5 - андезит (водораздел рек Мана - Алингиль в 4 км к ЮЗ от вершины 346,0); 6 - андезито-дацит (водораздел рек Урекан-Унчэ в 3 км к ЮВ от вершины 763,0); 7 - грахизандит (водораздел рек Урекан - Унчэ в 2 км к СВ от вершины 763,0); 8-9 - вулканиты верхней толщи амгинской свиты: 8 - грахизандит (водораздел рек Урекан - Унчэ в 3 км к ЮЗ от вершины 763,0); 9 - липарит (водораздел рек Напота - Хадылгылан в 5 км к ЮВ от вершины 761,0); 10 - базальты хакаринской свиты (водораздел рек Унчэ - Наундакан в 3 км к ЮВ от вершины 884,0).

реже - во вкраплениниках. Щелочные темноцветные минералы в породах отсутствуют. Появление пород, пересыщенных алюминием, объясняется, вероятно, значительной серицитизацией основной массы. Железо окислено и явно преобладает над магнием.

Базальты хакаринской свиты ($\# 10$) отличаются от пород аналогичного состава мелового возраста большим содержанием фемических минералов ($v=22,6$), большей щелочностью и большим дефицитом кремния ($Q=10,6$). Отличаются они повышенным содержанием окисного железа и преобладанием его над закисным. Они характеризуются более пологими векторами в левой части диаграммы по А.Н.Заварицкому, что свидетельствует о преобладании калия в салических минералах породы.

В целом для вулканогенных пород района характерны следующие особенности:

1. Они относятся к тихоокеанской известково-щелочной серии и располагаются между линиями типа Пеле и Эtnы.

2. Последовательность изверженияносит гомодромный характер, циклично меняясь во времени от базальтов и андезито-базальтов в раннем мелу (еманринская свита) через андезито-базальты - андезиты - андезито-дациты (средняя толща амкинской свиты) к лилипарато-дацитам - липаритам - трахилипаратам (верхняя толща амкинской свиты) к концу позднего мела. То есть, эволюция идет в одном направлении - повышении кислотности и щелочности вулканических продуктов.

3. Почти все вулканогенные образования мелового возраста характеризуются несколько повышенным содержанием глинозема и повышенной щелочностью, но особенно характерно это для вулканитов третьего цикла - изменение угла наклона вариационной кривой к оси в верхней части диаграммы и приближение ее к линии типа Эtnы позволяет отнести эти породы к промежуточному типу между щелочным и известково-щелочным рядом.

4. Конечный этап вулканической деятельности, прославившейся в позднемеловом-палеогеновом времени, снова характеризуется появлением основных пород - базальтов и андезито-базальтов.

Геохимическая характеристика вулканогенных образований

Для пород еманринской свиты характерно примерное равенство содержаний элементов-примесей в покровных эфузивах и их туфах. Содержания меди, свинца, олова и кобальта в них близки к кларко-

Таблица 3

Содержание микроэлементов в вулканогенных породах мелового и позднемелового-раннепалеогенного возраста

Элементы	Кларки пород		Чувствительность	Еманринская свита (K_{1-e})		Амкинская свита (K_{1-e})	
	песчаников	кистых		средних	левы (46 проб)	туфы, туфиты (27 проб)	
Медь	$1 \cdot 10^{-4}$	$2 \cdot 10^{-3}$	$3,5 \cdot 10^{-3}$	$1 \cdot 10^{-5}$	$0,0047/1,3$	$0,0036/3$	$0,0032/3$
Свинец	$7 \cdot 10^{-4}$	$2 \cdot 10^{-3}$	$1,5 \cdot 10^{-3}$	$1 \cdot 10^{-4}$	$0,00092/0,6$	$0,0011/1,4$	$0,0013/2$
Цинк	$16 \cdot 10^{-4}$	$6 \cdot 10^{-3}$	$7,2 \cdot 10^{-3}$	$1 \cdot 10^{-4}$	$0,00103/0,7$	$0,001/0,1$	$0,0021/4,5$
Молибден	$2 \cdot 10^{-5}$	$1 \cdot 10^{-4}$	$9 \cdot 10^{-5}$	$1 \cdot 10^{-5}$	$0,00046/50$	$0,000341,6$	$0,0058/29$
Олово	$1 \cdot 10^{-5}$	$3 \cdot 10^{-4}$	-	$1 \cdot 10^{-5}$	$0,00027/1$	$0,00022/22$	$0,0001/10$
Серебро	$5 \cdot 10^{-6}$	$5 \cdot 10^{-6}$	$7 \cdot 10^{-6}$	$1 \cdot 10^{-6}$	$0,00082/10$	$0,00027/54$	$0,00001/2$
Кобальт	$3 \cdot 10^{-5}$	$5 \cdot 10^{-4}$	$1 \cdot 10^{-5}$	$1 \cdot 10^{-4}$	$0,0016/1,6$	$0,0007/23$	$0,006/20$
Никель	$2 \cdot 10^{-4}$	$8 \cdot 10^{-4}$	$5,5 \cdot 10^{-3}$	$1 \cdot 10^{-4}$	$0,0007/0,1$	$0,006/3$	$0,00042/2$
							$0,0019/0,3$
							$0,0027/0,2$

Элементы	Амкинская свита (K_1-2 см)		Хакаринская свита (K_2-P кк)		Субуулканические тела, экструзии и дайки	
	верхняя лавы (7 ₁ про- са)	туфы (3 ₁ проба)	андезиты, тра- хандрозиты, андезито- сазальты (84 пробы)	андезиты, тра- хандрозиты, андезито- сазальты (с K_2) (21 пробы)	липараты, игнимориты, трахилиты- (λK_2) (255 проб)	андезиты, андезито- базальты (βK_2-P) (10 проб)
Мель	0,0015/1	0,0031/1,5	0,0048/1,3	0,0036/1	0,0015/1	0,0048/1,2
Свинец	0,0025/1	0,0031/1,5	0,0012/0,8	0,0031/2	0,0020/1	0,0011/1
Цинк	0,0066/1	0,0078/1,2	0,0024/0,3	0,0023/0,3	0,0033/0,5	0,0035/0,2
Молибден	0,00079/8	0,0019/20	0,00063/7	0,00053/6	0,00032/3	0,0008/1
Олово	0,00012/0,5	0,00058/2	0,00014	0,00035	0,00013/0,5	0,0001
Серебро	0,00003/0,5	0,00002/0,5	0,00004/14,3	0,00006/10	0,00003/1	0,00006/1
Кобальт	0,00046/1	0,0004/1	0,0011/0,2	0,0019/1	0,00045/1	0,001/1
Никель	0,0016/2	0,0018/2	0,01/0,2	0,0011/20	0,0007/1	0,001/1

П р и н ч е п и е. В числителе – среднее арифметическое содержание элемента в породе.
В знаменателе – его отношение к кларку, взятому по А.П.Виноградову.

ым, на половину порядка выше содержание молибдена, на порядок выше содержание галия. В то же время содержание цинка и никеля в них почти на порядок ниже кларковых (табл.3).

Туфриты нижней толщи амкинской свиты отличаются несколько повышенным содержанием кобальта, молибдена (на полтора порядка), меди (на порядок) и свинца (на половину порядка), по сравнению с кларковыми содержаниями этих элементов в песчаниках. Содержание остальных элементов-примесей близко к кларковому.

Андезиты и андезито-базальты средней толщи амкинской свиты отличаются повышенными содержаниями германия (на полтора порядка выше кларка), молибдена, серебра, олова (на порядок) и кобальта (на половину порядка). В туфах и туфритах этого возраста содержание серебра на два порядка выше кларкового, молибдена и германия – на полтора порядка, кобальта, меди и олова – на порядок выше кларка.

Содержание элементов-примесей в породах верхней толщи амкинской свиты в целом близки к кларковым для аналогичных пород. Исключение составляет кобальт и молибден, содержание которых в лавах и в туфах на порядок выше кларкового.

В целом для вулканитов мелового возраста характерно повышенное содержание серебра и молибдена (на один-два порядка), что соответствует металлогенической специализации района.

Содержание элементов-примесей в андезитах и андезито-базальтах хакаринской свиты близки к кларковым содержаниям элементов для пород среднего состава.

ЧЕТВЕРТИЧНАЯ СИСТЕМА

Образования четвертичной системы представлены среднечетвертичными, верхнечетвертичными и современными аллювиальными, морскими и ледниковыми отложениями. Широко развиты четвертичные элювиальные и делювиальные образования, покрывающие вершины и склоны гор (из-за малой мощности они сняты с геологической карты).

Среднечетвертичные отложения (Q_{II}^1)

Отложения первой половины среднечетвертичной эпохи образованы аллювиальными галечниками мощностью до 3-5 м, слагающими чехол IV цокольной надпойменной террасы.

сы, широко развитой в бассейне р.Улья. Высота этой террасы от уреза составляет 40-50 м. Галечники имеют плохую и среднюю окатанность и плохо отсортированный среднезернистый песчаный заполнитель, составляющий около 25-30% объема галечника.

В спорово-пыльцевых спектрах вышеописанных отложений преобладает пыльца древесных пород (50-90%): сосна обыкновенная, кедровый стланик, сибирский кедр; меньше 15% составляет пыльца ольховника, кустарниковой берески, лиственницы, ели. Разнообразна группа пыльцы травянистых: пыльца разнотравья - 50-100% (сложногруппа пыльцы травянистых), пыльца цветные, лютиковые, кипрейные, полынь до 20%, вересковые до 30%, осоки.

В группе спор преобладают (в %) споры плаунов - 28-45, папоротников - 20-30, сфагновых мхов - 5-18, плаунка - 3-5.

Максимальная высота, цокольный характер террасы с наиболее древним аллювиальным чехлом, а также отсутствие в теплом спорово-пыльцевом спектре пыльцы широколиственных пород дает основание расценивать их как четвертичные образования и относить на основании врезания в них ледниковых отложений самаровского оледенения к Q_{II}^1 .

Среднечетвертичные отложения (Q_{II}^2)

Отложения второй половины среднечетвертичной эпохи представляют собой аллювиальные, ледниковые и морские валунники, галечники, песками и суглинками.

Аллювиальные галечники и пески, мощностью до 2,6 м залегают на цоколе III надпойменной террасы, имеющей в долине р.Улья высоту 15-20 м. Разрез этих отложений следующий (сверху вниз):

1. Песок желтовато-коричневый хорошо отсортированный мелкозернистый с тонкими линзочками (от 0,5 до 1 см) серого суглинка 0,65 м

2. Галечник с плохо окатанной галькой. Заполнитель - песок средне-крупнозернистый серый плохо

отсортированный 1,9 м

Ледниковые отложения состоят из несортированных валунов, полуокатанных и неокатанных глыб (от 0,3 до 2 м), сцепленных суглинисто-песчаным материалом. Они об разуют в верхнем течении р.Кекра и ее притоков плохо сохранившиеся гряды и местами заполняют долины рек. Максимальная сохранившаяся мощность морены составляет 35-40 м. В ледниковые отложения врезана II надпойменная терраса.

Морские валунники и галечники слагают 20-метровую морскую террасу, фрагментарно развитую вдоль побережья Охотского моря. В приустьевых частях рек в морскую террасу врезана II надпойменная аллювиальная терраса. Валунники и галечники характеризуются плохой сортировкой и хорошей окатанностью. Заполнитель - грубозернистый неотсортированный песок, составляет до 30% объема породы.

Единство высотного уровня цокольных террас, единство положение их между верхнечетвертичными (вложены в них) и ранне-среднечетвертичными образованиями позволяют рассматривать их как синхронные и датировать верхней половиной среднечетвертичного времени.

Обилие спор холодолюбивых плаунов в спорово-пыльцевом спектре ледниковых образований убеждает в правильности заключения, хотя в морских и аллювиальных образованиях присутствует пыльца ольхи, ивы, карликовой берески.

Верхнечетвертичные отложения (Q_{III}^1)

Верхнечетвертичные образования состоят из аллювиальных и морских галечников, песков, супесей и суглинков.

Аллювиальные галечники, пески, супеси и суглинки слагают II надпойменную террасу высотой до 8 м, широко развитую в долинах практически всех рек района. Наиболее типичный разрез этих отложений вскрывается в среднем течении р.Мана, где обнажается галечник различной крупности с мелкими валунами в основании. Окатанность гальки плохая и средняя, заполнитель - грубозернистый неотсортированный песок, а в верхней части разреза сильно глинистый песок. Мощность аллювия - 8 м. В некоторых других разрезах в верхней части отмечается метровый горизонт четко слоистых супесей и суглинков.

Морские валуны и галечники образуют террасу высотой до 8-10 м. По степени окатанности, сортировке и характеру заполнителя эти отложения аналогичны таковым в 20-метровой морской террасе.

В спорово-пыльцевых спектрах преобладают споры, представленные холодолюбивым плаунком и плаунами (до 60%). Пыльца древесных пород характеризуется количественным и видовым непостоянством. В нижней части разреза преобладает пыльца сосны, ольхи, ивы, а в верхней части - лиственницы и карликовой берески. Пыльца разнотравья и вересковых составляет 35-45%.

Споро-пыльцевой спектр отложений, состоящий из холодолюбивых спор, позволяет рассматривать их как образования эпохи оледенения, а низкий (8 м) уровень и связь их с ледниками среднеденения, четвертичными отложениями свидетельствуют о принадлежности их к верхнечетвертичным отложениям периода зырянского оледенения.

Верхняя часть (Q^2_{III})

В верхней части верхнечетвертичных образований установлены аллювиальные и морские валунники, галечники, пески и глины.

Аллювиальные отложения слагают I надпойменную террасу. Для разрезов этих отложений характерно преобладание в верхней половине желтых и коричневато-желтых песков и суглинков. В нижней половине разреза преобладают средние и плоскограненные галечники с редкими валунами в основании. Мощность аллювия первой террасы не превышает 7 м.

Морские валунники, галечники и пески слагают морскую террасу, которая имеет одинаковый гипсометрический уровень с I аллювиальной террасой в приусտевых частях рек. В разрезе морских отложений отмечается однообразный состав валунно-галечного материала при хорошей окатанности и крупнозернистый песчаный заполнитель.

Спектры отложений I надпойменной террасы указывают на распространение лиственичных редколесий с подлеском из кустарниковых и покровом из плаунов и, частично, горно-тундровой растительности в условиях некоторого похолодания климата по сравнению с современным. Характер споро-пыльцевого спектра отложений позволяет рассматривать их как образования эпохи похолодания, а связь их с верхнечетвертичными отложениями эпохи оледенения свидетельствует о принадлежности их к периоду сартанского оледенения.

Современные отложения (Q^4)

Современные отложения представлены аллювиальными и морскими валунниками, галечниками, песками и осадками шельфа. Аллювиальные образования (галечник, пески слабо глинистые с редкими валунами) слагают пойму, широко развитую во всех долинах рек. Морские отложения, представленные морскими галечниками с локально развитыми прослойями песков и линзами лагунных алевритистых песков, слагают пляж, пересыпь и косы, "первый морской вал". В сплошь

рово-пыльцевых спектрах указанных отложений доминирует пыльца древесных – 80-85% (кустарниковой ольхи – 20-30, кедрового стланика – 20-35, ели – 15-30, лиственницы – до 15, кустарниковой березы – 5-10). Пыльца травянистых (вересковые, злаковые, разнотравье) составляет 10-15%. Споры составляют 2-5% (в основном единичные споры, сфагновый мох, папоротник).

Современный, голоценовый возраст охарактеризованных отложений определяется на основании современного споро-пыльцевого спектра, а также продолжающимся их формированием.

Шельфовая зона Охотского моря занимает собой обширную материковую отмель с гравийно-песчаными осадками мощностью не более 100 м /27/. Источником терригенного материала являются рыхлые и скальные образования абразионных уступов. В составе гальки резко преобладают вулканогенные продукты. А.Ю.Юновым /27/ доказано перемещение осадков с северо-востока на юго-запад.

ИНТРУЗИВНЫЕ ОБРАЗОВАНИЯ

СУБВУЛКАНИЧЕСКИЕ ТЕЛА, ЭКСТРУЗИИ И ДАЙКИ

Рассматриваемые субвулканические образования широко развиты в районе и подразделены на три комплекса: 1. Андезиты, базальты, андезито-базальты, андезито-дациты, трахидациты позднемелового возраста. 2. Липариты, трахиолипариты, дациты, трахидациты, игнимбриты позднемелового возраста. 3. Базальты, андезито-базальты позднемелового-палеогенового возраста. Выделенные комплексы являются субвулканическими аналогами стратифицирующихся покровных эфузивов.

ПОЗДНЕМЕЛОВЫЕ СУБВУЛКАНИЧЕСКИЕ ОБРАЗОВАНИЯ

Андезиты (αK_2), базальты (βK_2), андезито-базальты ($\alpha\beta K_2$), андезито-дациты ($\alpha\zeta K_2$) развиты преимущественно в центральной и южной частях территории. Размещение большей части субвулканических тел контролируется разломами северо-восточного и северо-западного направлений. Они прорывают отложения емандинской свиты и нижней и средней толщ амкинской свиты и сами прорваны субвулканическими и интрузивными образованиями кислого состава. Наиболее характерная форма залегания – силлы и дайки, реже – штокообразные тела. Мощ-

ность даек и силлов колеблется в широких пределах - от 0,5 до 150 м, соответственно меняется и протяженность тел - от 10 м до нескольких километров. В зависимости от мощности тел меняется облик и структуры слагающих их пород. В маломощных телах андезиты, андезито-базальты и базальты практически неотличимы от аналогичных пород соответствующей эфузивной фации средней толщи амкинской свиты. В телах большей мощности несколько увеличивается размер и количество вкрапленников, иногда меняется структура основной массы. Так, если количество вкрапленников в покровах редкой массы превышает 30%, в субвулканических породах оно колеблется от 30 до 70%. Размер вкрапленников плагиоклаза в среднем составляет 0,4 см, но на юго-западе района часто встречаются андезиты и андезито-базальты, содержащие многочисленные (60-80%) субпараллельно-ориентированные вкрапленники плагиоклаза (# 45-52) прямоугольной формы, размером до 1,5 см по длиной оси. Размер вкрапленников моноклинного пироксена в них обычно не превышает 0,3-0,4 см. Структура основной массы также отличается большим разнообразием - от стекловатых-гиалопилитовых до микродолеритовых (в базальтах) и микрофельзитовых (в андезитах).

Неккообразные тела андезитов, расположенные в верховьях р.Унчэ, имеют цилиндрическую форму диаметром от 50 до 100 м. Сложенены они порфировыми андезитами серого цвета, с андезитовой и гиалопилитовой и микрофельзитовой структурой основной массы. Вкрапленники составляют около 40% породы, из них более половины представлено моноклинным пироксеном, остальные - плагиоклазом, реже наблюдаются вкрапленники роговой обманки и биотита.

Наиболее крупное тело андезитов и андезито-дацитов расположено в верховьях р.Кекра. Форма массива в плане близка к изометричной, площадь - 20x16 км, контакты - секущие, крутие, иногда выполаживающиеся к поверхности. В рельфе отпрепарирован в виде лишенного растительности скалистого массива, расчлененного узкими прямолинейными долинами притоков р.Кекра. В массиве проявлена вертикальная зональность, выражаясь в некотором покислении пород в апикальной части массива (вплоть до дацитов и трахиандезито-дацитов) и в меньшей степени раскристаллизации основной массы. Экзо- и эндоконтактовые изменения в блоковых контактных массах незначительны. Андезиты представляют собой серые порфировые породы с многочисленными (до 70-80%) вкрапленниками плагиоклаза (# 35-40) - 65-70%, биотита - 15-20%, пироксена - 10-15% и роговой обманки - 0-5%. Средний размер вкрапленников 0,4 см. Пироксен моноклинный (диопсид?) бесцветный или слабозеленоватый, $c:Ng=43^{\circ}$, двупреломление 0,016. Плагиоклаз идиоморфен, иногда зонален. Изредка наблюдаются вкрапленники плагиоклаза более основного по составу - # 50-52. Структура основной массы - микрофельзитовая, участками микролайкилитовая, гиалопилитовая. В апикальных частях массива (трахиандезиты) состав вкрапленников плагиоклаза несколько кислее - это олигоклаз # 25-30. Из цветных минералов явно преобладает биотит - до 30% породы. Степень раскристаллизации основной массы уменьшается, появляется значительное количество бурого (в проходящем свете) стекла, флюидальной и вихревой структуры.

Для апикальных частей массива характерно также появление пород обломочной структуры - лавобрекции или автомагматические брекции андезито-дацитового и трахиандезито-дацитового состава. В составе обломков - андезиты и минералы-вкрапленники, аналогичные наблюдаемым в центральных частях массива. Цементирующая масса имеет витрофировую или микрофельзитовую структуру. Наличие таких стекловатых структур в апикальной части массива свидетельствует о том, что формирование массива происходило в непосредственной близости от земной поверхности и не исключены случаи прорывов магмы на поверхность.

Массив андезитов и андезито-дацитов прорван серией маломощных (до 10 м мощности) даек андезито-базальтов и андезитов, ориентированных в северо-восточном направлении или параллельно kontaktам массива. В отличие от пород массива они содержат большое количество вкрапленников моноклинного пироксена (до 30% состава породы) и характеризуются пилотакситовой, реже - микропризматической зернистой структурой основной массы. Вторичные изменения, выражаются в хлоритизации, реже - эпидотизации темно-цветных минералов и основной массы и карбонатизации плагиоклаза, в равной мере преобразуют и породы массива (несколько увеличиваясь в его апикальных частях) и андезито-базальты рвущих его даек. Представляется наиболее вероятным, что это родственные образования, а их взаимные пересечения свидетельствуют только о неоднократности проявлений вулканизма.

Петрохимические характеристики этих пород аналогичны описанным для вулканитов средней толщи амкинской свиты: для них характерно значительное содержание калия и высокое значение параметра "c" (до 8,5) при общей повышенной щелочности и глиноземистости. Аналогичная картина наблюдается в распределении элементов-примесей: субвулканические образования так же, как и покровные характеризуются повышенным содержанием серебра (на порядок выше кларка) (см.табл.3).

В целом субвулканические образования комплекса по составу, структуре, внешнему облику, особенностям петрохимии и геохимии аналогичны вулканитам собственно эфузивной фации средней толщи амкинской свиты.

Возраст субвулканических образований определяется позднемеловым на основании того, что они прорывают туфогенно-осадочные породы нижней и средней толщ амкинской свиты, содержащие флору сеномана и, в свою очередь, прорваны субвулканическими и интрузивными породами кислого состава позднемелового возраста. Результаты определения абсолютного возраста этих пород - 91-72 млн. лет, подтверждают это положение.

Липариты (λK_2), трахиляпараты ($\tau \lambda K_2$), дациты (ζK_2), трахидакиты ($\tau \zeta K_2$), игнимбриты (λK_2) широко развиты по всей территории района, концентрируясь в виде линейных зон северо-восточного и северо-западного направлений и кольцевых и полукольцевых зон вокруг экструзивных куполов. Широкая (до 6 км) полоса этих интрузий протягивается вдоль побережья Охотского моря. Они прорывают все известные вулканогенно-осадочные и вулканогенные образования мелового возраста и, в свою очередь, пересекаются позднемеловыми гипабиссальными интрузиями и андезито-базальтами позднемелового - палеогенового возраста.

Морфология тел весьма разнообразная: это лакколитоподобные тела, штоки, экструзивные купола, дайки, силлы, субпластовые залижи с пологоsekущими контактами, на отдельных участках переходящие в крутопадающие трещинные тела. Размеры тел изменяются в широких пределах: площадь наиболее крупного лакколитообразного тела достигает 300 км², штообразные тела, протягивающиеся цепочкой вдоль Прибрежного разлома, имеют в поперечнике не более 2-6 км, мощность силлов и даек меняется от 1 до 200 м, протяженность от сотен метров до нескольких километров.

Наиболее крупный полифациальный массив вулканитов кислого состава расположен в верховых рек Мана и Кулукли. В современном эрозионном срезе массив имеет причудливую форму, обусловленную сочетанием крутых и пологих контактов, апофизами, отходящими во вмещающие породы и провесами кровли, размер тела 20x15 км. В северо-восточной части его, на пересечении Право-Ульинского и субширотного дугового разломов дешифрируется кольцевая структура диаметром около 4 км, являющаяся, вероятно, корнем интрузии. В целом форма массива приближается к лакколитообразной, в краевых частях она расщепляется на многоэтажные субпараллельные силлы.

Вмещающие породы в кровле и подошве силлов повсеместно значительно изменены, что и служит основанием для отнесения липаритов, слагающих силлы, к рвущим образованиям.

Большая часть крупных массивов имеет сложнозональное строение, выражющееся в преобладании в периферических и апикальных частях массива пород с витрокластической и порфироскластической структурой, которые по внешнему облику и особенностям текстуры соответствуют игнимбритам^{X/}. Центральные части массивов сложены обычно порфировыми или афировыми породами массивной, реже - флюидальной текстуры. Иногда наблюдается изменение состава пород в пределах одного массива от липаритов - трахиляпаратов в центральной части до дацито-трахидацитов в периферии.

Ульинский экструзивный купол размером 10x14 км имеет изометрическую форму. Для него характерно грубозональное строение, выражющееся в явном преобладании в периферических частях тела обломочных пород типа лавобрекций липаритового, липарито-дацитового состава, в меньшем количестве наблюдаются массивные липариты и игнимбриты. Центральная часть сложена плотными игнимбритами флюидальной текстуры, иногда с вертикальной восстающей и субвертикальной флюидальностью, на отдельных участках постепенно переходящими в породы порфировидного облика - типа гранит-порфиров. В приконтактовых частях массива иногда наблюдаются витрофиры. Округлая форма тела, секущие контакты, грубая зональность массива и вертикальная флюидальность в центральных частях его - все это в сумме свидетельствует о том, что это один (или несколько сросшихся) экструзивных куполов, представляющих крупную вулкано-купольную структуру.

Экструзивный купол в верховье р. Унчэ имеет несколько вытянутую в субмеридиональном направлении форму. Сложен он липаритами и липарито-дацитами, которые в краевых частях часто имеют сферолоидную или брекчевидную текстуру. Вблизи подошвы купола и в апикальной части его обычны красные и буровато-коричневые витрофиры.

Небольшие по площади, но весьма характерное экструзивное тело наблюдалось в правобережье р. Урекан (высота с отм. 701,0). Там на плоской поверхности водораздела, сложенного тонкослоистыми туффитами средней толщи, возвышается игла серых мелкопорфировых трахидацитов, с западного фланга окаймленная черными витрофирами.

X/ Подобные породы известны также под названием "автомагматические брекчи" (В.С. Колтев-Дворников, 1967 г. /5/), или "флюидпорфир" (Г.Ф. Яковлев, Е.Б. Яковлева, 1973 /8/).

рофираами того же состава. Диаметр иглы около 50 м, высота - 15-20 м. Трахидициты имеют слабо выраженную субвертикальную флюидальность. Маломощные тела (дайки, силлы) обычно более однородны и сложены либо лавоподобными эфузивами массивной или тонкофлюидальной текстуры, либо игнимбритами. Флюидальность или ориентировка фьаммеобразных включений обычно параллельна контакту в субвертикальной плоскости, но иногда ориентирована субгоризонтально. Для всей группы суббулканических образований характерна значительная степень вторичных преобразований, выражавшихся в серпентинизации и пелитизации полевых шпатов и основной массы и хлоритизации и эпидотизации цветных минералов и обломков пород. Некоторые дайки и силлы, а иногда и апикальные части небольших массивов подвержены интенсивной аргиллизации и окварцеванию и превращены в белую мелоподобную массу. Вторичные изменения имеют, вероятно, автометасоматический характер, так как подобные преобразования наблюдаются в эндоконтактах массивов, характер изменений зависит, в большинстве случаев, от состава и структуры вмещающих пород. Так, породы основного и среднего состава подвергаются пропиллитизации, эпидотизации, гематитизации, реже - прожилковой и порфириобластической калишпатизации и альбитизации. Туфогенно-осадочные породы в непосредственной близости от массивов часто претерпевают структурную и текстурную переработку, осветление, аргиллизацию, а на некотором удалении от контакта они обычно пропиллитизированы, хлоритизированы и эпидотизированы или гематитизированы. Ширина зон измененных пород зависит от мощности рвущего тела и меняется от сантиметров (в контакте маломощных даек) до нескольких километров в экзоконтакте крупных массивов.

Липариты, липарито-дациты, трахилипариты и дациты по внешнему облику, структуре, текстуре и особенностям породообразующих минералов практически неотличимы от аналогичных пород покровов, описанных в составе верхней толщи амкинской свиты. Трахидициты имеют обычно фиолетово-серый цвет и порфировую структуру. Вкрапленники в них составляют около 20-30% породы и представлены в основном плагиоклазом. Размер фенокристаллов не превышает 0,3-0,5 см по длинной оси. Изредка отмечаются вкрапленники биотита и роговой обманки. Текстура пород массивная, реже - флюидальная, иногда неяснообломочная. Игнимбриты отличаются большим разнообразием окраски. Это породы серого, бежевого, зеленовато-серого, коричневато-серого, лилово-коричневого, сиренево-серого

цвета или пестроокрашенные, с многочисленными (%) обломками пород до 30-40 и минералов и порфировыми вкрапленниками плагиоклаза - 10-20, калиевого полевого шпата - 0-10, пироксена - 0-15, биотита - 5-10 и магнетита - 2-10. Основная масса - флюидальной или массивной текстуры, часто с фьаммеобразными выделениями бурого стекла. Обломки пород, размером от 0,5 до 4-5 см, имеют округлую, угловатую, иногда каплеобразную форму. Иногда наблюдаются обломки извилистой причудливой формы с заливами основной массы и реакционной каймой вдоль контакта фиолетового цвета. В составе обломков преобладают андезиты, их туфы, туффиты, кремнистые сланцы, перекристаллизованные породы с игольчатой роговой обманкой, реже - гранит-порфирь и липариты. Состав игнимбритов изменяется от липаритов - трахилипаритов до дацитов, андезито-дацитов, трахидицитов и зависит от количества вкрапленников темноцветных минералов и количества обломков чужеродных пород. Все эти разновидности иногда можно наблюдать в одном массиве. В целом преобладают игнимбриты липаритового и липарито-дацитового состава.

Петрохимическая характеристика этой группы пород сходна с таковой для эфузивов верхней толщи амкинской свиты: они также отличаются повышенной щелочностью ($\text{Na}_2\text{O} + \text{K}_2\text{O}$ - от 8,36 до 9,82, $a = 14,9-17,1$) и повышенным содержанием алюминия. Все они содержат свободный кварц и отличаются повышенным содержанием железа, а величина n равна 50-60, указывает на почти равное количество натрия и калия, что подтверждает наличие калиевых полевых шпатов в основной массе пород. Содержание элементов примесей в породах близко к кларковым.

Позднемеловой возраст суббулканических образований кислого состава определяется на основании наблюдаемых пересечений ими туфогенно-осадочных пород нижней и средней толщ амкинской свиты. Верхняя возрастная граница определяется тем, что они прорываются интрузивными гранитоидами, имеющими позднемеловой возраст. Определение абсолютного возраста этих пород дало цифры 84 и 65 млн. лет. Комагматичность их с эфузивами верхней толщи амкинской свиты подтверждается сходством состава, облика и особенностями петрохимии и геохимии этих геологических образований (табл. 3, 4).

Таблица 4

Химический состав субулканнических магмий позднемелового, позднемелово-раннепалео-

генового возраста

№ п/п	SiO ₂	TiO ₂	Al ₂ O ₃	Fe ₂ O ₃	FeO	MnO	MgO	CaO	Na ₂ O	K ₂ O	P ₂ O ₅	П.п.п.	SO ₃	Сумма
1	54,82	0,68	19,02	3,64	4,05	0,18	2,75	8,64	3,12	1,70	0,31	1,86	Сл.	100,77
2	62,28	0,86	16,98	2,47	3,23	0,16	1,62	3,56	4,56	3,20	0,36	1,14	0,07	100,49
3	66,44	0,37	14,73	2,89	1,65	0,25	0,53	3,17	4,14	4,38	0,13	1,09	Сл.	99,77
4	65,84	0,40	16,11	2,31	1,00	0,11	0,65	2,34	4,98	4,04	0,23	1,96	0,02	99,99
5	70,72	0,21	13,07	2,23	1,08	0,14	0,86	3,36	4,04	4,32	0,20	0,45	Сл.	100,68
6	70,96	0,26	15,15	0,93	1,22	0,09	0,08	1,23	3,92	5,90	0,07	0,54	Сл.	100,35
7	50,60	0,88	19,64	6,02	3,23	0,18	4,13	9,0	3,06	2,12	0,46	1,17	0,01	100,50
8	60,14	0,35	15,3	3,96	4,17	0,18	2,3	5,7	3,84	2,52	0,30	1,18	Сл.	99,94
9	52,8	0,66	20,63	4,56	3,16	0,15	3,27	8,28	2,84	2,0	0,08	1,57	Сл.	99,99

Продолжение табл. 4

Числовые характеристики по А.Н.Завариному

№ п/п	a	b	c	s	a'	t'	т'	c'	a:c	q	n	t	t	φ
1	9,8	15,0	8,5	66,6	-	50,0	32,7	17,3	1,1	5,0	73,5	0,9	22,1	
2	14,9	8,4	4,1	72,6	-	63,6	33,1	3,3	3,6	11,4	68,4	0,9	25,6	
3	15,5	6,9	2,1	75,5	-	62,1	12,8	25,1	7,3	17,9	59,9	0,4	35,4	
4	17,0	4,6	2,4	76,0	-	64,7	24,1	11,3	7,2	15,5	65,2	0,5	42,1	
5	14,6	7,2	1,0	77,2	-	40,9	19,1	40,0	14,6	24,2	58,7	0,2	25,5	
6	16,9	2,3	4,1	79,4	8,6	85,7	5,7	-	12,0	23,6	50,0	0,3	34,2	
7	10,3	19,2	8,8	61,7	-	46,7	38,4	14,9	1,2	-5,8	69,0	1,3	28,6	
8	12,1	14,2	4,3	69,4	-	53,3	27,6	19,1	2,8	10,3	70,8	0,4	23,7	
9	9,9	14,5	10,0	65,6	-	52,4	41,2	6,4	0,9	1,4	68,6	1,0	29,0	

П р и м е ч а н и е. 1-6 - субулканнические интрузии позднемелового возраста: I - андезито-базальт (правый борт р.Унчэ в 9 км к юв от верш. 1163,0); 2 - тряхидацит (правый борт р.Урекан в 6 км к юв от верш. 763,0); 3 - дацит (водораздел рек Аллингжа - Мана в 5 км к юв от верш. 726,0); 4 - тряхидацит (правый борт р.Унчэ, в 4 км к юв от верш. 1224); 5 - липарито-дацит (правый борт р.Хадыгычан в 2 км к сз от верш. 851,0); 6 - тряхидацит (водораздел рек Унчэ - Урекан в 8 км к юв от верш. 763,0); 7-9 - субулканнические интрузии позднемелово-раннепалеогенового возраста: 7-8 - базальт (7 - водораздел рек Наундакчан - Урекан в 4 км к юз от верш. 1095,0; 8 - левый приток р.Улья в 15 км сз от отм. 176,0); 9 - андезито-базальт (левый борт р.Улья в 12 км к сз от отм. 176,0).

ПОЗДНЕМЕЛОВЫЕ - ПАЛЕОГЕННЫЕ СУБВУЛКАНИЧЕСКИЕ
ИНТРУЗИИ

Базальты (βK_2-P), андезито-базальты ($\alpha\beta K_2-P$) образуют дайки, силлы и штокообразные тела, прорывающие все известные в районе вулканогенные образования. Наибольшее количество этих тел наблюдается в центральной части района, в пределах вулкано-тектонических депрессий и их периферии. Силлы залегают обычно в толще вулканогенно-осадочных пород, дайки и штокообразные тела в большинстве контролируются разломами северо-восточного и северо-западного направлений. Ширина даек, обычно 2-3,5 м, протяженность изменяется от 100 м до 4 км, мощность силлов от 1 до 50 м, протяженность от 30-50 м до 2 км.

В правобережье р.Улья, ниже устья р.Годзя, базальты интрузируют слоистую толщу туффитов средней толщи амкинской свиты, образуя три субпараллельных силла мощностью до 100 м, отчетливо дифирирующих на аэрофотоснимках полосками светло-серого фототона. Штокообразные тела известны в бассейнах рек Ньяколмы, Няпата, Бирокчан, Унчэ. Они имеют в плане изометричную форму диаметром до 2 км или слегка вытянуты в северо-западном или северо-восточном направлениях. Эндо- и экзоконтактовые изменения незначительны.

Базальты и андезито-базальты черного, темно-зеленого и темно-серого цвета плотные массивные, с редкими вкрашенниками плагиоклаза и пироксена, составляющими в сумме от 5 до 20% породы. Основная масса - интерсертальной структуры в базальтах, пилотакситовая и гиалопилитовая в андезито-базальтах, состоит из микролитов плагиоклаза, пироксена и стекла. Плагиоклаз во вкрашенниках - An₅₀₋₅₄, размером до 2 мм по длинной оси, в основной массе - An₅₄₋₅₆. Моноклинный пироксен - авгит, размером от 0,1 до 1,8 мм. Угол оптических осей +55°, c:Ng=46°, двупреломление - 0,022-0,024. Иногда во вкрашенниках наблюдается роговая обманка обыкновенная зеленовато-бурая, с резким плеохроизмом от темно-бурого до светло-желтого цвета, c:Ng=8°. Кроме того, в породе содержится до 10-20% рудного минерала. Аксессорные - апатит, циркон. Вторичные изменения развиты незначительно и выражаются в соссоритизации плагиоклаза и хлоритизации и карбонатизации основной массы и цветных минералов.

Породы по своим петрохимическим и геохимическим особенностям (см.табл.3, 4) близки покровным образованиям хакаринской свиты:

обогащены темноцветными минералами (в = 14,5-21,8), глиноzemом и железом, содержание элементов-примесей близко к клярковым.

Возраст этих пород считается позднемеловым - палеогенным на основании того, что они прорывают все известные интрузивные и субвулканические образования позднемелового возраста и по внешнему облику, составу, строению и петрохимическим и геохимическим особенностям аналогичны базальтам и андезито-базальтам эфузивной фации хакаринской свиты. По данным определений абсолютного возраста, формирование их происходило в постмеловой период - 29,8; 33,8; 61,7 млн. лет (табл.5).

Таблица 5

Абсолютный возраст субвулканических интрузий

# проб	Порода и место взятия проб	Индекс	K, %	Навеска, из которой определен Ar, г	% воздушно-го аргона	Ar^{40} 10^{-9} г/г	Ar^{40} K^{40}	Возраст, млн. лет
6	Игнimbриты экструзивные, р.Улья	λK_2	3,67	70	-	2165,08	0,0069	121
4	Андезиты, р.Улья	αK_2	3,94	70	0	1772,51	0,0053	91
7	Игнimbриты, р.Улья	λK_2	5,04	60	14,8	29,2	0,0048	84-6
5	Игнimbриты, р.Улья	λK_2	4,88	70	0	1894,36	0,0045	79
I	Андезиты порфировые, р.Улья	αK_2	3,51	80	33,4	17,6	0,0041	72-4
II	Трахидиаты, р.Үерекан	τK_2	2,72	70	22	875,21	0,0037	65
2	Базальты	βK_2-P	3,92	70	33,0	1187,58	0,0035	61,7
3	Андезито-базальты	$\alpha\beta K_2-P$	2,76	70	0	639,8	0,0017	29,8

ПОЗДНЕМЕЛОВЫЕ ИНТРУЗИИ

Позднемеловые интрузивные породы в пределах исследованного района развиты главным образом вдоль побережья Охотского моря в зоне шириной около 20 км. Их суммарная площадь составляет 160 км². Размещение интрузивных тел контролируется протяженными разломами северо-восточного направления. Среди интрузивных пород выделяются граниты и гранодиориты, гранодиориты, диориты, сиенито-диориты, сиенит-порфиры, слагающие штоки. Их жильная серия представлена гранит-порфирями, гранодиорит-порфирями, граносиенит-порфирями, сиенит-порфирями, слагающими дайки.

Граниты и гранодиориты ($\gamma_1\delta K_2$), гранодиориты ($\gamma\delta K_2$) развиты в основном на северо-востоке и юге района. Северо-восточнее м.Энкан выходы гранитов и гранодиоритов составляют около 60 км², в верховых р.Отында они образуют шток в 8 км², в устье р.Гыры - шток в 7 км². На остальной территории встречены небольшие (до 0,05 км²) разрозненные выходы гранодиоритов, слагающих штоки. Как правило, в сравнительных крупных интрузиях наблюдается внутренняя зональность. Так, на мысе Энкан центральная часть штока, вскрытая в руслах рек и береговых обрывах, сложена биотитовыми гранитами и биотит-амфиболовыми гранодиоритами. Переходы одних пород в другие постепенные, часто повторяющиеся. В эндоконтактовых частях наблюдаются порфировидные гранодиориты с вкрапленниками плагиоклаза и калиево-полевого шпата, с ксенолитами диаметром до 1 м переработанных вмещающих пород. В кровле интрузии происходит обогащение пород калиево-щелочным полевым шпатом, появляются порфировые выделения калиево-щелочного полевого шпата размером до 5 мм. Аналогичное строение имеет и интрузивное тело в верховых р.Отында. В более мелких штоках обогащение эндоконтактовых частей щелочными выражается в появлении сиенито-диоритов (устье р.Турка), сиенит-порфиров (устье р.Гыры). Из-за незначительных размеров на карте они не показаны.

Граниты представляют собой розовато-серые среднекристаллические породы, массивные, состоящие (в %) из плагиоклаза - 45, ортоклаза - 30, кварца 20, биотита - 5, акцессорных минералов - циркона и апатита. Структура пород гранитная, участками пегматоидная. Плагиоклаз таблитчатый, размером 1-2 мм, его состав меняется от олигоклаза 25 до андезина 32. Ортоклаз таблитчатый, размером 1-1,5 мм, угол оптических осей 50-60°.

Гранодиориты - породы серого, светло-серого, цвета, среднекристаллические, иногда порфировидные, массивные. Они состоят (в %) из плагиоклаза - 40-45, ортоклаза - 20, кварца -

20, биотита - 5-10, роговой обманки - 10, акцессорных минералов - сфена, апатита. Структура пород гипидиоморфозернистая, участками пегматоидная. Плагиоклаз таблитчатый, размером 3-4 мм, его состав отвечает андезину 32-32, иногда встречается олигоклаз 26. От 20 до 60% кристаллов сложно зональны. Ортоклаз неправильной формы, размером 1-2 мм, угол оптических осей 50-60°. Кварц неправильной формы, размером 1-2 мм. Кристаллы биотита удлиненно-таблитчатые, размером 2 мм, плеохроируют от желтого до красно-коричневого цвета. Кристаллы роговой обманки таблитчатые, ромбические, размером 1-2 мм, плеохроируют от светло-зеленого до зелено-бурового цвета, угол оптических осей 82-86°; $cNg=16-18^{\circ}$, двупреломление 0,026. По химическому составу гранодиориты пересыщены кремнеземом, отличаются от нормальных гранодиоритов по Р.Дэли значительно большим содержанием щелочей, пониженным содержанием железисто-магнезиальных компонентов и кальция при большом преобладании железа над магнием (табл.6). Вмещающие породы кислого состава интенсивно аргиллитизированы в зоне шириной до 500 м. Породы среднего состава эпидотизируются, хлоритизируются в зоне шириной 50-200 м, иногда превращаются в кварц-биотитовые роговики. В верховых р.Отында и в устье р.Гыры в эндоконтакте гранодиоритов встречаются вторичные кварциты монокварцевой, кварц-серпентитовой фаций.

Диориты (δK_2) встречаются на м.Энкан (площадь интрузии 10 км²), в среднем течении р.Унчэ (площадь штока 5 км²), мелкие (0,01-0,02 км²) штоки и дайки диоритов выявлены в верховых рек Налдынчжа, Гыры, Бирокчан. В наиболее полно вскрытом эрозией теле (м.Энкан) внизу развиты пироксен-рого-обманковые диориты с единичными ксенолитами вмещающих пород. В верхней части интрузии встречаются сиенито-диориты (размеры выходов от 10x20 м до 50x100 м). Изменение состава пород постепенное, происходит в полосе шириной 10-15 м. Породы обогащены ксенолитами вмещающих пород, в различной степени переработанных, размером от 10 см до 5 м. В среднем течении р.Унчэ в диоритах в зоне контакта с вмещающими породами появляются порфиры (1-2 мм) темно-серого плагиоклаза, миндалины (до 5 мм), выполненные кальцитом. Диориты - породы серого, зеленовато-серого цвета, мелко-, среднекристаллические, массивные, состоят (в %) из плагиоклаза - 50-60, роговой обманки - 10-15, диопсида - 5-20, ромбического пироксена - 5-15, апатита и сфена - 3-5%, магнетита. Структура пород призматическая-зернистая, участками субофитовая. Плагиоклаз удлиненно-таблитчатый, его размер 0,5-1 мм, представлен андезином 37-48, 5-10% кристаллов сложно зональные. Кристаллы роговой обманки удлиненно-таблитчатые размером 1-1,5 мм, на 90-100% площади замещены хлори-

Таблица 6

Химический состав позднемеловых интрузий

n/n	SiO ₂	Al ₂ O ₃	Fe ₂ O ₃	FeO	TiO ₂	P ₂ O ₅	MnO	CaO	MgO	SO ₃	K ₂ O	Na ₂ O	П.п.п.	Сумма
1	66,08	15,95	1,58	1,65	0,55	0,16	0,12	2,44	0,68	0,05	3,82	5,02	2,52	100,62
2	73,28	11,48	2,61	0,43	0,16	0,13	0,13	2,16	0,69	0,02	4,32	4,36	0,63	100,38
3	67,66	15,94	0,96	2,37	0,44	0,16	0,08	3,36	1,03	0,02	3,62	3,68	1,48	100,80
4	63,68	17,05	1,73	1,44	0,30	0,09	0,19	2,68	1,23	0,02	6,88	4,04	0,69	100,02
5	59,76	17,09	2,16	2,73	0,52	0,11	0,23	6,10	2,29	0,04	3,64	3,80	0,81	99,28
6	55,86	18,22	3,21	3,09	0,64	0,17	0,23	6,34	3,17	0,04	4,42	3,64	0,74	99,77

Числовые характеристики по А.Н.Заваричному

n/n	a	c	b	d	e	f'	f"	n'	c'	n	f	t	q	a:c	c
1	16,8	2,3	4,8	76,1	-	62,8	22,9	14,2	66,1	27,5	0,63	18,4	7,2	-	-
2	14,6	-	5,8	79,2	-	37,8	18,9	43,3	59,2	28,9	0,2	28,8	3,7	0,4	-
3	13,4	4,0	4,9	77,7	-	63,4	35,2	1,4	61,0	16,9	0,4	24,6	3,3	-	-
4	18,8	1,9	6,7	72,6	-	47,4	32,6	20,0	47,3	23,2	0,3	5,7	9,9	-	-
5	13,8	4,7	11,5	70,0	-	41,0	34,5	24,5	61,2	16,3	0,6	7,3	2,9	-	-
6	14,9	5,0	14,4	65,7	-	41,9	38,1	20,0	55,6	19,5	0,86	-3,4	2,9	-	-

П р и м е ч а н и е. 1-6 - позднемеловые интрузии: 1 - гранодиорит (верховье р.Кара в 8 км к СВ от вершины 1095); 3 - гранит-порфир (левый борт р.Гызын - ущелье в 6 км к СВ от вершины 763,0); 4 - сиенит-порфир (левый борт р.Гызын в 9 км к югу от вершины 355,0); 5 - скенито-диорит (левый борт р.Гызын в 5 км к югу от вершины 559,0); 6 - скенито-диорит (левый борт р.Гызын в 7 км к югу от вершины 726,0).

том. Кристаллы диопсида таблитчатые, неправильные, размером 0,3-3 мм, угол оптических осей 60-62°, c:Ng 38-40°, двупреломление 0,030. Кристаллы ромбического пироксена таблитчатые, изометричные, размером 0,5-3 мм, угол оптических осей 60°, двупреломление 0,011. По химическому составу диориты относятся к нормальному ряду, слабо недосыщены кремнеземом, содержат несколько большее количество щелочей (при преобладании натрия над калием) и железисто-магнезиальных компонентов при равных количествах железа и магния.

Сиенито-диориты (δK_2) развиты преимущественно на севере изученной территории. Они образуют штоки площадью от 0,01 до 4 км². В наиболее крупных интрузиях, расположенных в верховьях р.Мана и в устье р.Гызын, в краевых частях наблюдаются порфировидные сиенито-диориты, переходящие в сиенит-порфиры, которые аналогичны породам, слагающим дайки. Поэтому описание сиенит-порфиров приведено в разделе "Жильная серия".

Сиенито-диориты - это серые, с розоватым оттенком, мелко-, среднекристаллические массивные породы, состоящие (в %) из пла-гиоклаза - 40-45, калиевого полевого шпата - 10-20, кварца - 5-10, биотита - 0-10, роговой обманки - 10-25, диопсида - 10-30, ромбического пироксена - 0-10, акцессорные минералы - сфеин, апатит. Структура пород гипидиоморфозернистая, монzonитовая, местами лейкогранитовая. Плагиоклаз таблитчатый, размером 0,5-3 мм, его состав изменяется от олигоклаза 26 до лабрадора 56. От 10 до 20% кристаллов имеют прямую или сложную зональность. Калиевый полевой шпат неправильной формы, размером 0,2-2 мм, представлен ортоклазом с углом оптических осей 50-56° и анортоклазом с углом оптических осей 70-75°. Роговая обманка таблитчатая, размером 1-1,5 мм, плеохроирует от светло-зеленого до зеленого цвета, угол оптических осей 72-76°, c:Ng 18-20°, двупреломление 0,020. Диопсид таблитчатый, изометрический, размером 0,5-3 мм, угол оптических осей 51-60°, c:Ng 38-40°, двупреломление 0,031. Ромбический пироксен таблитчатый, изометрической и неправильной формы, размером 0,5-3 мм, угол оптических осей 74-80°, двупреломление 0,009-0,013. По химическому составу сиенито-диориты относятся к нормальному ряду, отличаются от сиенито-диоритов по Р.Дэли большим содержанием щелочей, при незначительном преобладании калия над натрием, пониженным - железисто-магнезиальными компонентами, причем железа немного больше, чем магния, заметным колебанием содержания кремнезема (см.табл.6). При описании интрузий гранитов и гранодиоритов отмечалось, что в их эндоконтактовых частях также появляются сиенито-диориты. По-видимому, некоторые выявленные

тела сиенито-диоритов являются верхними частями более крупных интрузий среднего и умеренно-кислого состава, не вскрытых эрозией. В этом случае колебание содержания кремнезема в сиенито-диоритах объясняется различным составом находящихся на глубине пород. Вмещающие породы на контакте с сиенито-диоритами слабо осветлены, обожраны, ороговикованы в зоне шириной 10-30 м.

Взаимоотношения пород основной интрузивной фазы между собой не совсем ясны. Мы видим в контактных частях интрузий переходы от гранодиоритов до диоритов и сиенито-диоритов. С другой стороны, часть интрузий, сложенных диоритами и сиенито-диоритами, является самостоятельными телами, не связанными на глубине с гранодиоритами.

Аномалии магнитного поля ΔT_a не обнаруживают корреляции с мелкими участками развития гипабиссальных пород. Лишь в южной части района намечается приуроченность слабо переменного магнитного поля (от +2 до -2 мЭ) к гранитам - гранодиоритам и увеличенного поля (до 9 мЭ) на диоритах. Последнее объясняется повышенной магнитной восприимчивостью диоритов.

К жильной серии относятся порфировые породы, слагающие дайки и штоки. Это гранит-порфиры, гранодиорит-порфиры, сиенит-порфиры, диоритовые порфиры. Они развиты главным образом вдоль побережья Охотского моря в зоне шириной около 20 км, а также вдоль правого борта р.Улья. Их размещение контролируется разрывными нарушениями различных, в основном северо-восточных направлений. Например, дайка граносиенит-порфиров, прослеживающаяся на 38 км от верховий р.Урекан до среднего течения р.Унчэ, заlewивает разлом северо-восточного направления. Дайки гранит-порфиров в бассейне р.Кадырчан также заlewивают разломы аналогичного направления. Обычно длина даек не превышает 200-300 м при ширине от 1 до 20 м, площадь штоков - до 0,5 км². Рассматриваемые породы прорывают верхнемеловые эфузивные, субвулканические и гипабиссальные образования.

Гранит-порфиры ($\Gamma\pi K_2$) - это светло-серые массивные мелко-микрокристаллические порфировые породы, состоящие (в %) из плагиоклаза - 30-35, калиевого полевого шпата - 30-40, кварца - 25-30, биотита - 5-10. Аксессорные минералы - циркон, альбит. Структура пород порфировая, основная масса фельзитомагнетит. Плагиоклаз во вкраплениниках имеет ваяя, аллотриоморфнозернистая. Плагиоклаз во вкраплениниках имеет размер 1-3 мм, в основной массе - 0,1-0,2 мм. Его состав меняется от альбита 15 до олигоклаза 25. Он на 5-20% площади кристаллов замещается серциитом, эпидотом. Калиевый полевой шпат во вкраплениниках имеет размер 1-1,5 мм, в основной массе - 0,2-0,3 мм, угол оптических осей 46-52°.

Гранодиорит-порфиры ($\gamma\delta\pi K_2$) представлены серыми массивными мелкоクリсталлическими, порфировыми породами, состоящими (в %) из плагиоклаза - 40-45, калиевого полевого шпата - 20-25, кварца - 20, биотита - 5, роговой обманки - 10-15. Структура пород порфировая, основной массы - гипидиоморфнозернистая. Аксессорные минералы - апатит, циркон, магнетит. Плагиоклаз встречается во вкраплениниках и в основной массе, его размеры соответственно 2-3 и 0,2-0,3 мм, состав меняется от олигоклаза 25 до андезина 32.

Граносиенит-порфиры ($\gamma\epsilon\pi K_2$) - это породы серовато-розового цвета, массивные, мелко-микрокристаллические, порфировые, состоящие (в %) из плагиоклаза - 15-30, калиевого полевого шпата - 40-60, кварца - 30-40, биотита - 5-10. Аксессорные минералы представлены цирконом, апатитом, магнетитом. Структура пород порфировая, основная масса микропегматоидная, фельзитовая. Плагиоклаз имеет размеры во вкраплениниках 1-3 мм, в основной массе 0,2-0,5 мм, меняет состав от альбита 10 до олигоклаза 22. Калиевый полевой шпат встречается во вкраплениниках и в основной массе, размеры соответственно 1-2 и 0,2-0,3 мм, угол оптических осей 67-70°.

Сиенит-порфиры ($\epsilon\pi K_2$) - розовые, серовато-розовые породы, массивные, мелкоクリсталлические, порфировые. Они состоят (в %) из плагиоклаза - 10-15, калиевого полевого шпата - 60-70, кварца - 5-10, биотита - 5-10, эгирина-авгита - 5-10, ромбического пироксена - 0-5. Аксессорные минералы представлены апатитом, сфеном, магнетитом. Структура пород порфировая, основная масса трахитоидная, участками микропегматоидная. Плагиоклаз имеет размеры во вкраплениниках 2-3 мм, в основной массе - 0,1-0,2 мм, 90% вкраплениников сложно зональны, по составу отвечает андезину 30-35. Калиевый полевой шпат во вкраплениниках имеет размер 1-1,5 мм, в основной массе - 0,1-0,2 мм, угол оптических осей 65° и 70-80°. Эгирин-авгит встречается только во вкраплениниках, его размер 1-3 мм, угол оптических осей 78°, c:Ng 20°, двупреломление 0,040. Ромбический пироксен встречается только во вкраплениниках, его размер 1-1,5 мм, угол оптических осей 55°, двупреломление 0,009.

Диоритовые порфириты ($\delta\pi K_2$) представлены зеленовато-серыми породами, массивными, мелкоクリсталлическими, порфировыми, состоящими (в %) из плагиоклаза - 60-70, авгита - 15-20, ромбического пироксена - 15-20. Аксессорные минералы - апатит, магнетит. Структура пород порфировая, основная масса призматическая зернистая. Плагиоклаз во вкраплениниках имеет размер

I-2 мм, в основной массе - 0,1-0,3 мм, около 20% кристаллов сложно зональные, его состав меняется от андезина 45 до лабрадора 55. Авгит встречается главным образом в основной массе (размер 0,1-0,2 мм), иногда во вкраплениках (размер 1-2 мм), угол оптических осей 65°, c:Ng 40°, двупреломление 0,025. Ромбический пироксен в основной массе имеет размер 0,1-0,2 мм, в иногда встречающихся вкраплениках - 1,0-1,5 мм, двупреломление 0,013.

По химическому составу гранит-порфирь, граносиенит-порфирь относятся к нормальному ряду, пересыщены кремнеземом, для них характерно повышенное содержание щелочей при преобладании калия над натрием (по сравнению со средними значениями по Р.Дэли), несколько меньшее содержание железисто-магнезиальных компонентов, причем железа значительно больше, чем магния (см.табл.6). Для сиенит-порфиров, большей частью относящихся к нормальному и меньшей - к пересыщенному алюминием ряду пород, характерна незначительная пересыщенность или недосыщенность кремнеземом, повышенное содержание щелочей при преобладании калия над натрием и малые содержания железисто-магнезиальных компонентов. Отношение железа к магнию резко колеблется при общем преобладании железа. Диоритовые порфириты относятся к нормальному ряду, слабо пересыщены кремнеземом, характеризуются несколько повышенным содержанием щелочей (при преобладании натрия над калием) и железисто-магнезиальных компонентов, причем железо незначительно преобладает над магнием.

Взаимоотношения рассматриваемых образований между собой не установлены из-за их пространственной разобщенности.

Эзоконтактовые изменения выражены в слабом осветлении, пиритизации, хлоритизации пород в зоне 5-20 м. Лишь вокруг крупного (8 км²) штока граносиенит-порфиров, расположенного в правобережье р.Унчэ, эффузивы интенсивно аргиллизированы в полосе шириной до 1 км.

Петрохимические и геохимические особенности интрузивных пород

Для кислых, умеренно-кислых и щелочных пород наиболее характерной чертой является повышенное содержание щелочей при преобладании калия над натрием. Причем, в составе темноцветных минералов это практически не отражается, лишь в сиенит-порфирах появляется эгирин-авгит. Для них характерно также пониженное содержание железисто-магнезиальных компонентов при преобладании железа над магнием. Как правило, темноцветные представлены рогожелеза над магнием. Как правило, темноцветные представлены рогожелеза над магнием.

Таблица 7

Содержание микроэлементов в интрузивных породах

Элементы	Кларки пород кислых средних	Чувствительность	Граниты - гранодиориты (57 проб)	Диориты (27 проб)	Гранит- порфирь (62 пробы)	Гранодиорит- порфирь (45 проб)	Граносиенит- порфирь (26 проб)
Медь	2·10 ⁻³	3,5·10 ⁻³	1·10 ⁻⁵	0,002/1x/	0,006/2	0,0014/0,7	0,003/1,5
Свинец	2·10 ⁻³	1,5·10 ⁻³	1·10 ⁻⁴	0,002/1	0,0014/0,9	0,0032/1,6	0,0027/1,8
Цинк	6·10 ⁻³	7,2·10 ⁻³	1·10 ⁻⁴	0,003/0,5	0,0012/0,2	0,0031/0,5	0,0024/0,4
Молибден	1·10 ⁻⁴	9·10 ⁻⁵	1·10 ⁻⁵	0,00037/3,7	0,0004/4,4	0,004/44	0,00035/3,5
Олово	3·10 ⁻⁴	1·10 ⁻⁴	1·10 ⁻⁵	0,00015/0,5	0,00011	0,0001/0,3	0,00008/0,3
Серебро	5·10 ⁻⁶	7·10 ⁻⁶	1·10 ⁻⁶	0,0000085/1,7	0,000008/1,1	0,000047/6,9	0,000003/0,4
Кобальт	5·10 ⁻⁴	1·10 ⁻³	1·10 ⁻⁴	0,0006/1,2	0,0012/1,2	0,00058/1,1	0,00091/1,8
Никель	8·10 ⁻⁴	5,5·10 ⁻³	1·10 ⁻⁴	0,00094/1,1	0,00011/0,02	0,0008/1	0,0009/1,1

x/ В числителе - среднее арифметическое содержание элемента в породе, в знаменателе - его отношение к кларку, взятоу по А.П.Виноградову.

вой обманкой и биотитом с высоким содержанием железистых компонентов. Колебания содержаний окиси алюминия и кремнезема связаны, по-видимому, с процессами ассилияции и контаминации в магме. Породы среднего состава характеризуются также повышенным содержанием щелочей, но в них натрия больше, чем калия. Железисто-магнезиальных компонентов в них больше, причем количества железа и магния примерно равны (см.табл.6).

Содержания микроэлементов в гипабиссальных интрузивных породах приведены в табл.7. В целом они мало отличаются от кларков. Обращает внимание повышенное содержание молибдена, а также устойчивые, хотя и близкие к кларку содержания серебра.

На участке Кекра внутри даек граносиенит-порфиров и на участке Турка в дайке гранит-порфиров установлены кварцевые жилы с высоким содержанием золота. Непосредственно к югу от рассматриваемой площади, в бассейне р.Этанджа, среди гранитоидов также найдены кварцевые жилы и поля гидротермально-измененных пород с золотом. Таким образом, по крайней мере часть золоторудных проявлений Ульинского прогиба пространственно связана с интрузиями гранитоидов.

Возраст гипабиссальных интрузивных пород определяется верхнемеловым на основании того, что они прорывают и метаморфизуют меловые флористически охарактеризованные породы амкинской свиты, в свою очередь, прорываются дайками андезито-базальтов верхнемелового-палеогенового возраста (табл.8).

Таблица 8

Абсолютный возраст гипабиссальных интрузивных пород
(по валовому составу)

# проб	Порода и место взятия проб	Индекс	K, %	Навеска, из которой определен Ag, г	% воздушно-го аргона	Ag 10 ⁻⁹ г/т	Ag 40 / K 40	Возраст, млн. лет
14	Гранодиорит, р.Итыма	γδK ₂	3,78	70	12,6	15,8	0,0037	65 ₋₄
8	Сиенито-диорит, р.Улья	εδK ₂	3,33	70	18,7	15,3	0,0038	67 _{-3,5}
9	Граносиенит-порфир, р.Урекан	γεπK ₂	5,37	70	42,4	24,6	0,0038	67 ₋₄

По данным определения абсолютного возраста рассматриваемые породы образовались в конце верхнего мела. Возможно, эти данные несколько завышают возраст интрузий из-за более позднего обогащения их калиевым полевым шпатом.

Кварцевые жилы. Единичные кварцевые жилы выявлены на большей части изученной площади. Они отсутствуют лишь на водоразделах рек Дульми - Кекра - Солону. Наиболее часто они встречаются в зонах скопления субвулканических и гипабиссальных интрузий. В пределах четырех участков отмечено значительное сгущение кварцевых жил. Один из них расположен в верховьях р.Гыры (участок Гыры). Кварцевые жилы выявлены на площади 16 км², их длина достигает 30-40 м, ширина - 10-15 м. В основном это скопление кварцевых прожилков, залечивающих узкие линейные зоны трещиноватости субмеридионального направления. Другой находится в среднем течении р.Гыры, на ее водоразделе с р.Отында. Развалы кварца, слагающего 20 жил, выявлены на площади 8 км². Наиболее протяженная жила имеет длину 1,5 км при ширине развалов до 30 м. Средний диаметр глыб 0,5-0,6 м. Кварц залечивает разрывные нарушения широтного и северо-восточного направлений. Третий участок скопления кварцевых жил выявлен в приусьевой части р.Турка в зоне длиной 5 км, шириной 1,5-2 км, протягивающейся от устья реки на северо-восток вдоль побережья моря. Наиболее значительное количество глыб кварца находится в районе отм.382,0 (участок Турка). Протяженность развалов 600 м при ширине 200-300 м. Они образовались, по-видимому, при залечивании кварцем пересекающихся систем мелких трещин. Здесь же встречены четыре жилы протяженностью по 200-300 м каждая при ширине 20-50 м. Одна из них расположена внутри тела гранит-порфиров, три другие залечивают разломы широтного направления. Диаметр глыб достигает 1 м, при среднем 40-60 см. Четвертый участок скопления кварцевых жил расположен в бассейне р.Кекра, в ее левобережье, в 8 км выше устья (участок Кекра). На площади в 20 км² выявлено 25 кварцевых жил, протяженностью от 15 до 300 м, при ширине развалов от 1 до 15 м. Наиболее часто встречаются блоки кварца размером 5x10 см, максимальные - 30x30 см. Размещение жил контролируется разрывными нарушениями, а также дайками граносиенит-порфиров, внутри которых они располагаются. Обычно кварцевые жилы имеют монокварцевый состав, иногда встречаются кварц-карбонатные жилы, значительно реже - кварц-цеолитовые, кварц-флюоритовые, кварцадуляровые. Из рудных минералов иногда встречается убогая вкрапленность пирита, халькопирита, самородной меди, сфalerита, минералов свинца, очень редко золота. Текстура жил массивная, полос-

чата, брекчевая, каркасно-пластинчатая; структура аллотриоморф-нозернистая, гребенчатая, криптокристаллическая.

Гидротермально-измененные породы

Интенсивность разрывной тектоники и многоэтапность проявлений вулкано-плутонического магматизма в районе обусловили широкое развитие гидротермально-метасоматически измененных пород. Площадные гидротермальные изменения на изученной территории представлены ореолами и зонами пород, подвергшихся пропилитизации, аргиллизации, эпидотизации, пиритизации, гематитизации, окварцеванию и небольшими по площади полями вторичных кварцитов.

Процессу пропилитизации в большей степени подвержены лавы среднего состава и их туфы, туффиты. На изученной территории породы фации пропилитов выявлены в левом берегу р.Улья, в бассейне р.Дульми и вдоль побережья Охотского моря. Для них характерно развитие новообразований эпидота, хлорита, серицита, альбита и, в меньшей степени, карбоната, кварца, пирита.

Аргиллизированные породы выявлены в бассейне рек Кадырчан, Кунтакчан, Кекра. Обычно, это обеленные, пиритизированные, породы, в которых полевые шпаты на 50-70% пелитизированы, соссюритизированы, а темноцветные минералы на 50-100% замещены хлоритом, кальцитом. Поля аргиллизированных пород приурочены, как правило, к экзоконтактам субвулканических тел кислого состава. В них, по данным минералогического анализа установлены единичные знаки минералов свинца. Эпидотизированные породы имеют характерный для эпидота фисташково-зеленый цвет. Эпидот составляет до 70% объема породы, остальное приходится на альбит, карбонат, хлорит и пирит. Эпидотизированные породы распространены ограниченно. Выявлены они в междуречье Кулукли, Урекан и в верховьях р.Гыры, где андезиты нацело замещаются хлоритом и эпидотом в зоне размером 130x150 м. Кроме этого, эпидот в виде тончайших прожилков наблюдается обычно по мелким разрывным нарушениям.

Пиритизированные породы выявлены в юго-восточной части исследованной территории, к северо-западу от м.Ханянгда. Пирит составляет в породе 30-40%.

Процесс гематитизации наблюдался в бассейне р.Солону. Гематит придает породам вишнево-красный оттенок. Развивается он за счет темноцветных минералов (авгита, роговой обманки) и при

окислении пирита. В виде мельчайших скоплений в большом количестве гематит присутствует в основной массе лав среднего состава и в туффитах.

Окварцевание развивается обычно по зонам тектонических нарушений, часто в центральных частях зон аргиллизированных пород. Выражается оно в метасоматическом замещении исходных пород агрегатом мелкозернистого кварца, образующего мелкие ветвистые и сетчатые прожилки, линзы и пятнистые скопления неправильной формы. Вблизи разрывных нарушений отмечаются катаклазированные и милонитизированные породы и интенсивное окварцевание. Окварцеванию в большей степени подвержены кислые породы. Кварц заполняет секущие породу трещинки размером до 3 см, а в основной массе образует линзовидные и округлой формы скопления. В породах среднего состава трещины, выполненные кварцем, очень маломощны. По плагиоклазу в измененных породах развивается серидит, реже соссюрит, калиевый полевой шпат часто пелитизирован, роговая обманка и биотит очень часто замещены хлоритом и он образует полные псевдоморфозы по ним.

Вторичные кварциты встречаются довольно редко, приурочены в основном к kontaktам субвулканических и гипабиссальных интрузий с эфузивами, иногда пространственно связаны с разломами. Их поля имеют размеры от 10x20 до 40x50 м, линейные зоны - длину от 10 до 100 м, при ширине от 1 до 10 м. В основном они представлены монокварцевыми и кварц-серицитовыми породами. Зональность пород следующая: неизмененная интрузивная порода - аргиллизированная интрузивная порода - монокварциты (развиваются преимущественно в энд- и экзоконтакте) - кварц-серицитовые кварциты-пропилиты - аргиллизированные интрузивные породы - неизмененные эфузивы. В одном месте (устье р.Кальби) встречены кварц-диаспоровые кварциты. Минеральный состав кварцитов следующий (в %): кварц 70-99, серидит 1-30, диаспор 0-20. Обычно, вторичные кварциты переходят в неизмененные породы через аргиллизированные разности. Пропилиты встречаются крайне редко, ширина их зон не превышает 1-3 м. В них обычно наблюдаются хлорит, кальцит, цеолиты, глинистые минералы. По минеральным ассоциациям вторичные кварциты и пропилиты относятся к субвулканической, по Д.С.Коржинскому, фации глубинности. По данным минералогического анализа, во вторичных кварцитах встречаются редкие знаки халькопирита, пирита, сфалерита, минералов свинца, шеелита. Спектр-розолотометрическим анализом установлено золото. Они так же, как и кварцевые жилы, являются основным объектом опробования на золото.

ТЕКТОНИКА

Рассматриваемый район расположен в юго-восточной части Ульинского прогиба Охотско-Чукотского вулканогенного пояса, наложенного на жесткую глыбу Охотского массива (рис.1). Наличие выходов архейских пород в смежных районах /2/ позволяет предположить неглубокое положение поверхности фундамента. Общая структура территории достаточно сложна и определяется прежде всего интенсивным развитием разрывных нарушений, вулканизма и интрузивной деятельности, ознаменовавшими эпоху мезозойской тектономагматической активизации. Пликативные дислокации в районе отсутствуют. Все вулканогенно-осадочные образования залегают горизонтально или субгоризонтально. Вулкано-тектонические и более простые - вулканические структуры, выделяемые в районе, подразделяются на положительные и отрицательные. К числу крупных положительных вулкано-тектонических структур относятся: Калбинское, Кекринское и Гырбинское сводовые поднятия. Наибольшее из них Калбинское располагается на севере и имеет размеры 30x25 км. Калбинское сводовое поднятие фиксируется периклинальным залеганием пород амкинской и емандинской свит, вмещающих крупное субвулканическое тело липаритов в центре структуры. Сводовый характер ее подчеркивается концентрической системой кольцевых и дуговых разломов. Формирование структуры обусловлено внедрением крупного субвулканического тела липаритов. Аналогичная Гырбинская структура расположена на северо-востоке района в левобережье р.Гыры. Здесь в центре структуры вскрывается часть массива гранодиоритов, внедрение которого, очевидно, и привело к формированию поднятия. Отложения средней и верхней толщ амкинской свиты, локально развитые в периферических частях структуры, имеют слабо наклонные (5-10°) залегания.

Кекринское сводовое поднятие расположено на юге территории, в бассейне р.Кекра. Его центральную часть составляет лакколитообразное изометрическое в плане (20x25 км) субвулканическое тело андезито-дацитов. Обоснованием для выделения этого поднятия послужило уменьшение мощности (иногда до полного выклинивания) отложений нижней и средней толщ амкинской свиты в краевых частях структуры. Поднятие осложнено вертикальными смещениями в периферийской зоне, по разломам различного порядка в виде мелких ступенчатых сбросов. На карте графиков ΔT все три структуры в центральных частях имеют слабо дифференцированное магнитное поле (от -400 до +100 γ), а в краевых частях положительные аномалии (до +5 мТ) дугообразной формы в плане (рис.2).

К числу собственно вулканических структур относятся Ульинский и Унчинский экструзивные купола и более мелкие экзократические постройки -obelischi, некки и реликты жерловин. Более крупный Ульинский экструзивный купол имеет в плане изометрическую форму (10x14 км) и структуру "луковицы", обусловленную вертикальным расположением концентрических зон, сложенных кислыми вулканитами различного облика и ориентированных параллельно контактам. Второй, Унчинский экструзивный купол имеет по своей внутренней структуре много общего, но отличается от последнего меньшими размерами и более продолговатой формой, ориентированной в северо-западном направлении. На карте графиков ΔT обоим куполам соответствуют аномалии магнитного поля до 600-800 γ . Это вызвано, очевидно, существованием здесь высокотемпературного режима, способствовавшего кристаллизации содержащегося в породах железа в виде магнетита. Реликты древних жерловин - такие как экструзивные иглы, обелиски и небольшие неккообразные тела, выполненные лавами и вулканическими брекчиями, являются, не центральными, а более мелкими боковыми жерловинами (паразитическими или субтермиальными) или жерлами вулканов-сателлитов, окружающих обычно главную вулканическую структуру. Вершины крупных вулканических сооружений повсеместно эродированы. По сумме признаков (многочисленные лавовые потоки андезитов и андезито-базальтов, переслаивающиеся с маломощными пластами туфов, пологие углы наклона этих потоков (до 10°), большая мощность этих образований), можно предположить, что излияния лав среднего состава происходили из вулканов щитового типа и стратовулканов. Два наиболее крупных таких вулкана расположены на юго-западе территории (бассейн р.Кекра) и на северо-востоке ее (бассейны рек Мана, Куликли). Вероятно, подобный вулкан был и в бассейне р.Урекан. Центры извержений вулканитов кислого состава (иглы, обелиски, небольшие экструзивные купола), часто практически совмещены с центрами извержений андезитов, что говорит об элементах унаследования в развитии вулканоструктур.

Вулканическая депрессия площадью около 400 км² расположена на северо-востоке района (междуречье Мана и Гыры). Существование ее определяется наличием мощной толщи игнимбритов и туфов кислого состава, имеющих субгоризонтальное залегание. В плане депрессия имеет грубоокруглые очертания. С юго-запада она естественно ограничена наклонно залегающими к ее центру вулканитами средней толщи амкинской свиты. Углы наклона пластов меняются от 5 до 15°. С севера и юго-востока депрессия ограничена системой прямолинейных (Центральный и Прибрежный)

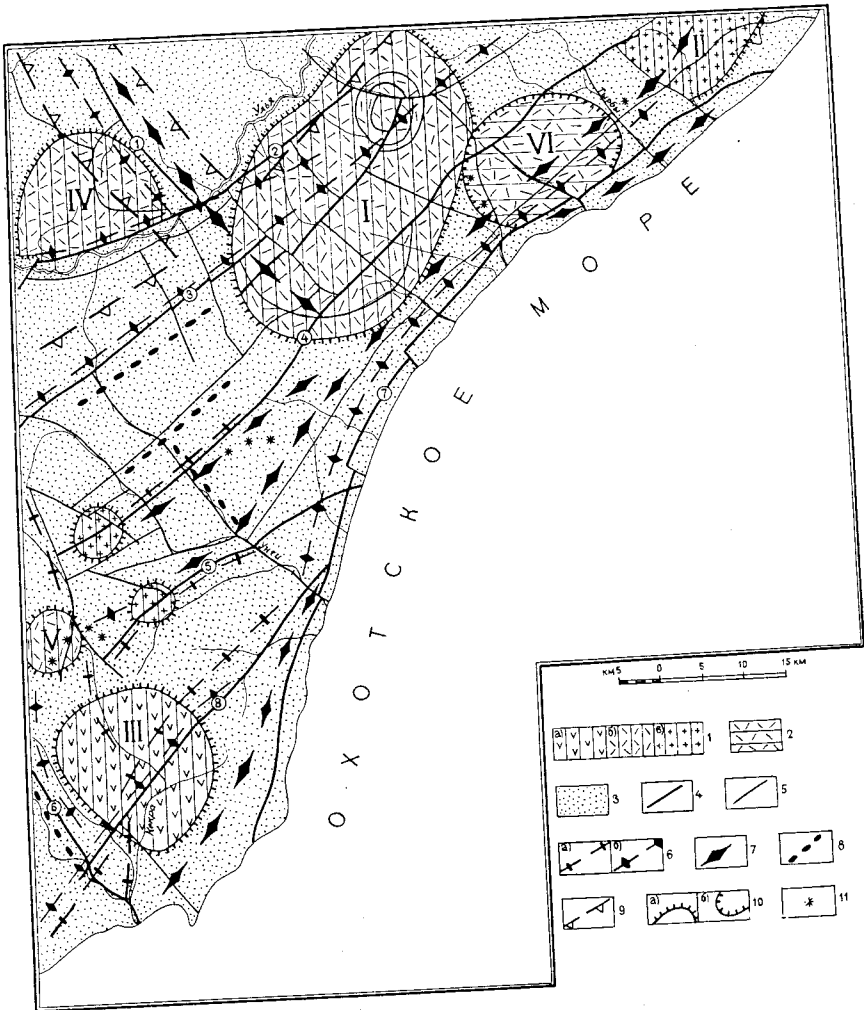


Рис. I. Вулкано-тектоническая схема

Охотско-Чукотский вулканический пояс. I-3 - Ульинский прогиб (юго-восточная часть). I-2 - вулкано-тектонические и вулканические структуры. I - положительные сводные поднятия и экструзивные купола, сформированные: а) субвулканами среднего состава; б) экструзиями и субвулканами кислого состава; в) интрузивными массивами; 2 - отрицательные - вулканическая депрессия, выполненная вулканитами кислого состава. 3 - области развития вулканогенно-осадочных пород мелового, мел-палеогенового возраста, залегающих субгоризонтально. 4-5 - разрывные нарушения: 4 - глубинные разломы (четко выраженные на космических снимках); 5 - второстепенные разломы. 6-8 - осевые линии зон повышенной магматической проницаемости, контролирующие: 6 - меловой вулканизм: а) среднего состава, б) кислого состава; 8 - позднемеловые интрузии; 8 - позднемеловой-раннепалеогеновый вулканизм. 9 - границы зон высоких градиентов силы тяжести (1 мг/км). 10 - границы вулкано-тицетнических и вулканических структур: а) положительных, б) отрицательных жерла и реликты жерла вулканов ранне-позднемелового возраста. На схеме римскими цифрами обозначены: I-III - сводовые поднятия: I - Калбинское, II - Гыбринское, III - Кекринское; IV-V - экструзивные купола: IV - Ульинский, V - Учинский, VI - Гыбринская депрессия. На схеме цифрами в кружках обозначены глубинные разломы: I - Дольбакинский, 2 - Лево-Ульинский, 3 - Право-Ульинский, 4 - Центральный, 5 - Учинский, 6 - Кекринский, 7 - Прибрежный, 8 - Итымский

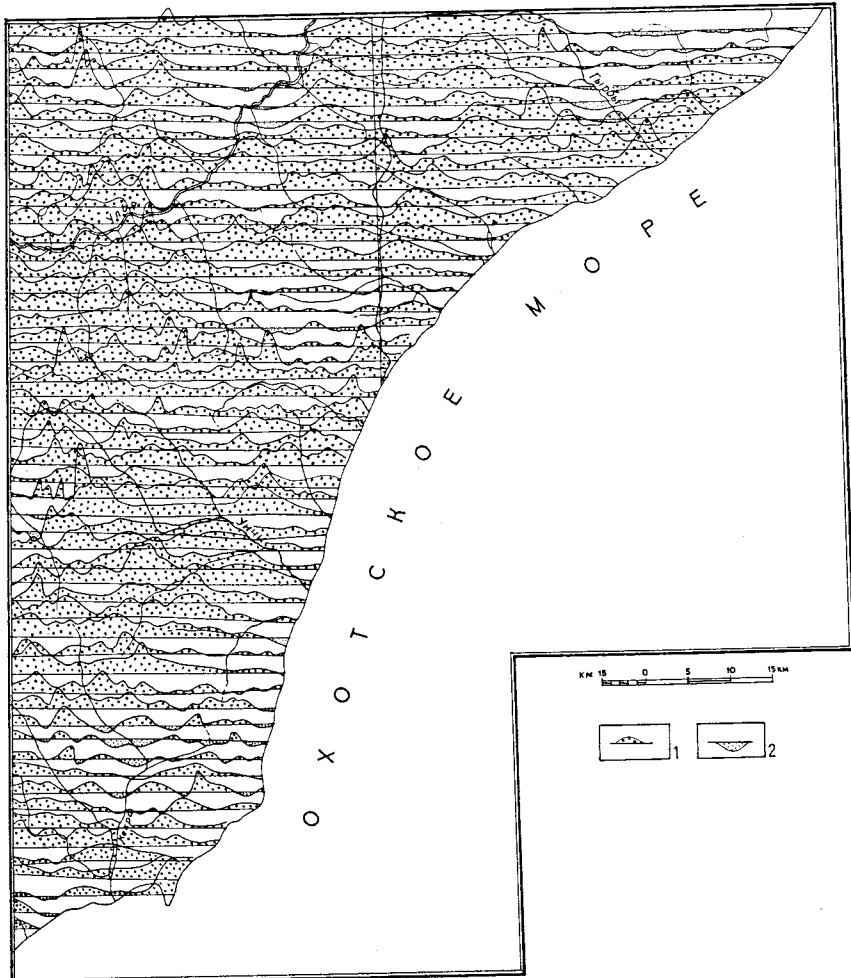


Рис.2. Карта графиков ΔTa
1 - положительные значения; 2 - отрицательные значения

и дугообразных разломов, по которым и произошло опускание внутреннего блока. Образовалась она, вероятно, в результате просадки центральной части вулканического поля, по мере истощения магматического резервуара, питающего вулкан предположительно щитовидного типа, реликты которого сохранились в ее бортах.

Ведущая роль в тектоническом строении района принадлежит разломам. Наиболее крупными структурами района являются две региональные зоны повышенной магматической проницаемости, отраженные в гравиметрическом поле в виде гравиметрической ступени с высокими значениями силы тяжести /25/. Главная зона протягивается вдоль побережья Охотского моря в северо-восточном направлении более чем на 400 км при ширине 40–50 км. Западная ее граница проходит по правому борту долины р. Улья, восточная – по периферии шельфовой зоны. Аналогичная по значимости Дольбакинская зона северо-западного направления шириной 10–15 км также выражена гравиметрической ступенью с высокими значениями силы тяжести (до 2 мГ/км). Эти зоны объединяют глубинные разломы предопределившие общую структуру вулканогенного пояса и обусловившие формирование самостоятельных зон повышенной магматической проницаемости в каждый из выделенных этапов магматической деятельности.

Главные разломы – Право- и Лево-Ульинский, Центральный, Прибрежный и Итымский – ориентированы в северо-восточном направлении параллельно побережью Охотского моря и общему направлению Охотско-Чукотского вулканогенного пояса. Дольбакинский и Кекринский разломы, перпендикулярные им, имеют северо-западное направление. Все они отличаются значительной протяженностью – свыше 50 км и повсеместно маркированы интрузивными телами и жерловыми образованиями. Зоны этих разломов четко дешифрируются на космических снимках, а на местности представлены водораздельными гребнями (в участках, залеченными интрузивными телами) или прямолинейно ориентированными долинами рек и цепочками седловин (в участках развития катаклизитов и гидротермально-переработанных пород, более податливых эрозионным процессам). На карте графиков ΔT эти разломы характеризуются резким изменением характера магнитного поля от +2000 до -400 Га, сдвигами осей магнитных аномалий и цепочками аномалий значительной протяженности. Эти разломы имеют признаки долгоживущих нарушений, что фиксируется по проявлению вдоль них вулканических и интрузивных тел различных вулканических циклов. Так, для Дольбакинского, Право-Ульинского, Лево-Ульинского и Центрального разломов наиболее характерно проявление кислого вулканизма и внедрение интрузивных массивов. Крупных

вертикальных перемещений по ним не обнаружено. Максимальное смещение по Дольбакинскому разлому не превышает 50 м. Прибрежный и Итыминский разломы несомненно имели длительную историю развития. Отсутствие маркирующих горизонтов и специальных геофизических материалов не позволяют однозначно определить их характер. На р.Кулюки вдоль Прибрежного разлома отмечается зона дробления, кругопадающая на юго-восток, мощностью 100-150 м. Она представлена несцементированной тектонической брекчиеи без видимой минерализации. Наибольшие вертикальные перемещения установлены вдоль зоны Кекринского разлома. Суммарная амплитуда вертикальных перемещений по системе ступенчатых блоков, вытянутых в северо-западном направлении в левобережье р.Кивангра, составляет не менее 400 м.

Кроме глубинных вулканических разломов на изученной территории широко развита сеть многочисленных второстепенных разломов, формировавшихся в связи с вулкано-тектоническими движениями вблизи земной поверхности. На геологическую карту вынесены только наиболее крупные из указанных разломов, которые характеризуют основные направления дизъюнктивных нарушений этого пояса. В основном это кольцевые, дуговые и прямолинейные субвертикально ориентированные разломы протяженностью не более 50 км. Кольцевые и дуговые разломы обычно окаймляют свой "энергетический центр" - жерло вулкана, интрузию или часть вулканического разлома, где протекали те или иные высокотемпературные процессы.

Зоны повышенной магматической проницаемости контролируют: раннемеловой-позднемеловой вулканализм среднего состава; позднемеловой вулканализм кислого состава; позднемеловые интрузии гранитоидов; позднемеловой-раннепалеогеновый вулканализм среднего-основного состава. Конфигурация зон предопределена системами сопряженных разломов (трещинами растяжения в земной коре) в каждой из выделенных циклов вулканической и интрузивной деятельности. Зоны повышенной магматической проницаемости, контролирующие ранне-позднемеловой вулканализм среднего состава, приурочены к трем крупным вулканическим разломам: Итыминскому, Ульинскому и Центральному. Разломы эти ориентированы параллельно побережью Охотского моря с юго-запада на северо-восток. По ним и опережающим их трещинам происходили массовые извержения лав и пирокластики среднего и основного состава из аппаратов центрального и трещинного типов, сочетание которых образует крупные поля вулканитов. Эти поля вытягиваются полосами северо-восточного направления вдоль перечисленных выше разломов, где наблюдается сгущение субвулканических образований среднего состава, представленных многочисленными

дайками, силлами и штокообразными телами.

Следующий по времени вулканализм кислого состава использовал для своего проникновения указанные выше главные вулканические разломы, а также перпендикулярные к ним Дольбакинский и Кекринский разломы, ориентированные в северо-западном направлении. Эти зоны при картировании фиксируются по распространению широко развитых субвулканических тел и экструзивных куполов, сложенных породами липаритового, липарито-дацитового и дацитового состава. Выделяются две зоны повышенной магматической проницаемости, контролирующих позднемеловые гипабиссальные интрузии гранитоидов: одна вдоль побережья и разлома Прибрежного, имеющего северо-восточное направление, а другая на левобережье р.Улья, вдоль северо-западного Дольбакинского разлома.

Дайки базальтов и андезито-базальтов позднемелового-раннепалеогенового возраста имеют обычно северо-восточную или северо-западную ориентировку и тяготеют к зонам Право-Ульинского, Центрального и Кекринского разломов.

Шельфовая зона Охотского моря в пределах рассматриваемой площади характеризуется сложноаномальным знакопеременным магнитным полем /27/, аналогичным таковому для прибрежной полосы, а также однородностью гравиметрического поля, что, по-видимому, объясняется продолжением вулканических структур суши в акватории.

В целом для района характерно линейное расположение магматических и туфогенно-осадочных образований при отсутствии складчатых деформаций, что позволяет предположить доминирование расстигающих тектонических напряжений, обусловивших заложение вулканогенного пояса.

Краткая история геологического развития района

Охотско-Чукотский вулканогенный пояс и, в частности, Ульинский прогиб, выделяется как область субазральных вулканических накоплений мелового возраста. История геологического развития района в предшествующие эпохи может быть восстановлена в самых общих чертах, поскольку на изученной территории и в пределах Ульинского прогиба домеловой фундамент почти повсеместно погружен и скрыт под толщей вулканических пород. В юго-западной, крайней части пояса, в бассейне р.Уй обнажаются породы архейского кристаллического фундамента, представленные интенсивно мигматизированными кристаллическими сланцами и гнейсами. Есть основание предполагать, что в пределах Ульинского прогиба домеловой фундамент состоит из аналогичных пород, поскольку в конгломератах

нижних горизонтов амкинской свиты нами отмечались единичные находки валунов и галек гранито-гнейсов. Из этого вытекает, что в геологические эпохи, предшествовавшие возникновению Охотско-Чукотского вулканического пояса, изученный район является областью длительного размыва, в результате которого в эрозионном срезе мелового периода обнажились глубинные зоны гранитизации земной коры. Это подтверждается данными гравиметрических и магнитометрических работ.

Формирование вулканического пояса выражлось в заложении серии разрывов, вероятно, в обстановке режима общего растяжения. Можно предположить, что на начальных стадиях растяжения сформировалась система глубоких впадин, что определило формирование мощной груботерригенной и вулканогенной толщи (Ульинский прогиб). Продукты вулканической деятельности генерируются по крупным вулканическим разломам, образующим протяженные линейные зоны повышенной магматической проницаемости. В процессе нивелировки рельефа, в условиях влажного тропического климата наряду с вулканическим и грубообломочным материалом селевых и речных потоков шло накопление и тонкозернистых озерно-болотных отложений в низменных частях рельефа и аллювиальных образований по рекам.

Начальный этап вулканической деятельности фиксируется образованием толщи вулканитов среднего-основного состава, сопоставимых с отложениями еманринской свиты раннемелового возраста. Особенности структур, связанных с образованием еманринской свиты, не выяснены. Слагающие ее андезиты, андезито-базальты, туфы основного и среднего состава и ассоциирующие с ними вулканогенно-осадочные образования обнажаются, преимущественно в относительно глубоко врезанных речных долинах и перекрыты вулканитами позднемелового возраста. Известно, что вулканизм протекал в субаэральных условиях, а на юго-востоке района существовал довольно обширный бассейн озерного типа. Альб-сеномансское время было, вероятно, периодом некоторого затишья вулканической деятельности. В это время была сформирована толща вулканогенно-осадочных пород – туфоконгломераты, туффиты, туфопесчаники и туфоалевролиты, которые выделяются как нижняя толща амкинской свиты. Переотлагались в основном вулканиты еманринской свиты, но, возможно, часть материала приносилась издалека. Генетически отложения нижней подсвиты амкинской свиты относятся к аллювиальному, болотно-равнинному и озерному типам, что свидетельствует о преимущественно низменном рельефе в этот период. В сеноманское

время вновь начинается активизация вулканической деятельности, что привело к образованию толщи вулканитов среднего и основного состава, отнесенной к средней толще амкинской свиты. На территории работ действовало несколько вулканических аппаратов центрального и трещинного типов, которые в совокупности привели к формированию крупных щитовидных вулканов и стратовулканов и отдельных лавовых полей и вулканических построек. Излияние лав андезитового и андезито-базальтового состава сопровождалось выбросами значительного количества пирокластического материала. Вмещающие породы раннемелового возраста были прорваны многочисленными дайками, преимущественно северо-восточного направления и многоэтажными силлами. Этот этап сопровождается и завершается накоплением толщи туфогенно-осадочных пород аллювиального и озерно-болотного типа, формирующейся в пониженных участках рельефа и в прикратерных частях щитовидных вулканов. Следующий этап относится к позднесеноманскому времени и знаменуется широким развитием вулканизма кислого состава. В этот период были сформированы экструзивные купола и покровы лав и туфов верхней толщи амкинской свиты. Наземный вулканизм сопровождался формированием субвулканических тел кислого состава, а завершался внедрением гипабиссальных гранитоидов. Характерно, что при этом происходит унаследование первично-вулканических структур предыдущего этапа, то есть вулканиты кислого состава часто внедряются по жерловинам вулканов среднего-основного состава. В этот период формируются взаимосвязанные между собой вулкано-купольные структуры, кальдерообразные депрессии, небольшие сводовые поднятия, связанные с внедрением субвулканических тел и ряд более простых вулканических форм: экструзивные иглы, обелиски. В целом, вулканизм сеноманского времени протекал в обстановке растяжения. Дальнейшая история развития района в позднемеловое время не достаточно ясна. Известно только, что в конце позднего мела – в начале палеогена начались излияния базальтов, сформировавших обширные плато, которые сохранились в процессе эрозии в виде небольших реликтов платобазальтов хакаринской свиты. В кайнозойское время тектонические напряжения в земной коре проявились в движениях блокового типа, сыгравших наряду с эрозионно-денудационными процессами основную роль в формировании современного рельефа. Поскольку в докайнозойское время район претерпел неоднократную тектоническую переработку, выразившуюся в образовании многочисленных разломов, то неотектонические смещения проходили по обновившимся старым разломам. В целом, в кайнозое район пред-

ставлял собой слабо подвижную зону. Исходя из анализа развития долины наиболее крупной р.Улья в послепалеогеновое время в районе можно выделить четыре основных цикла общего воздымания относительно уровня моря или понижения базиса эрозии. Величина амплитуды воздымания определяется по глубине полного вреза реки за этот цикл вплоть до установления ее продольного профиля равновесия. Врез первого цикла равен 160 м и измеряется от подошвы хакаринской свиты, залегающей на придолинной площадке выравнивания, до шва II надпойменной террасы, имеющей среднечетвертичный возраст. Второй цикл по величине равен 10-20 м и соответствует времени, равному промежутку между самаровским и зырянским оледенением ($Q_{II}^1-Q_{II}^2$). Поднятие третьего цикла оценивается в 6-10 м, что соответствует высоте II надпойменной террасы ($Q_{II}^2-Q_{III}^2$). И последний, четвертый цикл поднятия, проявившийся в современное время, превышает высоту I надпойменной террасы, равной 10 м, поскольку эрозионный врез р.Улья продолжается в настоящее время. Указанные циклы соответствуют изменению уровня Охотского моря, что вполне допустимо, поскольку его формирование проходило в тылу современной вулканической дуги. Наряду с общим воздыманием относительно уровня моря в новейшее время в районе проходили дифференцированные движения относительно друг друга отдельных групп блоков (более подробное описание их дано в главе "Геоморфология").

ГЕОМОРФОЛОГИЯ

Современный рельеф описываемой территорией представляет собой совокупность тектоногенных, вулканогенных, выработанных и аккумулятивных поверхностей (рис.3).

К тектоногенным поверхностям рельефа относятся склоны, предопределенные разломами. Эти склоны наиболее четко выражены вдоль разломов, ориентированных параллельно побережью и вдоль рельефообразующих разломов, ограничивающих долину р.Улья. Склоны имеют крутизну 30-50°, занимают пространства шириной от 200 до 1000 м, дешифруются на космических снимках. У склонов четко выражена деструктивная часть, представленная крутонаклонной, местами почти вертикальной стеной, сложенной плотными крепкими разностями пород (фрагменты плоскостей смесятеля). Длительность формирования тектоногенных поверхностей рельефа: неоген-голоцен ($N-Q_{IV}$).

Вулканогенные поверхности рельефа представлены базальтовыми плато позднемелового-

палеогенового возраста (K_2-P), сохранившимися в центральной части исследованной территории, на водоразделах рек Улья и Унчэ. Поверхности имеют ступенчатый продольный профиль. Высота ступени изменяется от первых метров до десятков метров, ширина - от первых десятков до первых сотен метров. Рыхлый материал с поверхности представлен в основном мелкоземом, участками развиты протяженные крупноглыбовые развали. Поверхность, как правило, покрыта кустарниковой растительностью.

Среди выработанных поверхностей рельефа выделяются структурно-денудационные и денудационно-эрзационные поверхности рельефа. Широкое развитие структурно-денудационных поверхностей рельефа обусловлено сложным геологическим строением и различными, резко контрастными физическими и химическими свойствами горных пород, слагающих территорию района.

В пределах структурно-денудационной поверхности неоген-голоценового возраста различаются поверхности, предопределенные препарировкой интрузивных тел, экструзивных куполов и субвулканических тел кислого состава, поверхности, образовавшиеся в результате препарировки субвулканических тел среднего состава и поверхности, образовавшиеся в результате препарировки горизонтально залегающих вулканических покровов, силлов и вулканогенно-осадочных пород.

1. Поверхности, предопределенные препарировкой интрузивных тел, экструзивных куполов и субвулканических тел кислого состава, проявлены на исследованной территории повсеместно. Эти поверхности имеют форму куполов и округловоршинных гор с преобладанием склонов средней крутизны и крутых. Продольные профили склонов, как правило, выпуклые, поверхность склонов закурумлена. Курумы образованы глыбами и щебнем интрузивных пород. Длительность формирования этих поверхностей: неоген-голоцен ($N-Q_{IV}$).

2. Поверхности, образовавшиеся в результате препарировки субвулканических тел среднего состава, проявлены в южной части исследованной территории, в бассейне р.Кекра. Эти поверхности имеют форму островершинных гор с крутыми склонами, часто сопровождающимися скальными выходами пород. Длительность формирования склонов: неоген-голоцен ($N-Q_{IV}$).

3. Поверхности, образовавшиеся в результате препарировки горизонтально залегающих вулканических покровов, силлов и вулканогенно-осадочных пород развиты на исследованной территории довольно широко. Профиль поверхности в целом полого-выпуклый,

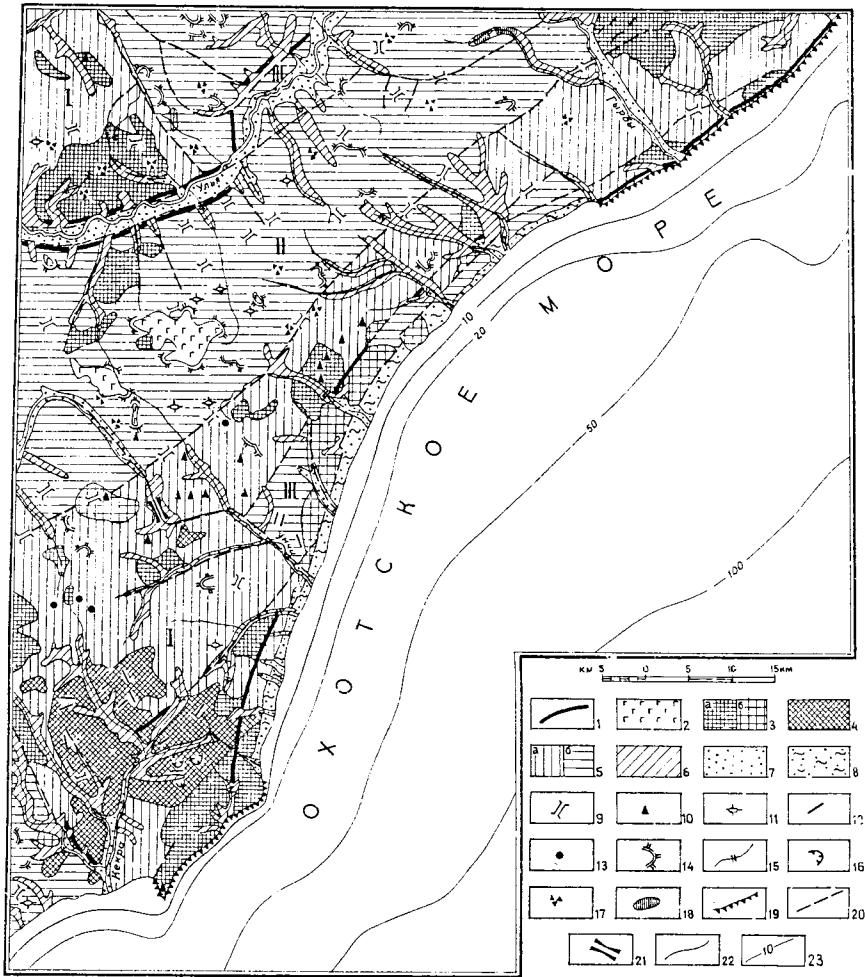


Рис.3. Геоморфологическая схема

Тектонические поверхности рельефа: 1 - склоны, предопределенные разрывными нарушениями, крутые (неоген-голоцен). Вулкановые плато (поздний мел-палеоцен). Структурно-денудационные поверхности (неоген-голоцен), предопределенные препарировкой: 3 - кислого состава; а) крутые; б) средней крутизны; 4 - субвулканических тел среднего состава, крутые; 5 - горизонтально залегающих эрозионных (поздний плейстоцен-голоцен); 6 - склоны речных долин средней крутизны. Акумулятивные поверхности рельефа (средний плейстоцен-голоцен): 7 - пойма и надпойменные речные террасы, нерасчлененные; 8 - дайда и морские террасы нерасчлененные. Формы ционные останцы; II-14 - отпрепарированные: II - интрузии и субвулканы; I2 - дайки, I3 - некки и экструзивные иглы; I4 - субгоризонтальные пласти (ступени), I5 - водопады, I6 - цирки, кары, чие: 20 - тектонические разрывы, предопределяющие линейное расположение элементов рельефа, 21 - участки сужения речных долин, 22 - геоморфологические границы, 23 - изобаты и их отметки.

часто ступенчатый с пологими и средней крутизны склонами. Ступенчатость связана с различной противодуновационной устойчивостью лав среднего состава и разделяющих их туфов и туфритов. Рыхлый материал на поверхности представлен в основном мелкоземом, участками развиты протяженные крупноглыбовые развалы. Из элементарных форм рельефа здесь широко развиты отпрепарированные субгоризонтальные пласти (ступени) и денудационные останцы.

К денудационно-эрэзионным поверхностям рельефа относятся склоны речных долин. Склоны имеют прямой продольный профиль, иногда слабо выпуклый и среднюю крутизну. Поверхности сильно расчленены, покрыты щебнем и глыбами, часто в значительной степени заросли (в центральной части исследованной территории). Длительность формирования склонов речных долин: поздний плейстоцен-голоцен ($Q_{III}-Q_{IV}$).

Среди аккумулятивных поверхностей рельефа на исследованной территории выделяются поверхности, созданные речной аккумуляцией и морской аккумуляцией.

К поверхностям, созданным речной аккумуляцией, относятся надпойменные террасы нерасчлененные среднечетвертичного-голоценового возраста ($Q_{III}-Q_{IV}$), развитые в долинах всех рек исследованной территории. Ширина этих поверхностей достигает 2 км (в долине р.Улья). Поверхности представлены поймой и I, II, III, IV надпойменными террасами (на геоморфологической схеме пойма и надпойменные террасы не расчленяются).

Пойма имеет ширину до 1300 м и бугристую поверхность, изрезанную многочисленными протоками с сухими руслами, которые заполняются водой во время паводков. Высота уступа 1-2 м. Возраст поймы определяется как современный. Почти во всех крупных долинах рек отмечаются обширные наледные поляны, приуроченные к участкам перехода эрозионной части профиля рек к аккумулятивной. Наледные поляны достигают ширины 1,3 км, длина 8-10 км. Днища долины на этих участках часто понижены до уровня прирусовых отмелей и в этом случае на значительной площади лишены растительного покрова и выстланы галечниками. Повышенные участки задернованы и покрыты угнетенным кустарником (карликовая бересклет, голубика).

I надпойменная терраса сохранилась фрагментарно в долинах всех рек района, но более широко она распространена в долинах рек Кекра, Унчэ, Турка. Ширина террасы колеблется от 0,2 до

0,8 км; поверхность ее мелкобугристая, с западинами, местами заболочена и заросла; наклонена в сторону русла. Тыловой шов выражен слабо. Бровка четкая. Уступ бровки высотой от 2 до 7 м большей частью хорошо обнажен. Терраса наполовину сложена аллювиальными образованиями, у подошвы обнажаются коренные породы. Возраст I надпойменной террасы на основании палинологических данных устанавливается как позднечетвертичный (вторая половина эпохи).

II надпойменная терраса прослеживается в долинах почти всех рек исследованной территории, наиболее широко она развита в долинах рек Кекра, Кадырчан, Турка, Отында. Ширина террасы изменяется от 0,01 до 0,5 км, поверхность мелкобугристая, пологонаклонная ($1-2^{\circ}$) в сторону русла; часто заросла, на отдельных участках заболочена. Тыловой шов, как правило, выражен четко. Бровка террасы округлая, разрушенная. К I надпойменной террасе или пойме она переходит довольно резко, в виде 4-8-метрового уступа. Возраст террасы устанавливается как позднечетвертичный (средняя часть эпохи).

III надпойменная терраса встречается фрагментами в долинах рек Улья, Отында, Турка. Наиболее широко она развита в долине р.Улья. Ширина ее поверхности колеблется от 0,1 км в долине р.Турка до 0,5 км в долине р.Улья; протяженность от 1,5 км на реках Турка и Отында до 4 км на р.Улья. Цоколь террасы сложен коренными породами, его высота колеблется от 0,5 м (реки Отында, Турка) до 20 м (р.Улья). Мощность аллювиального плаща составляет 3,5-4 м. Поверхность террасы ровная, сравнительно плоская. Терраса имеет ясно выраженный тыловой шов и четкую бровку. Возраст террасы палинологическим анализом определен как верхняя часть среднечетвертичного времени.

IV надпойменная терраса развита в долине р.Улья. Высота ее достигает 50 м, высота цоколя 45 м. Поверхность террасы пологонаклонная ($2-3^{\circ}$), плоская. Бровка четкая. Уступ повсеместно крутоя, нередко обрывистый. Тыловой шов иногда выражен неясно, замаскирован делювиальными отложениями. Возраст IV надпойменной террасы датируется как среднечетвертичный (нижняя часть эпохи).

К поверхностям, созданным морской аккумуляцией, относятся лайда и морские террасы среднеплейстоценового-голоценового возраста, развитые по побережью Охотского моря. Ширина этих поверхностей достигает 3 км. Поверхности представлены лайдой и I, II, III террасами (на геоморфологической схеме лайда и террасы не расчленяются).

Лайда представлена пляжами и первым морским валом, вытянутыми узкой полосой вдоль побережья, расширяясь в лагунах до

1,5 км. Максимальная ширина вала, отделяющего лагуну от моря, - 200 м. Узкий пляж (20-30 м) в северо-восточной и южной частях исследованной территории, открывается полностью только во время отлива. Пляж настолько узкий, что не предохраняет кореной берег от абразии.

В приусьевой и устьевой частях долин рек Кекра, Унчэ, Урекан I надпойменная терраса реки на побережье переходит в 6-10-метровую морскую террасу среднеплейстоценового-голоценового возраста. Поверхность террасы плоская, местами заболоченная, с четко выраженным тыловым швом.

В приусьевой и устьевой частях долины р.Кекры II надпойменная терраса реки на побережье переходит в 14-метровую морскую террасу описываемого возраста. Поверхность террасы ровная. К пляжу и первому морскому валу терраса спускается крутым незадернованным уступом. Морская терраса среднеплейстоценового-голоценового возраста широко распространена в восточной, юго-восточной частях исследованной территории между устьем р.Урекан и м.Ханянгда.

25-30-метровая высокая морская терраса прослеживается в виде почти непрерывной полосы шириной от 0,3 до 0,8 км по побережью Охотского моря от устья р.Турка до р.Кулюкли. Поверхность террасы плоская или микробугристая, почти горизонтальная, как правило, заболоченная. Описываемая терраса либо обрывается к морю и морскому пляжу 20-метровым уступом, либо сложенным уступом с четко выраженным тыловым швом соединяется с более низкими морскими террасами. Возраст террасы, согласно геолого-геоморфологическим признакам и данным палинологического анализа устанавливается как среднечетвертичный (верхняя часть эпохи).

На основании анализа вышеописанных форм и типов рельефа в исследованном районе выделяются области интенсивных положительных новейших движений, области слабых положительных новейших движений и относительно стабильные области.

Области интенсивных положительных новейших движений расположены на северо-западе исследуемой территории, на левобережье р.Улья и в прибрежной части территории, в бассейнах рек Гыры, Турка, Кекра, охватывают верховья р.Мана, Кулюкли, Урекан, среднее течение р.Унчэ. Абсолютные высоты наиболее повышенных участков в пределах областей 1000-1400 м, относительные превышения пространств между речий над днищами долин составляют 600-1100 м. Для областей интенсивных положительных новейших движений характерен сильно расчлененный рельеф с гребневидными водо-

разделами, резкое преобладание крутых открытых склонов, V-образные долины водотоков, участками с ущельями. Русла ручьев имеют ступенчатый продольный профиль и сопровождаются водопадами. Река Унчэ в пределах области интенсивных положительных новейших движений имеет узкую долину с мелкими реликтами цокольных террас, порожистое русло, по которому встречаются останцы. В области интенсивных положительных новейших движений на границе с областью слабых положительных новейших движений (среднее течение р.Унчэ) отмечается резкое сужение днища долины, увеличивается крутизна склонов, почти полное отсутствие аккумулятивных поверхностей рельефа. Во всех реках этих областей по берегам прослеживаются обрывы высотой от 10 до 70 м. На побережье характерно развитие абразионных уступов. Аккумулятивные четвертичные образования в этой области обычно отсутствуют или развиты на незначительной площади и имеют очень малую мощность. Здесь выделяется преимущественно комплекс тектоногенных, структурно-денудационных и денудационно-эрэзионных поверхностей с крутыми и средней крутизны склонами.

Области слабых положительных новейших движений находятся на севере, на левобережье р.Улья и в центральной части исследованной территории. Наиболее распространены абсолютные высотные отметки до 900 м, относительные превышения составляют 400-500 м. В их пределах сформировался расчлененный рельеф массивных гор с останцовыми высотами, с широко развитыми склонами средней крутизны, участками - ступенчатыми. Четвертичные аккумулятивные образования имеют небольшую мощность и ограниченную площадь распространения. В областях слабых положительных новейших движений выделяется комплекс вулканогенных структурно-денудационных и денудационно-эрэзионных поверхностей с пологими и средней крутизны склонами.

Области относительно стабильные находятся на северо-западе, вдоль долины р.Улья, вдоль побережья Охотского моря и в юго-западной части исследованной территории. Области характеризуются умеренно или слабо расчлененным рельефом с округловершинными горами, с широкими пологоволнистыми водораздельными поверхностями, с относительно пологими, реже средней крутизны открытыми или залесенными склонами. Преобладающие абсолютные отметки высот в этих областях составляют 400-600 м, относительные превышения - 100-300 м. Аккумулятивные образования сравнительно большой мощности распространены на значительных пространствах. В пределах относительно стабильных областей распространены структурно-денудационные, денудационно-эрэзионные и аккумулятивные поверхности рельефа.

Описанные выше области характеризуются различными денудационными процессами, формирующими рельеф и определяющими условия россыпнообразования. С этой точки зрения области интенсивных положительных новейших движений наименее благоприятны для образования практически всех видов россыпей.

В пределах относительно стабильных областей аналогичный процесс и сходные условия существуют в верховьях рек и речек. Что же касается среднего течения и низовьев, то здесь эрозионные процессы замедлены, преобладает денудация. При благоприятных условиях и наличии источников сноса полезных минералов возможно формирование погребенных россыпей.

Наиболее благоприятной для формирования россыпей, опять же при наличии источника сноса, является область слабых положительных новейших движений, так как продольный профиль равновесия реки находится в стадии выравнивания, что способствует обогащению аллювия тяжелыми компонентами.

ПОЛЕЗНЫЕ ИСКОПАЕМЫЕ

Исследованная площадь находится в пределах Охотско-Чукотского вулканогенного пояса. В нем развиты месторождения и рудопроявления золота, серебра, олова, ртути, меди, молибдена. В Ульинском прогибе, являющимся его частью, ведущим полезным ископаемым является золото.

На рассматриваемой площади обнаружены проявления коренного золота, полиметаллов, установлены шлиховые ореолы золота, минералов свинца, шеелита, единичные знаки сфалерита, молибденита, шеелита, киновари, золота, аргентита, минералов меди.

МЕТАЛЛИЧЕСКИЕ ИСКОПАЕМЫЕ

Цветные металлы

Медь

Медное оруденение выявлено в пределах свинцово-цинкового проявления, локализующегося в хлорит-эпидотовых метасоматитах. Сюо представлено халькопиритом, составляющим 5-10% рудных минералов. Самородная медь, халькопирит, малахит установлены в единичных знаках в убогосульфидных золотоносных жилах на участках Гыры и Кекра. Редкие знаки халькопирита и самородной меди встречаются в шлихах, отмытых из аллювия рек Кальби, Кивантра.

Источниками сноса минералов в аллювии являются убогосульфидные кварцевые жилы. Рассмотренные проявления медной минерализации весьма незначительны, и, по-видимому, представляют лишь минералогический интерес.

Свинец, цинк

Выявлено одно свинцово-цинковое рудопроявление и три шлиховых ореола минералов свинца.

Проявление (I-5,I) выявлено в верховьях р.Гыры В.Н.Фроловым в 1976 г. /23/. На его площади развиты андезиты средней подсвиты амкинской свиты и липариты верхней подсвиты амкинской свиты нижне-верхнемелового возраста. Они прорываются субвуликаническими дайками липаритов, гипабиссальными дайками граносиенит-порфиров. Оруденение локализуется в зоне (размер 130x250 м) катаклизированных хлорит-эпидотовых метасоматитов, развивающихся по андезитам. Галенит и сфалерит образует вкрапленность, местами переходящую в массивные свинцово-цинковые руды, состоящие на 40-45% из галенита, на 15-20% из сфалерита, на 10-15% из пирита и на 5-10% из халькопирита. В рудах присутствует серебро в количестве от 0,1 до 10 г/т. Запасы руд, подсчитанные В.Н.Фроловым по кат. С₂, следующие: свинец - 25133 т, цинк - 5152 т, серебро - 19,5 т. Проявление является перспективным для поисков полиметаллического оруденения, материалы для ведения детальных работ переданы по акту ДВТГУ.

Шлиховой ореол (Ш-I,I) в верховьях р.Ныколмы площадью 104 км² содержит редкие знаки галенита и церуссита, выявленные в 106 шлихах из 120 отобранных.

Шлиховой ореол (У-2,I) площадью 18 км² находится в среднем течении р.Итыма. Редкие знаки вульфенита установлены в 16 про-бах из 25.

Шлиховой ореол (I-5,3) площадью 16 км² расположен в верховьях р.Гыры. Редкие знаки галенита, пироморфита, вульфенита, а также сфалерита, халькопирита, золота встречены в 15 шлихах из 17.

На остальной площади галенит, самородный свинец, вульфенит, пироморфит, церуссит, сфалерит встречаются в единичных знаках в аллювии водотоков. Источниками сноса минералов являются аргиллизированные породы, кварцевые жилы с убогой вкрапленностью минералов свинца, сфалерита. По-видимому, лишь в пределах ореола минералов свинца в верховьях р.Ныколмы можно ожидать более или менее значительные концентрации свинца и цинка, так как ореол в

верховьях р.Гыры охватывает кварцевые жилы с убогой вкрапленностью минералов свинца, а в пределах ореола в среднем течении р.Итыма геологическая ситуация не позволяет надеяться на выявление значительных концентраций свинцово-цинковых руд.

Редкие металлы

Молибден

Редкие знаки молибдена встречены в четырех шлихах в аллювии рек Гыры, Кулюкли, Дольбаки. Источники сноса не выявлены, находки имеют лишь минералогический интерес.

Вольфрам

Шлиховой ореол шеелита (I-6,I) площадью 16 км² расположен в верховьях р.Отында. Редкие знаки шеелита установлены в 8 шлихах из II. На остальной площади шеелит встречается очень редко в единичных знаках. Источниками сноса являются вторичные кварциты серicitовой фации, в которых минералогическим анализом определены единичные знаки шеелита. Наибольший интерес для поисков вольфрамового оруденения представляет площадь шлихового ореола.

Ртуть

Единичные знаки киновари встречены в шести шлихах, из которых четыре отмыты на крайнем юго-западе района. Источники сноса минерала не установлены. Найдки представляют лишь минералогический интерес.

Благородные металлы

Золото, серебро

На изученной площади установлено три рудопроявления золота и два шлиховых ореола.

Рудопроявление Турка (П-5,I) расположено в приусտевой части р.Турка, в районе выс.382,0. Его площадь 6 км². Выявлено в 1974 г. Шпак Н.С. В его пределах развиты породы амкинской свиты нижне-верхнемелового возраста, представленные липаритовыми лавами и мелкообломочными туфами, дацитовыми туфами, мелкообломочными и лапиллиевыми, андезитовыми лавами и туфами,

мелкообломочными и лапиллиевыми туффитами. Залегание пород субгоризонтальное. Они прорваны субвуликаническими интрузиями андезитов и липаритов, гипабиссальными - гранитов - гранодиоритов, гранит-порфиров и граносиенит-порфиров. Интрузивные породы имеют позднемеловой возраст. Эффузивные образования интенсивно ороговикованы в зоне 300-500 м, повсеместно эпидотизированы. В зоне развития кварцевых жил породы аргиллизированы, импрегнированы пиритом. Проявление расположено на пересечении поперечным разломом зоны разломов, протягивающихся вдоль берега Охотского моря.

На участке выявлены кварцевые жилы длиной от 10 до 300 м, шириной от 0,2 до 1 м, зона интенсивного окварцевания размером 500x200 м. Кварц белый, желтоватый кавернозный, чаще всего мелко-кристаллический массивный, иногда халцедоновидный, слабо полосчатый. Жилы часто имеют субширотное направление.

По данным минералогического анализа в одной из проб, отобранный из кварца, содержится 39 знаков золота, в других двух - по одному знаку, кроме золота установлены редкие знаки пирита, халькопирита, галенита, вульфенита, сфалерита, барита, флюорита. Распределение золота неравномерное. Спектролитометрическим анализом определены следующие содержания золота в кварце (в г/т): в 2 пробах - 3-6, в 4 - 1-3, в 16 - 0,1-0,7, в 41 - 0,02-0,07. Пробирным анализом золото установлено в 10 пробах в количестве 0,5 г/т, серебро - в 15 пробах - 3 г/т и в 2 - 5,8 г/т. Содержания выше 1 г/т встречаются в разных жилах, не образуя скоплений.

Проявление относится к золото-сфалерит-галенитовому минеральному типу. Значительные параметры кварцевых жил позволяют считать рассматриваемую площадь перспективной для дальнейших поисков металла. Проявление передано по акту ДВТГУ для ведения дальнейших поисково-разведочных работ.

Рудопроявление Кулюкли (П-2,I) площадью 16 км² расположено в верховьях р.Кулюкли. Выявлено Д.И.Гусевым, обследовано В.Н.Бодловским в 1977 г. (геологи ДВТГУ) /10/. В его пределах развиты породы амкинской свиты нижне-верхнемелового возраста, представленные андезитовыми лавами и туффитами. Залегание пород субгоризонтальное. Они прорваны мелкими субвуликаническими интрузиями липаритов и андезитов позднемелового возраста. На участке выявлены золотоносные кварцевые, кварц-карбонатные, адуляр-карбонат-кварцевые жилы и обильное кварцевое прожилкование и окварцевание в зоне длиной 600 м, шириной до 200 м. Кварц белый, серый, мелкокристаллический массивный, иногда полосчатый. Жилы имеют субмеридиональное и северо-восточное направление.

ления. Максимальные содержания золота 270 г/т (штуфная пробы с поверхности) и 38,0 г/т (бороздовая пробы из канавы) при средних 12-13 г/т. Проявление относится к убогосульфидному минеральному типу, рекомендуется для дальнейших поисков золота.

Рудообразование Гыры (I-5,2) площадью 50 км² расположено в левобережной части р.Гыры и на ее водоразделе с р.Отында. Выявлено в процессе геологической съемки /20/, Г.М.Ивановым в 1974 г. Дальнейшие исследования проводились В.Н.Фроловым. На его площади развиты андезиты и липариты амкинской свиты нижне-верхнемелового возраста, прорываемые дайками липаритов, дайками и штоками гранодиоритов и граносиенит-порфиров. Проявление находится в зоне разломов северо-восточного направления. Выявлено 127 кварцевых жил, 70% которых золотоносны. Протяженность жил от 20 до 300 м, мощность от 0,1 до 2 м. Наибольшее количество жил, в том числе и с высоким содержанием металла, сосредоточено на участках Нораты, Гыры, Верхний, расположенных в западной, центральной и восточной частях рудопроявления. Протяженность жил от 20 до 300 м, мощность от 0,1 до 2 м. Жильные тела сложены серым, белым, иногда аметистовидным кварцем. Встречается также халцедоновидный, полосчатый кварц. Характерные текстуры кварца: полосчатая, массивная, друзовидная. Минералогическим анализом в кварцевых жилах установлено золото (как правило, по I-2 знака в пробе, лишь на участке Нораты - 87 знаков в одной пробе), а также единичные знаки галенита, сфалерита, халькопирита, пирита, англезита, пироморфита. Золото чешуйчатое, дендритообразное, комковатое, размером от 0,01 до 0,5 мм, его пробы меняются от 600-640 до 680-700. Содержания золота по данным пробирного анализа меняются от 0,1 до 20 г/т при средних содержаниях 5-7 г/т, серебра - от 0,1 до 100 г/т при средних 10-20 г/т. Проявление относится к золото-сфалерит-галенитовому минеральному типу. Запасы золота и серебра, подсчитанные В.Н.Фроловым по кат.С₂, следующие: золото - 4 т, серебро - 43,5 т. В силу значительного количества жил и высоких содержаний золота проявление является перспективным для поисков коренного золота и передано по акту ДВГУ для ведения дальнейших поисковых работ.

Рудообразование Кекра (VI-I,2) расположено на левом берегу р.Кекра, в 8 км выше ее устья, его площадь 20 км². Выявлено в 1976 г. М.А.Шлосбергом при геологической съемке /20/. На его площади развиты горизонтально залегающие нижне-, верхнемеловые породы средней подсвиты амкинской свиты. Они представлены покровами андезитовых лав и туфов с маломощными

прослойками туфитов, которые прорваны субвуликаническими телами андезитового, трахиадцитового состава, дайками и штоками граносиенит-порфиров, штоком диоритов. Размещение интрузивных тел контролируется разрывными нарушениями северо-восточного направления. В структурном отношении участок расположен на незначительном удалении от интрузии гранитов-гранодиоритов, протягивающихся вдоль берега моря от м.Энкан до устья р.Итыма. Кварцевые жилы развиты вдоль разломов северо-восточного направления, а также внутри тел граносиенит-порфиров, главным образом в западной части участка. Их длина - до 500 м, мощность - 10-50 см.

Кварц белый, серый, желтоватый массивный гребенчатый мелко-, среднекристаллический, иногда встречается коломорфный полосчатый.

Золото обнаружено только в кварцевых жилах.

По данным спектрозволотометрического анализа содержание 20-30 г/т установлено в одной пробе, 10-20 г/т - в одной пробе, 6-10 г/т - в 5 пробах, 3-6 г/т - в 14 пробах, 1-3 г/т - в 5 пробах, десятые г/т - в 67 пробах.

Минералогическим анализом золото в количестве 10,6 и 3 знаков установлено в трех протолочках, совместно встречаются редкие знаки аргентита, халькопирита, меди, малахита, сфалерита, галенита, церуссита, вульфенита, пироморфита, англезита, ковелина, пирита, гематита, эпидота, барита, граната. Результаты пробирного анализа следующие (в г/т): золото - 0,4; 0,3; 0,6; 0,2; 0,9; сл.; сл.; 0,7; 0,3; 0,3; сл.; 0,6; 2,3; серебро - 2,5; 1,0; 2,0; 45,0; 193,0; 3,7; 4,5; 17,4; 1,4; II,5; 16,5; 24,0; 3,4.

Наибольший интерес представляет западная часть площади, в пределах которой сосредоточены пробы с максимальными содержаниями золота. Проявление относится к золото-сфалерит-галенитовому минеральному типу, рекомендуется для постановки детальных поисково-разведочных работ. За пределами рассмотренных рудопроявлений золото фиксируется спектрозволотометрическим анализом в семи маломощных разрозненных кварцевых жилах (длина до 5 м, мощность до 10 см) в содержаниях, не превышающих 0,6 г/т. Их общей чертой является структурная приуроченность к зонам, насыщенным субвуликаническими гипабиссальными интрузиями.

Шлиховой ореол (IV-3,I) расположен в приустьевой части р.Унчэ, его площадь 7 км². Содержание золота в шлихах меняется от 1 до 5 знаков (встречено в 7 шлихах из 10), в единичных знаках встречается вульфенит, пироморфит. Золото желтое, окатанное, комковатое, его размеры от 0,1 до 0,9 мм. Источниками сноса ми-

нерала в аллювий являются кварц- прожилковая зона с незначительным количеством металла (0,4–0,6 г/т по данным спектролитометрического анализа) и аллювиальные образования надпойменной террасы, содержащие единичные знаки золота. Для поисков россыпного золота ручьи неперспективны из-за небольшой ширины их долин, значительного уклона продольного профиля.

Шлиховой ореол (ЛУ-1, I) выявлен в левых притоках р.Кекра, в 8 км выше ее устья, его площадь 20 км². Золото установлено в 15 шлихах из 25. Золото светло-желтое, окатанное и полуокатанное, лепешковидное, пластинчатое, размером от 0,1 до 1,2 мм. Шлихи содержат единичные знаки галенита, вульфенита, пироморфита, сфалерита, халькопирита, шеелита. Источником сноса минерала в аллювий являются золотоносные кварцевые жилы участка Кекра. Для поисков россыпей долины ручьев неперспективны из-за их малых параметров, значительного уклона продольного профиля.

На остальной площади золото и аргентит в количестве 1–2 знаков встречается в аллювии водотоков, дренирующих зоны, насыщенные субвуликаническими и гипабиссальными интрузиями.

Знаки золота в единичных пробах встречены в морских аллювиальных отложениях от устья р.Турка до м.Ханянгда. Выявлено два шлиховых потока золота протяженностью 4 и 5 км.

СТРОИТЕЛЬНЫЕ МАТЕРИАЛЫ

В качестве строительных материалов могут быть использованы изверженные и обломочные породы.

Извещенные породы

Гранитоиды образуют крупноглыбовые развалы и коренные выходы, разбиты трещинами отдельности на блоки, размером 2–5 м в попечнике, пригодны к использованию в качестве бутового камня. Породы среднекристаллические массивные, слабо выветрены. Основная часть коренных выходов располагается вдоль берега моря, поэтому их разработка и транспортировка очень удобна и рентабельна. Физико-механические свойства гранодиоритов следующие: удельный вес – 2,79 г/см³, объемный вес сухих образцов (в г/см³) – 2790, водопоглощение – 0,4%, предел прочности при сжатии (в кг/см²) в насыщенном водой состоянии – 1520–1870. По заключению специалистов завода РОСНИИМС камень исследованных пород является плотным, прочным и морозостойким, марка I200. Эффузивные породы района сильно трещиноваты, образуют мелкие остроугольные глыбы и

могут использоваться только в качестве щебня. Физико-механические свойства эффузивных пород следующие: удельный вес (в г/см³): 2,67, объемный вес сухих образцов (в г/см³) – 2670, водопоглощение – 0,2%; предел прочности при сжатии (в кг/см²) в насыщенном водой состоянии – 1800,0. По заключению специалистов завода РОСНИИМС камень исследуемых пород является плотным, прочным и морозостойким, марка I200.

Обломочные породы

Галька, гравий

Наиболее значительные запасы гальки и гравия отмечены на морском побережье в полосе от м.Ханянгда до устья р.Уerekан (У-3, I). Высота полосы меняется от 2 до 60 м, длина 42 км, ширина – до 2 км. Галька и гравий представлены в основном местными породами, находятся примерно в равных количествах. Галька имеет уплощенную форму, хорошо окатана, ее размер не превышает 5–15 см. Запасы гальки и гравия составляют несколько миллионов кубических метров. Их эксплуатация не требует вскрышных работ. Испытания гравия производились в соответствии с требованиями ГОСТ 8268-62 "Гравий для строительных работ. Общие требования" по методу ГОСТ 8269-64 "Щебень из естественного камня, гравий и щебень из гравия для строительных работ". Методы испытаний дали следующие результаты: размеры отверстий (в мм): 70, 60, 50, 40, 35, 30, 25, 20, 15, 10, 7, 5. Полные остатки на ситах (в %): 0,00; 3,21; 5,13; 8,76; 5,86; 7,52; 10,68; 11,18; 13,16; 15,11; 11,85; 7,53; Частные остатки на ситах (в %): 0,00; 3,21; 8,34; 17,0; 22,96; 30,48; 41,16; 52,34; 65,50; 80,61; 92,46; 100,00.

Объемный вес – 1536 кг/м³, пористость – 38,7%, объемный вес в плотном теле (в г/см³) – 2,52, содержание ила, глины и мелких пылевидных фракций – 0,01%, дробимость при сжатии: потеря в весе после испытания – 6,9%, марка гравия Др-8, истирание в полочном барабане: потеря в весе после испытания (в %) – 12,6, марка гравия И-20; сопротивление удару на копре "ПМ"; показатели сопротивления удару на копре "ПМ"-208, марка гравия 75. Исследуемый гравий удовлетворяет требованиям ГОСТ 8268-62 и по прочностным показателям относится к самым высоким маркам для применения в бетоне и дорожном строительстве.

Гравий, указанных выше марок, пригоден: а) по дробимости, согласно ГОСТ 10268-62 для бетона марки 300 и выше, б) по истираемости в полочном барабане для строительства автомобильных дорог и для дорожного бетона, согласно ГОСТ 8424-63 "Бетон дорож-

ный", включая верхний слой покрытия, в) по сопротивлению удару на копре "ПМ" удовлетворяет требованиям ГОСТ 7393-55 для баластного слоя железнодорожного пути.

ПОДЗЕМНЫЕ ВОДЫ

Главными факторами, определяющими режим подземных вод района, являются широко развитые здесь многолетняя мерзлота и горный рельеф местности. Многолетняя мерзлота имеет, по-видимому, талики, о чем свидетельствует теплолюбивая растительность в долинах рек (тополь, красная смородина, рябина и др.). Талики располагаются, вероятно, под руслами рек, под озерами, вдоль побережья моря.

Толща мерзлых пород делит подземные воды на надмерзлотные и подмерзлотные. Надмерзлотные воды приурочены к сезонно оттаивающему слою, его мощность непостоянна, зависит от геоморфологических особенностей, экспозиции склона и варьирует в пределах 0,5-1,5 м. Летом питание деятельного слоя осуществляется преимущественно за счет инфильтрации атмосферных осадков. В зимний период он полностью промерзает и обычно в первой половине зимы воды переходят в твердую фазу. Среди надмерзлотных вод выделяются воды, циркулирующие в скальных породах и воды рыхлых отложений, которые делятся на почвенные, болотные и грунтовые. Почвенные воды приурочены к элювиальным, делювиально-солифлюкционным и осыпным отложениям. В водораздельных зонах они формируются на крутых склонах, быстро стекая вниз, вследствие чего здесь существуют условия недостаточной увлажненности. Водоупорами служат воды, скованные многолетней мерзлотой и монолитные коренные породы. Разгрузка почвенных вод происходит в местах перегибов склонов, главным образом, в нижних придолинных частях, где они образуют небольшие источники.

В аллювиальных отложениях сосредоточены основные запасы подмерзлотных вод. Их формирование в террасовых отложениях происходит за счет инфильтрации поверхностных вод и атмосферных осадков. За счет поверхностных вод создаются также подрусловые потоки. К аллювиальным отложениям приурочено большинство нисходящих источников. Чаще всего они образуются в местах выхода на поверхность цоколей террас. Надмерзлотные воды в скальных породах развиты в тех местах, где происходит оттаивание трещиноватых горных пород. Среди них выделяются воды трещинного типа, приуроченные к полям развития вулканитов кислого состава (верхняя толща амкинской свиты) и воды пластово-трещинные в вулкани-

тах основного состава (средняя толща амкинской свиты и емандинская свита), вулканогенно-осадочных отложениях (амкинская и емандинская свиты). В вулканитах кислого состава верхней толщи амкинской свиты циркуляция воды осуществляется по различно ориентированным тонким трещинам, разгрузка происходит, главным образом, по разломам, вдоль которых на водоразделах отмечается заболоченность и более богатая растительность. Водоносность вулканитов основного состава емандинской свиты и средней подсвиты амкинской свиты определяется наличием чередующихся покровов и резко подчиненных прослоев туфогенно-осадочных пород. По многочисленным трещинам, рассекающим покровы вулканитов в различных направлениях, происходит циркуляция подземных вод, питающихся за счет инфильтрации атмосферных осадков и конденсации паров воздуха. Отдельные лавовые потоки с массивной текстурой могут служить водоупорными горизонтами и сопровождаться появлением источников. Поэтому воды вулканогенной толщи имеют пластово-трещинный характер. Обводненность лав емандинской свиты и средней подсвиты амкинской свиты обильная, разгрузка вод происходит по разломам и на контактах пластов и отдельных покровов. В местах разгрузки склоны и участки водоразделов заболочены; иногда отмечается очень небольшие водоемы. Значительная обводненность этих лав является одним из факторов, обусловившим развитие на них густых зарослей кедрового стланика. Интрузивные породы наиболее водобильны. Они разбиты сетью различно ориентированных трещин, по которым осуществляется свободная циркуляция воды. При дезинтеграции материала воды приобретают порово-трещинный характер. В местах разгрузки на пологих участках склонов и на водоразделах формируются моховые болота.

Всего в районе взято 17 проб из водных источников различного типа. Воды, взятые из различных комплексов пород, близки по своему составу. Характер источников вод близок между собой. Дебит их невелик; все воды имеют температуру от 4 до 10°C, ультрапресные, обычно с общей минерализацией 0,005-0,05%, pH колеблется от 5,2 до 7,2. Воды очень мягкие, гидрокарбонатно-натриевые, гидрокарбонатно-кальциевые. Из общего ряда по своему составу выпадают две пробы, одна из которых относится по своему составу к сульфатно-натриевым и отличается повышенной минерализацией (88,9 г/л), вторая обладает повышенной минерализацией (112,7 мг/л) и повышенной жесткостью (0,9 мг/л). Пробы эти взяты из порово-трещинных вод в зонах разломов (табл.9).

Таблица 9

Солевой состав водных проб

# пробы	Адреса проб	Характеристика мест взятия	Солевой состав воды (по формуле Курлова)
1	Водораздел р.Турка	Нисходящий источник в верховьях кирча	$\text{CO}_2 \cdot 8,3 \text{M}_0,0236 \text{Na}77,2 \text{Ca}11 \text{Mg}11,4$ $\text{HCO}_3 \cdot 68,2 \text{Cl}31,8$
2	Верховья правого притока р.Гыры	Нисходящий источник в подножье склона	$\text{CO}_2 \cdot 10,4 \text{M}_0,0318 \text{Na}46,9 \text{Mg}31,2 \text{Na}21,9$ $\text{HCO}_3 \cdot 78,1 \text{Cl}21,9$
3	Правый борт р.Гыры	Нисходящий источник в зоне разлома	$\text{CO}_2 \cdot 12,4 \text{M}_0,0181 \text{Na}55,9 \text{Ca}29,4 \text{Mg}14,7$ $\text{HCO}_3 \cdot 58,8 \text{Cl}141,2$
4	Побережье, между речь Тура и Мана	Нисходящий источник в основании склона	$\text{CO}_2 \cdot 20,7 \text{M}_0,0441 \text{Ca}68,3 \text{Cl}21,8$ $\text{HCO}_3 \cdot 68,3 \text{Cl}21,8$
5	Река Аткырда	Поверхность воды	$\text{CO}_2 \cdot 3,1 \text{M}_0,0331 \text{Na}74,4 \text{Ca}12,8 \text{Mg}12,8$ $\text{HCO}_3 \cdot 64,1 \text{Cl}31,8$
6	Руч.Бургали	Поверхность воды	$\text{CO}_2 \cdot 4,4 \text{M}_0,0205 \text{Na}48,7 \text{Ca}38,5 \text{Mg}12,8$ $\text{HCO}_3 \cdot 76,9 \text{Cl}23,1$
7	Левый берег р.Улья	Нисходящий источник в верховьях кирча	$\text{CO}_2 \cdot 11 \text{M}_0,041 \text{Ca}73,3 \text{Mg}18,3 \text{Na}8,4$ $\text{HCO}_3 \cdot 85,5 \text{Cl}14,5$
8	Река Улья	Поверхность воды	$\text{CO}_2 \cdot 11,2 \text{M}_0,0889 \text{Na}53,3 \text{Ca}40 \text{Mg}6,7$ $\text{HCO}_3 \cdot 77,9 \text{SO}_4 \cdot 22,1$
9	Река Улья	Наледь	$\text{CO}_2 \cdot 6,7 \text{M}_0,0466 \text{Na}80,2 \text{Cl}19,8$ $\text{SO}_4 \cdot 100$

Сведения о подмерзлотных водах в районе исследований крайне ограничены. Эти воды формируются, главным образом, за счет надмерзлотных и поверхностных вод, проникающих вглубь по сквозным таликам и системам трещин. Разгрузка подмерзлотных вод осуществляется преимущественно через зоны разломов в виде восходящих источников и реже через сквозные талики. Восходящие источники подмерзлотных вод трещинного типа наблюдаются, главным образом, в речных долинах. С выходами подмерзлотных вод связано образование наледей; питание их имеет смешанный характер с преобладанием подмерзлотных вод. Наледи распространены в долинах рек района. Наиболее крупные из них заполняют долины рек Унчэ, Итыма, Наундакан, Кекра. Ширина наледей соответствует ширине днища, длина их достигает нескольких километров; площадь наиболее крупных наледей равна: р.Унчэ - 16 km^2 , р.Итыма - 8 km^2 , р.Наундакан - 5 km^2 , р.Кекра - 3 km^2 и т.д. Применяя формулу О.Н.Толстыхина (1967) для ориентировочной оценки ресурсов подземных вод, суммарный дебит их в бассейне р.Унчэ составит $93 \cdot 10^{-9} \times 16^7 \text{ m}^3 = 1,5 \text{ л/с.}$

Оценивая воды района с точки зрения хозяйственного водоснабжения, следует сказать следующее: бытовые нужды в летнее время могут быть полностью обеспечены обильными поверхностными водами. Зимой из-за промерзания большинства водотоков, могут использоваться только подмерзлотные воды. Их перспективность, дебит и глубина залегания могут быть установлены только специальными гидро-геологическими исследованиями.

ОЦЕНКА ПЕРСПЕКТИВ РАЙОНА

Перспективность района для поисков полезных ископаемых, прежде всего золота, обусловлена контрастностью вулканизма, широким развитием субвулканических и гипабиссальных интрузий кислого состава, наличием гидротермально-измененных пород, зон региональных разломов и поперечных им разрывных нарушений (рис.4).

Наиболее перспективны для поисков коренного золота две линейные зоны повышенной магматической проницаемости. Одна из них, расположенная на северо-западе, находится между Лево-Ульинским и Право-Ульинским разломами, другая - между берегом моря и Прибрежным разломом. Эти зоны характеризуются наиболее полно выраженной контрастностью вулканизма, наибольшей насыщенностью субвулканическими и гипабиссальными интрузиями. В их пределах рас-

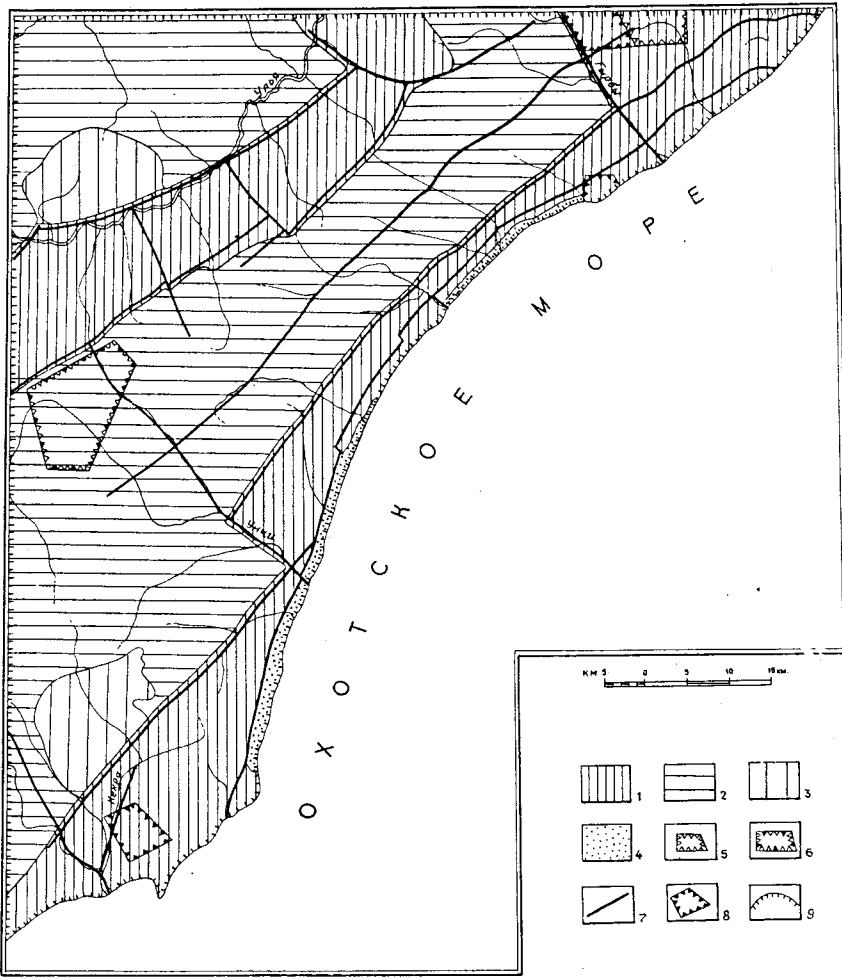


Рис.4 Схема прогнозов

1-3 - площади, перспективные для поисков коренного золота:
 1 - наиболее перспективные, насыщенные субвуликаническими и гипабиссальными интрузиями, кварцевыми жилами, содержащие рудопроявления и шлиховые ореолы золота, 2 - перспективные, в пределах которых встречаются единичные субвуликанические, гипабиссальные интрузии и кварцевые жилы, знаки золота в аллювии водотоков, 3 - наименее перспективные из-за значительной мощности и однообразия эфузивов и отсутствия гидротермальных изменений в них, 4 - площади, перспективные для поисков россыпного золота, охватывают области аккумуляции на морском берегу, характеризуются значительным протяжением и мощностью отложений, 5 - площадь, перспективная для поисковвольфрама, включающая шлиховой ореол шеелита, 6 - площадь, перспективная для поисков свинца, включающая шлиховой ореол минералов свинца, 7 - разрывные нарушения значительной протяженности. Площади, рекомендемые для различных видов исследований: 5-6 - детальные поиски: 5 - вольфрамового, 6 - полиметаллического оруденения, 8 - поисково-оценочные работы на золото, 9 - поисково-съемочные работы масштаба 1:50 000

полагается значительная часть вторичных кварцитов и кварцевых жил, все рудопроявления, большинство шлиховых ореолов. Так, на севере зоны, ограниченной Прибрежным разломом, располагается золоторудное проявление Гырыбы, в ее средней части - рудопроявление золота Турка, на юге - рудопроявление Кекра. Перечисленные золоторудные проявления имеют промышленные содержания золота, значительные параметры кварцевых жил, перспективны для поисков коренного золота. В их пределах целесообразна постановка поисково-оценочных работ для выявления тел с высокими концентрациями металла. Перспективной для поисков коренного золота является практически вся остальная площадь, за исключением двух участков, которые будут рассмотрены ниже. В ее пределах субвуликанические и гипабиссальные интрузии, гидротермально-измененные породы встречаются реже, выявлены единичные кварцевые жилы, знаки золота в аллювии водотоков.

Наименее перспективными для поисков коренного золота являются, по-видимому, центральные части структур, образованные игнimbритами (Ульинский экструзивный купол) и андезитами (Кекринское сводовое поднятие). Они сложены монолитными труднопроницаемыми для рудных растворов мощными толщами пород, практически не подвергшимися гидротермальной переработке. В их пределах проявления полезных ископаемых развиты весьма незначительно.

Для поисков россыпного золота перспективной является зона шельфа. Здесь, в области аккумуляции на морском берегу, выявлены морские террасы, характеризующиеся значительной протяженностью и мощностью отложений. В них работами геологов ДВГГУ выявлены шлиховые потоки и единичные знаки золота. Судя по данным морской лотии, рельеф морского дна пологий. Дно сложено галькой, песками, глинами. Таким образом, зона шельфа благоприятна для накопления аллювия и полезных ископаемых, рекомендуется для постановки поисковых работ с целью выявления прибрежно-морских россыпей золота.

Площадь, перспективная для поисков свинцово-цинкового оруденения, ограничивается территорией, охватывающей шлиховой ореол минералов свинца в верховьях р.Ныколмы. Здесь могут быть выявлены кварц-сульфидные жилы, а также зоны хлорит-эпидотовых метасоматитов. В последних, на участке Гырыбы, выявлены значительные содержания свинца и цинка. В связи с этим на площади шлихового ореола рекомендуется постановка детальных поисковых работ для выявления коренных источников минералов свинца и, в первую очередь, зон хлорит-эпидотовых метасоматитов.

Для поисков вольфрамового оруденения перспективной является только площадь шлихового ореола шеелита, охватывающего контактные части интрузии гранитоидов. Здесь возможны находки кварц-турмалиновых жил с шеелитом, которые впервые были выявлены на территории листа 0-54-ХХ на площади с весьма сходной геологической обстановкой. Поэтому площадь ореола представляет интерес для поисков коренных проявлений вольфрама и рекомендуется для постановки детальных поисковых работ.

Таким образом, учитывая благоприятное для поисков золота геологическое строение района, перспективность выявленныхрудопроявлений и тот факт, что структуры, перспективные для поисков, охватывают практически всю изученную территорию, мы рекомендуем постановку поисково-съемочных работ масштаба I:50 000 в пределах всего района для выявления и оценки прежде всего проявлений золота, на отдельных участках - вольфрама и полиметаллов.

ЛИТЕРАТУРА Опубликованная

1. Бахарев А.Г. Стратиграфия и особенности вулканогенных образований Ульинской наложенной впадины. "Вулканические и интрузивные формации Приохотья". - Наука СО АН СССР. Новосибирск, 1976.

2. Белый В.Ф. Гельман М.Л. Об отрицательных вулкано-структурных Охотско-Чукотского вулканического пояса. - В кн.: Ассоциации вулканогенных пород и вулканические структуры. Наука СО АН СССР, Новосибирск, 1974.

3. Каминский Ф.В., Шлосберг М.А. Поздне-юрский-меловой магматизм юго-западной части Охотско-Чукотского вулканического пояса. Изв. АН СССР. Серия геологическая, № 2, 1972.

4. Константиновский А.А., Громов В.В. Геологическая карта СССР масштаба I:200 000, лист 0-54-XIII. Объяснительная записка. - Недра, 1969.

5. Коптев-Дворников В.С. и др. Вулканические породы и методы их изучения. - Недра, 1967.

6. Устинев Е.К. Охотский тектоно-магматический пояс и некоторые связанные с ним проблемы. - Советская геология, № 3, 1959.

7. Чертовских Г.Н. Государственная геологическая карта СССР масштаба I:1 000 000, лист 0-54 (Охотск). Госгеолтехиздат, 1962.

8. Яковлев Г.Ф., Яковлева Е.Б. Флюидпорфировые комплексы юго-западного Алтая. Вестник МГУ, серия геологическая, № 2, 1973.

Зондовая

9. Вронко Т.П. Отчет Лево-Ульинской геолого-поисковой партии о геологических исследованиях на левобережье среднего течения р. Ульи. Масштаб I:500 000, 1945 г. Фонды СВГУ, № 6979.

10. Головнина Р.П., Болдовский В.Н., Гурович В.И., Тухас О.И. Отчет о поисковых работах на золотоносных участках Кулокли, Турка, Тукчи и Нальба в Охотском и Аяно-Майском районах Хабаровского края в 1976-1978 гг., 1978 г. Фонды СВГУ, № 18421.

11. Громов В.В., Громова Л.И., Гробель Е.И. Отчет по геологической съемке масштаба I:200 000, лист 0-54-Ш, М., 1976 г. Фонды экспедиции № 2 объединения Аэрогеология, № 8II.

12. Громов В.В. и др. Отчет по групповой геологической съемке масштаба I:50 000 (листы 0-54-3-Б, в, г; 0-54-3-В, Г; 0-54-15-А, Б, В, Г; 0-54-16-А, Б, В, Г; 0-54-17-А, Б, В, Г). М., 1979 г. Фонды экспедиции № 2 объединения Аэрогеология, № 1004.

13. Денисов С.В., Гусев Д.И., Шабельников Н.Я. Отчет о составлении сводных геолого-геоморфологических карт северо-западного Приохотья с целью выявления прибрежно-морских россыпей и поисковых работах на рудное и россыпное золото в 1974-1978 гг. (тема 192 и Береговой отряд), 1978 г. Фонды ДВГПУ № 18437.

14. Егоров И.Н., Каминский Ф.В. и др. Окончательный отчет по геолого-съемочным и поисковым работам масштаба I:200 000. Листы 0-54-ХХ, 0-54-ХХVI, М., 1970 г. Фонды экспедиции № 2 объединения Аэрогеология, № 592.

15. Зобин К.Т. Отчет Нижне-Ульинской партии. Масштаб I:500 000. 1944 г. Фонды СВГУ, № 6485.

16. Илев А.Н. и др. Отчет по геологической съемке масштаба I:200 000, лист 0-54-УШ. М., 1977 г. Фонды экспедиции № 2 объединения Аэрогеология, № 9I9.

17. Карпичев В.Ф. Отчет о геологической съемке листа 0-54-Х. 1964 г. Союзгеофонд, № 271821.

18. Кузакин В.А. Отчет о геологических исследованиях Верхне-Ульинской геолого-рекогносцировочной партии. Масштаб I:500 000, 1945 г. Фонды СВГУ, № 6257.

19. Лебедев Е.Л. Палеоботаническое обоснование стратиграфии меловых вулканогенных образований Ульинского прогиба. М., 1977 г. Фонды экспедиции № 2 объединения Аэрогеологии. № 921.

20. Рузер А.А. и др. Отчет о геологической съемке масштаба 1:200 000, листы 0-54-XV, XVI, XXI. 1978 г. Фонды экспедиции № 2 объединения Аэрогеологии. № 923.

21. Умитбаев Р.Б. Отчет о работе Амкинской геологической съемочной партии, лист 0-54-IX за 1965-1966 гг. 1967 г., ВГФ, № 283681.

22. Фердман И.М. и др. Отчет по групповой геологической съемке масштаба 1:50 000 на площади листов 0-54-5I-A,B,C, Г; 0-54-63-A,B,C,G; 0-54-75-A,B (части листов), В,Г за 1973-1977 гг. М., 1977 г. Фонды экспедиции № 2 объединения Аэрогеологии. Книга I, № 958, книга II № 959.

23. Фролов В.Н. и др. Отчет по проведению поисковых работ на золото в Ульинском прогибе Охотско-Чукотского вулканогенного пояса (лист 0-54-A) за 1974-1977 гг., 1977 г. Фонды экспедиции № 2 объединения Аэрогеологии. № 918.

24. Хрущимова Е.Г. Отчет по аэромагнитным работам Алданской экспедиции в районе побережья Охотского моря 1959 г. ВГФ, № 213664.

25. Шапочка И.И. и др. Отчет о результатах гравиметрической съемки масштаба 1:1 000 000, проведенной Аянской партией на площади трапеций 0-54, P-54 в 1973-1976 гг., Союзгеолфонд, № 356579, 1976 г.

26. Шпак Н.С. и др. Отчет по геологической съемке масштаба 1:200 000, лист 0-54-XIV 1974 г. Фонды экспедиции № 2 объединения Аэрогеологии. № 755.

27. Юнов А.Ю. и др. Составление сводных геологического-геофизических карт по акваториям Охотского и Берингова морей, 1970 г. Союзгеолфонд, № 308909.

Приложение I

СПИСОК ПРОМЫШЛЕННЫХ МЕСТОРОЖДЕНИЙ ПОЛЕЗНЫХ ИСКОПАЕМЫХ, ПОКАЗАННЫХ НА ЛИСТАХ 0-54-XV, 0-54-XVI, 0-54-XXI КАРТЫ ПОЛЕЗНЫХ ИСКОПАЕМЫХ МАСШТАБА 1:200 000

Индекс клетки на карте	№ на карте	Вид полезного ископаемого и наименование месторождения	Ссылка на литературу (номер по списку)
У-3	I	Галечник и гравий, берег Охотского моря от мыса Ханнингда до устья р. Урекан	20

Приложение 2

СПИСОК ПРОЯВЛЕНИЙ ПОЛЕЗНЫХ ИСКОПАЕМЫХ, ПОКАЗАННЫХ НА ЛИСТАХ
0-54-XУ, 0-54-XVI, 0-54-XXI КАРТЫ ПОЛЕЗНЫХ ИСКОПАЕМЫХ
МАСШТАБА 1:200 000

Индекс клетки на карте	# на карте	Вид полезного ископаемого и наименование месторождения	Ссылка на литературу (номер по списку)	Примечание
МЕТАЛЛИЧЕСКИЕ ИСКОПАЕМЫЕ				
Ц в е т н ы е м е т а л л ы				
Свинец				
I-5	3	Верховье р.Гыры	20,23	Шлиховой ореол
I-5	I	р.Гыры	20,23	В коренном за- легании
III-1	I	Верховье рек Ныколмы и Унчэ	20	Шлиховой ореол
IV-2	I	Среднее течение р.Итыма	20	То же В брошюре пронумеровано 97 стр.
Р е д к ы е м е т а л л ы				
Вольфрам				
I-6	I	Верховье р.Отында	20	Шлиховой ореол
Б л а г о р о д н ы е м е т а л л ы				
Золото				
I-5	2	Гыры	20,23	В коренном за- легании
II-2	I	Кулюкли	10	To же
II-5	I	Турка	20	"
IV-3	I	Приусьевая часть р.Унчэ	20	Шлиховой ореол
VI-1	I	Левые притоки р.Кекра	20	To же
VI-1	2	Кекра	20	В коренном за- легании

Редактор Р.Н.Ларченко
Технический редактор С.К.Леонсва
Корректор Л.П.Трензелева

Сдано в печать 14.12.82. Подписано к печати 12.06.86.
Тираж 148 экз. Формат 60x90/16 Печ.л.6,25 Заказ 247с

Центральное специализированное
производственное хорасчетное предприятие
объединения "СоюзгеоЛФонд"